

О-40-У1
МИНИСТЕРСТВО ГЕОЛОГИИ СССР
ПРОИЗВОДСТВЕННОЕ ОБЪЕДИНЕНИЕ „УРАЛГЕОЛОГИЯ“

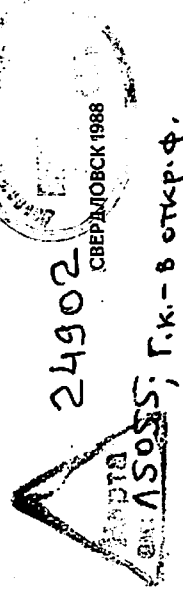
ГОСУДАРСТВЕННАЯ
ГЕОЛОГИЧЕСКАЯ КАРТА СССР
МАСШТАБА 1:200 000

Серия Среднеуральская
Лист О-40-VI

ОБЪЯСНИТЕЛЬНАЯ ЗАПИСКА

Составили: Л.П. Ефимова, С.А. Зворская,
Н.А. Шахова
Редактор: В.В. Шалагинов

Утверждена Научно-Редакционным советом Министерства геологии СССР
при ВСЕГЕИ 12 декабря 1985 года протокол №41



В В Е Д Е Н И Е

Описываемая территория находится в южной части Северного Урала, административно расположаясь в Карлинском и Ново-Лильинском районах Свердловской области.

Западная часть ее гористая; на северо-западе располагается субширотный хребет Сеных Гор, к югу от него изолированные вершины Ольвинский Камень и Бурты и горный кряж Кытымского и Павлинского массивов, занимающий несколько десятков км². Восточная половина территории покрытая с небольшими (до 500 м над уровнем моря) вершинами, на севере крупными озерами (Мал.Княгининское, Бол.Княгининское, Антипинское и др.) и широким развитием заболоченных участков, фактически занимавших половину площади. Самой высокой точкой района – 1569 м над уровнем моря является вершина Конаковского Камни, венчающая Кытымский массив; здесь же находится вершины: Тылайский Камень – 1520 м, Серебрянский Камень – 1305 м, в юго-восточнее – Сухогорский Камень – 1201 м. Изолированно расположенный севернее Ольвинский Камень имеет высоту 1041 м. Наименьшая отметка 167 м находится в юго-западной части района у упавшего р.Мал.Тылай в р.Лобву.

Главный Уральский водораздел проходит через вершины Ольвинского, Конаковского и Косьвинского Камней. Речная сеть к западу от этой условной линии относится к бассейну р.Вишеры, восточнее – к бассейну р.Оби. Реки западного склона Пожва, Тылая, Косьва представлена лишь верхним течением своих из великих истоков; ширма их достигает 1-2 м, глубина не более 1 м. Они многоводны в период снеготаяния и дождливых сезонов, но для съезда в этой части не пригодны. Реки восточного склона Тура, Каква и Лобва с многочисленными правыми и левыми

ми притоками берут начало в западной части территории и текут на юго-восток. Их истоки и притоки в горной части на отдельных участках прямолинейны, поромисты с крутым падением русла. За пределами гор в восточной половине листа течение рек становиться спокойным, гуси извилисти с пологим падением, деревья часто заболочены.

Реки всех рек находится в зависимости от обилия осадков в горной части. Ширина их в летний период в низовьях достигает 10-25 м, глубина 5-10 м, скорость течения 1,5-0,5 м/с. В нижней части реки могут быть использованы при лесосплаве, но не судоходны.

Вся плоскость, за исключением гребней и привершинных склонов гор, расположенных выше границы леса, и участков, занятых болотами, покрыта лесом. Обычно это густая лихтова-ёловая тайга - чернолесье с лиственницей и кедром. Старые вырубленные участки тайги заняты смешанным, преимущественно березовым лесом с полувинными хвойными видами и кустарниками (ольха, кипресть).

Граница леса располагается на высоте 800-900 м над уровнем моря; примерно с 600-700 м деревья становятся ниже и тоньше, в гипсометрически выше постоянно сменяются кустарниками, редкими карликовыми лиственными и хвойными видами. Еще выше наблюдаются элементы солификционных образований - каменные колыча, полигонельные грунты, пятнистые тундры и т.п.

Климат района резко континентальный с коротким летом и продолжительной зимой. Среднегодовая температура $-0,2^{\circ}\text{C}$, среднемесячная температура января $-14,7^{\circ}\text{C}$, июля $(+17,7^{\circ}\text{C})$ (данные метеостанции в пос. Всеволодо-Благодатском). Максимальная температура $+35^{\circ}\text{C}$, минимальная (-45°C) . Длительность морозов температура может доходить до -25°C , в течение 7 месяцев поднимается выше $+10^{\circ}\text{C}$. Годовое количество осадков составляет 560 мм, из них 55% выпадает в течение четырех летних месяцев - мая, июня, июля и августа.

Первый снег появляется в начале сентября, в горных районах - в конце августа; сплошной снежный покров устанавливается в октябре. Сходит снег в середине мая, в горах лишь в конце июня - начале июля. В мае иногда наблюдаются сильные снегопады, лед том бывает низкая облачность, неделями закрывающая горы. Продолжительность времен года: зима -176 , весна -70 , ле-

то -50 , осень -70 дней. В горных районах лето короче, зимний сезон длиннее.

Район общий неравномерно; наиболее промышленная часть его приурочена к г. Карлинску, расположенному на р. Турае близ восточной границы площади. Второй крупный населенный пункт - пос. Киттым - находится в юго-западной части листа. Он расположен в верховых р. Добы и окружён кольцом высоких гор Киттынского массива. На берегах рек в восточной части района расположено несколько небольших поселков: Башневка, Галка, Чурый Яр, Старый Переезд, Веселовка. Город Карлинск связан железной дорогой со Свердловском на ще и Свердловском и Ильменем на севере. Поселок Киттым связан с г. Карлинском улучшенной грунтовой дорогой-трактом, доступной для автотранспорта круглый год. Параллельно тракту проложена линия высоковольтной электропередачи, соединяющая энергетические системы западного и восточного склонов Урала. Все другие поселки связаны грунтовыми дорогами менее высокого класса. Кроме того, в северной части листа существует две субширотные направления дороги целиового назначения - лесовоезные; они соединяют лесопарк-заводское предприятие в г. Карлинске с лесоразработками в верховых рр. Пожен и Тюляя. Практически они эксплуатируются круглогод.

Лесозаготовительные работы, начатые в 70-х годах в небольших масштабах в пределах описываемой площади проводятся и в настоящее время. Лес в качестве строительного материала и топлива используется на территории района и вывозится в другие районы страны по железной дороге Ильмень-Свеидловск. В прошлом пос. Киттым был одним из центров разработок платиновых россыпей Урала. Эксплуатировались платиновые россыпи по рр. Добе и Косьве, источником образования которых были дупы Косьвинского Камня. В настоящее время драгами перемещаются стены отвалы. В восточной части района в прошлом эксплуатировались буруугольные месторождения в районе г. Карлинска. Осажденность района неравномерная: хорошо обнажены гребни и вершины гор, склоны которых часто скрыты под каменистыми осьми. Кроме того, в восточной части района имеются прорывы - тые разрезы по долинам крупных рек и их притоков. На осталой площади обнаженность довольно слабая.

ГЕОЛОГИЧЕСКАЯ ИЗУЧЕННОСТЬ

Первые сведения о геологической строении района появились 150 лет тому назад в работе бергшвейера Кардинского 2-го, составившего первую "геогностическую" карту большей части оли - сиевомой территории [34]. Систематическое изучение района началось с середины XIX века в связи с необходимостью создания на Северном Урале железо-мединорудной базы.

Начиная с 1867 г., публикуются статьи Хр. Гали, в которых описываются медные и железныерудники Китымского массива и выставляется мысль о целесообразности их промышленной разработки [64, 65, 66, 72]. В 1875 г. по р.Вольхуш, в 10 км восточ - нее Сухогорского Камня, был построен Сухогорский железодел - тельный завод, на котором шлифовались руды Спасского, Коркови - щенского и других рудников.

В 1887 г. южную, горячую часть района посетил А.М. Зандер, проводивший маршрутные исследования по получению Геологического комитета [24]. Первая стратиграфическая схема района и первая геологическая карта в масштабе 1:84 000 были составле - ни Е.С. Федоровым и В.В. Никитиним в 1894-1899 гг. [69].

Особый интерес к району появился в связи с открытием для - тины по рр.Косьве и Лобзе. Детальное изучение территории с точки зрения ее платиноносности было проведено в период с 1901 по 1914 г. профессором Женевского университета Луи Дю - парром и его сотрудниками: Ф.Ширсом, А.Гроссэ, М.Тиханович. Этой группой геологов была составлена геологическая карта быв - шей Николаев-Лавдинской дачи в масштабе 1:50 000, которая включала большую часть Китымского массива (до р.Июва на севере). Работы проводились на деньги платинорудных компаний. Поэтому много внимания уделялось перспективам платиноносности и месторождениям платин, расположенным в юго-западной части площади. Однако исследования Л.Дюпарра не ограничивались ре - шением этих вопросов: в печати появилась серия статей и мон - гографий, посвященных вопросам геологии и петрографии Китымско - го массива [15, 75, 76, 77, 78]. Л.Дюпарк связывал образование всех горных пород массивов Платининоносного пояса с лиффеиен - циацией первоначально однородной габбровой матки и считал, что консолидация массивов на чиналась с периферии; последними зат - верялись дуниты.

Новый этап в изучении района начался после Октябрьской ре - волюции; он был предопределен нуждами молодого государства, промышленности которой были необходимы новые источники мине - рального сырья. С 1933 г. предпринимается попытка оценки ко - ренных месторождений платин на Косьвинском Преч. Иловском ду - нитовом челе и Сосновском Увале [27]. В 1931 г. титаномагне - титовые месторождения восточной части Китымского массива бы - ли обследованы под руководством П.Г.Пантелеева [45, 46].

В 1933 г. начинаются плановые геологические исследования восточной части листа, связанные с открытием Н.А.Каржавиным бокситов Красной Шапочки на сопредельном с севера листе [70, 83, 85, 96]. Одновременно проводится исследование на западном склоне, имеющие целью стратиграфическое расчленение немых толщ палеозоя [110], оценку территории на алмазы [84]. Прово - дятся также исследования тематического плана; так, Н.М.Успен - ский, посетивший в 1951 г. западную часть Китымского массива - ва, опубликовал статью о метасоматическом происхождении габ - броидов и гипербазитов, которая вызвала оживленную дискуссию, не прекратившуюся по сей день [68].

С 1952 г. в пределах листа проводится планомерное геологи - ческое карттирование в масштабе 1:50 000, реке 1:100 000, кол - лективами геологов Уральского геологического управления под руководством А.А.Ефимова [98, 99, 100, 101, 102], Д.С.Каретина [113, 115, 116, 117], Р.А.Сагитовой [154], М.Е.Ненахова [133], А.Д.Старцевской [152], Ю.Г.Красавских [127] и Б.К.Ушкова [161]. За двадцатилетний период практически вся территория листа бы - ла покрыта крупномасштабными картами, которые легли в основу настоящей Государственной геологической карты масштаба 1:200 000.

Результаты съемочных работ в пределах Китымского массива были обобщены в монографии [18]: многие особенности взаимоот - ношений пород массива нашли отражение в ряде статей [16, 17]. В 60-х годах вообще особое внимание уделяется проблемам фор - мирования массивов Платиноносного пояса, в том числе и Кит - яльского [4, 5, 60]. Обобщенные работы на базе региональных ис - следований были проведены в пределах зеленокаменной полосы [116, 117]; закономерности строения этой части нашли отражение в различных публикациях [28, 29, 30, 31, 32, 33].

В 1966 г. под редакцией И.Д.Содолова была составлена гео -

логическая карта Урала в масштабе 1:200 000 [148]; к этому времени лист 0-40-У1 еще не был полностью охвачен съемочными работами масштаба 1:50 000, поэтому многие элементы геологии, особенно в восточной зоне, на представляемом листе Государственной геологической карты более обоснованы.

В 60-70-х годах в пределах листа проводятся поисковые работы на железо и медь [87, 103, 142, 163]. Оценочные и поисковые работы на дуниты [105], аноортозиты [104, 106], мезозойские бокситы [126]. В 70-х годах на базе всех имеющихся геологических данных в пределах больших территорий Урала проводятся обобщающие прогнозные работы на медь и железо [122, 123, 141], наиболее интересные результаты опубликованы [37, 38, 50]. Составляется под редакцией В.А.Лидера карта четвертичных отложений Урала в масштабе 1:500 000 [130], а также издается монография [42]; в этом же масштабе И.Д.Соболевым составляется тектоническая карта Урала [149], обобщается К.К.Золотовым сведения по асбесту [26]. Палеонтологами УГС были проведены работы по расчленению на основании сборов фауны отложений силура и девона [93, 172].

С 1948 г. на восточной половине площади начались планомерные магнитные съемки, сопровождаемые детальными электроразведочными работами с целью обнаружения крупных железорудных и медноколчеданных месторождений. В 1962 г. Н.Ю.Имброс [112] объединяет разрозненные съемки в единую сводную магнитную карту масштаба 1:200 000. В 1963 г. при оценке прогнозов по Покровской железорудной зоне были составлены сводные магнитные карты масштаба 1:50 000, действующие до сих пор [79]. В 1983 г. большая часть восточной половины листа покрывается высокоточной повышенной аэромагнитной съемкой масштаба 1:10 000 с целью выделения аномалий от глубокозалегающих магнетитовых руд [165].

В 1962 г. С.А.Тарановым проведена гравиметровая съемка масштаба 1:20 000 [155]. С этого времени гравиразведка становится доминирующей в комплексе геофизических методов при изучении геологического строения восточной половины платформы. Сейсморазведочные работы в комплексе с профильной гравиразведкой и магниторазведкой проводены на двух широтных профилях через всю площадь листа (Тотинский и Вольчанский), в результате

те чего построены разрезы до глубин 9-10 км [120, 121].

Из тематических и обобщенных исследований следует назвать ряд работ под руководством Аниньевой Е.М., решавших вопросы структурно-формационного, структурно-тектонического и металлогенического плана [80, 81, 82].

При подготовке к изданию настоящего листа были использованы карты магнитного и гравигеодинамического полей масштаба 1:200 000 и, в необязательных случаях, 1:50 000, включавшие в себя все съемки последних лет. Геохимические работы проводились вновь - ротно на отрывиченных территориях, главным образом, в восточной части листа [126, 128, 129]. Кроме того, часть их сосутствовала крупномасштабным съемкам [89, 114]. Гидрогеологические поисково-оценочные работы проводились Уралгидроэкспедицией с 1978 года на площади в радиусе 30-50 км от г.Карпинска с целью конкретизации перспективных водозаборных участков. В результате работ дана огратительная оценка перспектив выявления новых крупных месторождений подземных вод непосредственно вблизи водопотребителя [109].

Работы по составлению Государственной геологической карты и карты подземных ископаемых листа 0-40-У1 были начаты в апреле 1979 г., но в связи с отсутствием исполнителя в течение двух лет (с апреля 1980 по апрель 1982 г.) были законсервированы и затем были проведены в срок с апреля 1982 по апрель 1985 г.

При составлении были использованы геоиндикационная карта масштаба 1:200 000, составленная под руководством А.Г.Кученко [108] и аэрофотоснимки масштаба 1:25 000. Степень лемпиринга -ности последних неоднинакова; хорошо лемпиринга масивы Платиноносного доля, фрагменты строения колычевых структур вулканогенных образований Тагильского мегасинклиниория.

Летом 1983 г. в пределах зоны рефлексов отложений, метаморфизованных пород польинской свиты и вулканогенных образований силура в северо-западной части территории Л.П.Байдовой и Н.А.

Шаховой были выполнены редакционно-указочные маршруты в объеме 50 пог.км и проведено изучение детальных разрезов по наимболее обнаженной части лесовых дорог и долинам рек.

Геофизические данные, приведенные во всех главах объясняются тем, что восточная зона, приведенные в тектоническом плане, подобраны и интерпретированы С.А.Зворской.

С Т Р А Т И Г - Р А Ф И Й

В геологическом строении района принимают участие осадочные, вулканогенные и метаморфические породы в широком возрастном диапазоне – от верхнего протерозоя (верхнего рифей) до верхнего триаса и кайнозоя.

Район з верхнего протерозоя представлен кварцитопесчаниками (ицеримская свита) и сланцами (вельсовская свита), слагающими восточное крыло Ялпинско-Кутумского мегантискинонария в краине северо-западной части листа.

Отложения ордовика, залегающие на северо-западе территории – генными образованиями в нижней части разреза (саранханская, тельпосская, хомасьинская свиты), сланцами и метаморфическими образованиями породами (польинская и вильская свиты) – в верхней. Они слагают западное крыло Тагильского метасикилинонария, центральная часть которого выполнена вулканогенным образованиями силура и преимущественно карбонатными осадками лавона; эти отложения в виде субмеридиональных зон вы – полняют центральную и восточную части листа, включая на севере мелкие тела гипербазитов Салатинского пояса, в центральной части – массивы Цветиновского пояса (Княгининский, Кытлинский и Цвединский) и на востоке – гранитоидные массивы (Зареченский и Ештексевско-Маяковский).

В пределах листа выделяются две зоны регионального метаморфизма: на территории распространения отложений протерозоя, нижнего и среднего ордовика – фации зеленных сланцев, среднего и верхнего ордовика (польинская и вильская свиты) – эпилот-амфиболитовой фации.

Породы верхнего протерозоя и палеозоя перекрываются избирательно в пределах, главным образом, Богословско-Веселовской депрессии – триасовыми осадочными угленосными отложениями и по всей площади – малоотличным (0,5–10,0 м) чехлом рыхлых четвертичных континентальных образований различных генетических типов.

ВЕРХНИЙ ПРОТЕРОЗОЙ ВЕРХНИЙ РИФЕЙ

Отложения верхнего рифея имеют крайне ограниченное развитие. Они представлены терригennими (ицеримская свита) и терригено-карбонатными (вельсовская свита) породами, слагающими небольшие горы в верховых р. Пожан в северо-западном углу листа.

Ицеримская свита ($R_3^1,5$) представлена кварцитолесчниками и кварцитами, слагающими ядро Ицеримско-Шульбинской мегантиклинали и обнажающимися на г. Сред. Сенной Камень. Хорошие разрезы отсутствуют. На соседней к северу площади в составе ицеримской свиты выделены две подсвиты: нижняя – сланцево-кварцитовая и верхняя – кварцитодесчаниковая. На описываемой территории установлена толщина, по литологии – чеким особенностям сопоставляемая с верхней подсвитой соседних районов. Она представлена массивными ясновзвиристыми, иногда сланцовыми, кварцито-лесчаниками и кварцитами белого, розового и желтоватого цветов с прослоями сернистого сидерита, растянутыми разностями. Главный породообразующий минерал, состоящий 95–98% объема породы, кварц в виде изометричных, иногда с зубчатыми очертаниями и волнистым утеснением зерен. Аксессорные минералы апатит, гематит, турмалин, радио-циркон. В рассланцованных кварцитопесчаниках, кроме серпита, присутствуют мусковит, хлорит и тонкораспыленное углистое вещество. В кварцевых зернах иногда наблюдается включение идолозек [98].

Полосе развития город ицеримской свиты отвечает спокойное магнитное поле интенсивностью 160–200 гамм и наименьшее на планете значение поля силы тяжести. Все породы свиты практически немагнитны. Средняя плотность кварцитопесчаников 2,62 г/см³ [155].

Нижняя граница ицеримской свиты в пределах листа не установлена. Жесткость отложений более 1000 м. Возраст свиты при –

нимается позднерифейским на основании положения в разрезе из-за отложений вельсовской свиты и в соответствии со стратиграфической схемой, утвержденной МСК [67] для данного района.

Велсовская свита ($R_3^1,5$) выделена в 1967 г. А.М.Курбаковым севернее данного листа в верхнем течении р. Велс.

К велсовской свиты он отнес карбонатно-песчано-сланцевую толщу пород, залегающую согласно на кварцитопесчаниках иллериевской свиты хр. Нартай. Литологическая склонами породами представлена велсовская свита и на описываемой территории, где в разрезе прослеживает различие филлитизированные сланцы, относенные на более ранних геологических картах к висимской свите [48].

Обнаженность довольно слабая. Породы велсовской свиты картируются по коренным выходам на вершинах небольших горок и в долинах ручьев в северо-западном углу листа. Они представлены сланцами углисто-глинистыми, углисто-хлорит-серитовыми, хлорит-серидит-хлоритовыми, иногда карбонатосодержащими, кварцитопесчаниками, алевтолактоновыми преимущественно эпидот-хлорит-альбитовыми сланцами. В нижней части разреза преобладают зеленые алевтолактоновые сланцы, основными породообразующими минералами которых являются кварц, альбит, хлорит, серпентин, эпидот, актинолит, а в верхней - углисто-глинистые и углисто-хлоритовые филлитизированные сланцы, часто с карбонатным материном. Один из наиболее полных фрагментов разреза вскрыт выемками вдоль широтного отрезка лесовоенной дороги северо-западнее горы Козмер. Здесь снизу вверх наблюдаются следующие пачки, м:

1. Сланцы сплошисто-хлоритовые и сплошисто-хвирько-хлоритовые серо-зеленого цвета, серебристые. Азимут падения 120°, угол падения .250
2. Сланцы альбит-хлоритовые зеленые груборас- .10
сланцованные
3. Сланцы сплошисто-хлоритовые, иногда перемянутые и супрессивные. Азимут падения сланцеватости 100°, угол падения 80°250
4. Сланцы сплошисто-хлоритовые тонкорасланцованные, отделенные от вышеупомянутой пачки дайкой300
5. Сланцы углисто-глинистые и углисто-хвирько-хлоритовые с примесью карбонатного материала и филлитизированные с линзами хвирько-хлоритовых, внизу переклаивающиеся с зелеными слюдисто-хлоритовыми сланцами. Азимут падения сплошистости и сланцеватости 90°, угол падения .150
65°
6. Сланцы сплошисто-хлоритовые с прослойками углисто-хвирько-хлоритовых сланцев40

Общая мощность сланцов в данном разрезе 1 000 м, а макси-

мальная мощность велсовской свиты в пределах листа достигает 3 000 м.

Гравимагнитные поля над породами велсовской свиты такие же, как и над породами шеримской свиты. Породы свиты немагнитны. Наименьшая плотность яйлытого карбонатосодержащие сланцы. Средняя плотность их 2,56 г/см³. Плотность углисто-сплюсти-хварько-хлоритовых сланцев возрастает до 2,72 г/см³ [48].

Нижняя граница велсовской свиты устанавливается по появлению среди кварцитолестников шеримской свиты первых прослоев углистых или зеленых сланцев. Непосредственный контакт между отложениями этих двух свит обично закрыт, но общий характер отложений, их однообразное северо-восточное простирание и падение под углом в 40-65° дают основание предполагать согласование залегания. Редкие маломощные выклинивания исключаются по простиранию, прослой мелкогранитных конгломератов позволяет допустить местные перерывы в осадконакоплении [58].

Позднерифейский возраст свиты признается на основании корреляции разрезов и прослеживания ее отложений к северу, где они охарактеризованы строматолитами и онколитами третьего и четвертого комплексов, позволяющими сопоставлять их с мильярской и уксской свитами Ільиного и кликтынского районов Среднего Урала [39, 48].

ОРОДОВИЙСКАЯ СИСТЕМА

Отложения ордовика имеют широкое развитие в западной части платформы, где они в виде полосы шириной около 20 км слагают Лозгинско-Ревдинскую моноклиналь Тагильского мегасинклиниория. Куганским платиноносным массивом эта полоса разделена на две части, характеризующиеся определенными особенностями строения. Севернее массива отложения имеют северо-восточное простирание и формально близки разрезам восточной половины Сакмаро-Лемгинской напряженной зоны. Здесь, так же как и в Сосульинско-Хулгинском районе [67], выделены саранхашнерокая (Q_1 вг), комольинская (Q_1 - 2 вг) и польская (Q_2 - 3 вг) свиты.

К югу от массива отложения имеют меридиональное простирание. Нижняя часть разреза фациально близка разрезам центральной половины, а верхняя - восточной половины Сакмаро-Лемгинской зоны.

однако, от северной долины отличаются меньшими мощностями, более ограниченным развитием черных сланцев и метаморфизованных эффективов. Поэтому здесь так же, как и на соседнем с ним листе, выделены тельпосстая (O_{1+1}) и вильская (O_{2-3} ч) свиты [40, 41, 47].

Н и з в и с о т п е л

С а р а н х а п и н е р с к а я с в и т а (О1_{ар}). Впервые свита была выделена в 1959 г. К.А.Льзовым на восточном склоне Пришкольного Урала. В пределах описанного листа представлена на, в основном, кварцитовыми пестчинками, кварцитами, кварц-серритовыми и кварц-серрит-хлоритовыми сланцами, гравелитами, континератами. Характерно закономерное уменьшение размёра обломочного материала снизу вверх [44]. Основенность довольно слабая. Наиболее полный разрез саранхинерской свиты наблюдается по выемкам вдоль лесовозной дороги от заладного подножия Г.Козмер до истоков р.Ольви, где снизу вверх просле-живается следующие пачки, м:

- | | | |
|------|--|-----|
| I. | Сланцы зеленовато-серые сланцисто-кварцит-хлоритовые с маломощными прослоями кварцитов и гравелитов. Азимут падения склонности 130°, угол падения 60° | 350 |
| II. | Кварциты мелкозернистые склонности от светло-лотемно-серых с прослоями мощностью до 5 м квартолитов-сернистиков средне- и грубозернистых (до гравелитов) | 300 |
| III. | Сланцы сернист-кварцевые белые или серые с зеленоватым оттенком с прослоями кварцитов и углисто-сернист-кварцевых сланцев серебристо-серого и темно-серого цвета | 500 |

Общая мощность саранчанской свиты в этом разрезе 1 150 м. К югу от г.Козьмер роль грубообломочных пород в основании разреза возрастает и иго-западнее г.Ольянинский Камень мощность гравелитов и конгломератов достигает 600 м. Более мощность грубообломочных пород вновь сокращается, уменьшается и размер обломочного материала, а в верхней части разреза кроме кварц-серитовых сланцев появляются прослои кварц-серрит-хлоритовых алевтоланогенных зеленых сланцев, содержащих эпилот, актинолит, стольномеллан, а также прослои метаморфизованных эф-фузузовых основного состава. Таким образом, здесь, как и в более поздних районах, в составе свиты можно выделить две толщи: нижнюю — терригенную мощностью от 300 до 600 м и верхнюю — сланцевую (алевтоланогенную) мощностью от 500 до 1 000 м. Пе-

реход между ними постепенный через переславление. Общая мощность здесь сарынханлерской свиты достигает 1 600 м. Несмотря на то, что контакт с нижележащими образованиями часто тектонический, амплитуда смещения обычно небольшая и на всех аэрофотоматериалах отчетливо фиксируется взимутальное несогласие отложений. Угловое на согласие установлено на смежных с севера и юга листах [10, 11].

卷之三

городам саранчане русской свиты отмечает своеобразное магнитное поле: на фоне спокойных понижений значений большое количества узкоголовых аномалий с амплитудой 500–1000 гамм и более. Размер аномалии 200–400×1 000–4 000 м, простирание северо-восточное, совпадающее с простиранием литологических разностей. Установлено обогащение пород магнетитом. Так кварциты и кварцито-песчаники с повышенным содержанием магнетита имеют магнитную восприимчивость $1000 \cdot 10^{-6}$ СГС и выше [68]. Граница между магнитными полями над породами велсовской и саранчанской свит определяется уверенно. В поле силы тяжести образования саранчане русской свиты лежат в пределах гравитационной ступени с градиентом 2,5 мгл./км. Направление изобипломов согласно

но с простираем свети (рис. I).
Нижнеорловикский возраст саранханской свиты принимается на основании литологической корреляции с более северными разрезами, где установлены остатки фауны нижнего ордовика [39], а также на основании утвержденной стратиграфической схемы

Одним из недавних коррелятивных признаков, позволяющих со-
поставлять отложения с саранчанской свитой северных райо-
нов, является характер физических полей [68]. Особняк и состав
терригенной почвы (наличие хорошо окатанных, удлиненных галек
ограниченного кварца, серых кварцитов, гематитизированных липаритов),
состав материнских горизонтов.

Тельпосская свита (O_{-1}) была выделена в 1949 г. К.А.Льзовым на западном склоне Приполярного Урала, где она представлена пестроцветными кварцитовидными песчаниками, гравелитами и конгломератами с прослоями фильтров и покровами эдкуэлов основного состава. Послеупомянутыми геологическими скважинами отложenia тельпосской свиты были прослежены на Северном Урале до юга от горы Белый Камень, однако, здесь в ее разрезе значительную большую роль приобретают вулканогенные образования —

На описанной площади отложения тельпосской свиты выделены к югу от Китлинского массива. Обнаженность довольно плохая, но у южной рамки листа разрез вскрыт щурфами [16], причем разрез неполный, отсутствует нижняя терригенная пачка, которая появляется только на снежных с запада и юга листах, где она залегает с угловым и азимутальным несогласием на породах докембрия. В физическая полян отложения тельпосской свиты практически не выделяются.

В пределах рассматриваемого листа разрез существенно вулканогенный. В строении его выделяются три части. Нижняя представлена метаморфизованными эффузивами основного состава, переслаивающимися с хлорит-кварцевыми сланцами, нередко гематитизированными. Мощность 250 м. Средняя часть сложена хлорит-кварцево-углистыми сланцами с прослоями метаморфизованных вулканогенных образований основного, реже кислого состава, слюдистых, пестранистых сланцев, пестраников и гравелитов и выклиниванившимися прослоями хромнисто-углистых сланцев и известняков. Мощность 300 м. Верхняя часть разреза состоит из метабазитов часто с сохранившимися подушечной и шаровой отдельностью. Мощность 170 м. Общая мощность отложений тельпосской свиты более 700 м; характер соотношений с подстилающими отложениями в пределах листа неизвестен.

На основании корреляции отложений с подобными образованиями в разрезе по р.Косьве Б.К.Ушков [16] относит нижнюю часть листа к верхнеколаковской подсвите нижнего ордовика, среднюю - к среднему и верхнему - к низам верхнего ордовика. Однако, отсутствие фауны, плохая обнаженность и удаленность от опорного разреза по р.Косьве не дают уверенности в правомомерности этого соописания. Авторы записки считают возможным использовать для этой части листа стратиграфическое расчленение и коррелиацию отложений, принятые для смежного с ним листа и относить их к тельпосской свите раннего ордовика [10].

Отложения нижней части тельпосской свиты наблюдается также в виде изолированных участков, главным образом, крупногалечного континентального рельефа в северо-западной части площади.

Гальки конгломератов представлены серыми, светло-серыми, полосатыми и шиневатыми кварцитами, серым, серовато-серым квар-

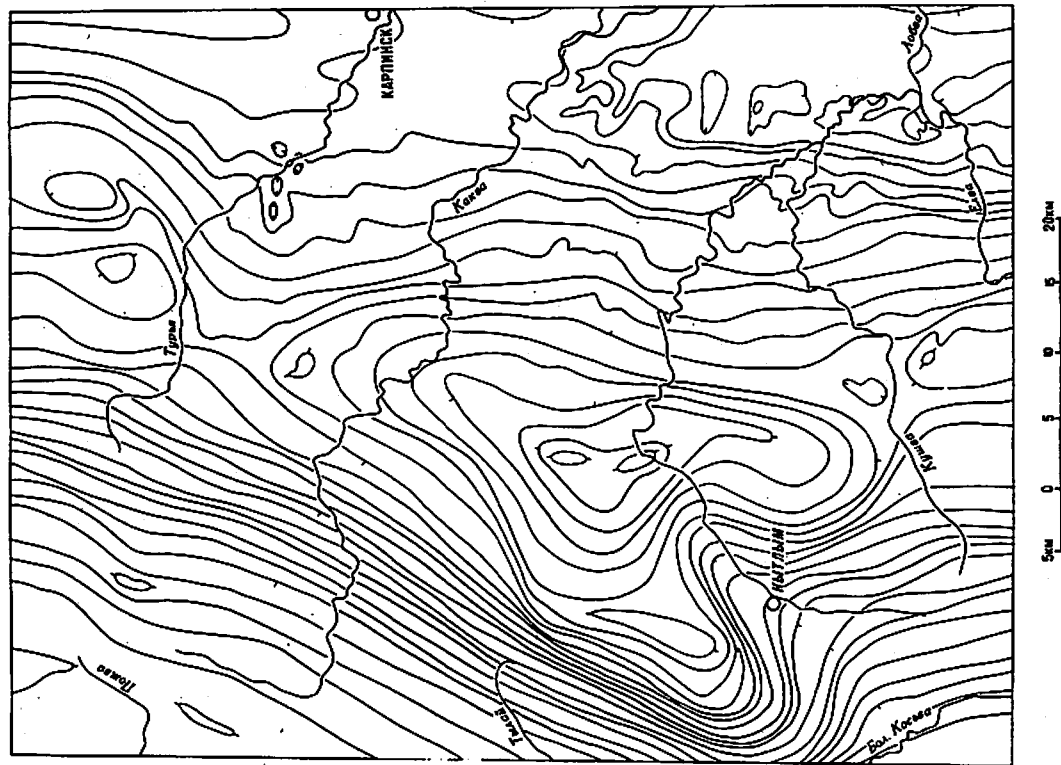


Рис. I. Схема гравитационного поля. Составлена С.А. Зворской по материалам Е.И.Ананьевой.

Полимер. Цемент светло-серый сплошного-жгутацкий; количество его не много меньше, чем обломочного материала.

Н И З Н И - С В Е Л Н И О Т ПОЛН

Х о м а с ь и н с к а я с в е т а (O_1 - 2 ш) выделена К.А. Борзовым на восточном склоне Приполярного Урала, где она представлена рассланцованными алевролитами и филлитами с прослоями кварцитовых пачечников и хлорит-карбонатовых алевролитов, иногда известковистых сланцев [44]. В северо-западной части листа породы комасинской свиты полосой северо-восточного простирания шириной до 3 км прослеживаются с севера на юг до верховьев р.Какын; ближе они срезаются тектоническим разрушением.

Отложения комашинской свиты являются до сущест-
венно от существенно терригенных осадков саранханской сви-
ты к осадочно-зундогенным образованиям польянской свиты. Они
представлены азовузвавленными карбонатами соландами
с со стильномеланом, кроссатом, глаукобионом), пещниками,
известково-глинистыми, метаморфизованными эфузивами основного
вулкана, туфосланцами, туфитами.

Наиболее полный разрез отложий комицьянской свиты наблюдался в выемках лесовозной дороги на широте горы Козаевр: с небольшими перерывами снизу вверх обнажаются, м: I. Сланцы зелено-вато-серые с серпентином, частично соле-кварцевые, участками плющчатые; в нижней части соле-кварцевые линзовидные включения кварца размером 15x40 см,

а в верхней — редкая окисленность сульфида. Сланцы пронизаны многочисленными квадратными жильями. Стойкость совпадает со сланцеватостью и имеет эзимут падения $110^{\circ}-120^{\circ}$, угол падения $75^{\circ}-80^{\circ}$.

Сланцы Серциаг-Лоджитовые серебристо-серые и зеленовато-серые тонкосланцеватые, прослонами тонколистоватые, иногда карбонатные ржавые. Азимут падения сланцеватости 140°, угол падения 80°

Сланцы слюдисто-хлоритовые серебристо-зелено- ватые пятнистые, местами перемятые, плотные с азимутом падения 270°, углом падения 60°. Характерны прослойки серых и зеле- новатых-серых кварцитопесчаников, иногда гра- вийных (размер обломков 1,5–2,0 мм), силици- стых и хлоритсодержащих; мощность прослоев до 50 м.	•	500
Общая мощность южно-инской свиты	1600	М. Физическая поле

и свойства пород хомса синской и саранчансерской свит стало гибче.

Нижний контакт хомасынской свиты с породами саранханской роковой свиты согласный, иногда резкий, проводится по смене почти белых кварц-серпитовых сланцев, содержащих часто пестинки хорошо окатанного серого или сероватого кварца. Завершаются разрез саранханской рокой свиты зеленоватыми сланцами с хлоритом, относимыми к хомасынской свите. В других случаях, когда наблюдается пересечение терригенных и алевитоконгенических сланцев, граница проводится условно в основании пачки, где последние преобладают.

Ранне-среднеорловский возраст томской свиты признается на основании положения ее в разрезе между раннvorловской саранханерской свитой и средне-поэдинорловской польской (высокой) свитой, датированной каледской фауной.

**Средний - верхний отде-
ли
Полинская свита (O_2 -эр) выделена К.А.Льво-
вым по р.Долье на восточном склоне Приполлярного Урала. Отло-
жения свиты, представляющие метаморфизованными диабазами, мик-
родиабазами, афирогемами базальтового состава, альбит-епидото-
выми амфиболитами, сланцами эпилот-альбит-эктинолитовыми, ут-
листо-хлорит-серпентинизированными, кварцитами углистыми и сло-
истыми, песчаниками кварцевыми и вулканомиктовыми, гравели-
тами, известняками, прослеживаются с небольшими перерывами по-
простирианию на юг до северо-западного подножья Кытынского
массива. Полосы этих отложений на описываемой площади распо-
лагаются в северо-западной части листа и достигают ширинны
20 км, отличаясь от стратотипа увеличением роли вулканогенных**

Особенности литологического состава пород позволяют подразделить отложения Польинской свиты на две подсвиты: нижнюю, существенно терригенную, и верхнюю, глыбным образом, вулканогенную. Нижняя подсвита представлена сланцами слюдисто-хлоритовыми и слюдисто-хлорит-альбитовыми, нередко соде ржаними карбонатного материала и примесью тематита с прослоями сливных, частично полосчатых, кирпичитов, мраморов, серпентит-хлорит-кварцевых и углисто-кварцевых сланцев. Средняя плотность сланцев лежит в пределах $2,67$ - $2,80$ г/см 3 в зависимости от преобладания со-разования.

лее или менее плотных минералов. Породы немагнитны [155].

Изогла на наблюдается маломощные простые апвелюканогенные зеленых сланцев и метаморфизованных эйбуэлов основного соста-ва, главными породообразующими минералами которых являются альбит, хлорит, эпидот, актинолит, стилитномелан, лейкоксено. Верхняя подсвита сложена метаморфизованными эйбуэловыми ос-новного состава: дикобазами, макролиабазами, афиритами, редко их туфами. Все породы метаморфизованы в условиях от зелено-сланцевой (иногда глауконитовой) до альбит-эпидот-амфи-болитовой фации регионального метаморфизма и только в контак-товых ореолах с интрузиями степень метаморфизма увеличивается до амфиболитовой с образованием роговиков и амфиболитов.

По существу вся подсвита представлена альбит-эпидотовыми амфиболитами с редкими прослоями зеленых сланцев. Средняя плотность 2,94 г/см³; 15% измеренных образцов имеет магнитную восприимчивость более 500·10⁻⁶ ГС/С, оставльяне немагнитны [155]. Отложениями польинского свиты отвечает, в основном, спокой-ное понижение магнитного поля с отдельными небольшими по ин-тенсивности положительными аномальными вблизи контакта с мас-сивами Платиноносного пояса. Положение обра зованной свиты в Разрезе отложений польянской свиты изучен по высоткам и ко-ренним выходам вдоль лесовозной дороги, идущей северней р. Оль-ин к лесочастству Помя. Здесь снизу вверх обнаружается, м:

1. Сланцы слюдисто-хлоритовые и слюдисто-хлорит-альбитовые глинистые буровато-зеленые и серо-вато-зеленые до темно-зеленых; городы местами перемяты, содержат единичные псевдоморфозы ли-монита по пириту. 200
2. Сланцы слюдисто-хлоритовые карбонатсодержащие, характерные единичные зерна кварца величиной до 1-2 мм, количество которых постепенно возрастает к середине слоя, достигая 10% состава, и затем так же постепен-но уменьшается. Насыщены прослоями в 5-10 м се ридит-хлоритовых о промылками молочно-дело-го кварца и хлорит-альбитовых сланцев. Азимут падения сланцев 120-130°, угол падения 40-60°. 135
3. Сланцы слюдисто-хлорит-хварцевые с тонкими прослоями (0,5-1,0 м) слийных кварцитов. Зелено-вато-серых и розоватых. Азимут падения слоистос-

- | | |
|---|------|
| ти 135°, угол падения 800-850. | 30 |
| 4. Кварциты сливные полосчатые от зеленовато-се-рых до розовых и белых. | 20 |
| 5. Сланцы слюдисто-хлоритовые серебристо-зеленые; азимут падения сланцев 115-130°, угол падения 55-70°. Характерны кварцевые жилья. | 60 |
| 6. Габбролиазы светло-зеленные хлоритизированные и альбитизированные с прослоями слюдисто-хлоритовых сланцев; вверх по разрезу сменяются диабазами массивными темно-зелеными. Местами породы содержат эпидот | 80 |
| 7. Сланцы-порфирин розовато-серые мелкозернистые, на восточном контакте сопровождаются полосой карбонат-хлорит-альбитовых и углисто-хлорито-вых сланцев мощностью в 1 м | 25 |
| 8. Сланцы серидит-хлорит-альбитовые буровато-зеленые. | 45 |
| 9. Мраморы средне зернистые белые и серовато-бе-лые грубо расчленованы: азимут падения слюдистости 115°, угол падения 55° | 30 |
| 10. Сланцы углистые и углисто-карбонатные | 10 |
| 11. Сланцы серидит-хлорит-альбитовые | 75 |
| 12. Мраморы средне зернистые белые и серовато-бе-лые, местами тонкопереслаивающиеся с хлори-товыми сланцами. Азимут падения слюдистости 120°, угол падения 60° | |
| 13. Сланцы серидит-хлорит-альбитовые зеленовато-серые с карбонатным материалом и прослоями углистых и карбонатно-углистых сланцев | 200 |
| Далее наблюдается нарушение северо-восточного простирания, выраженное в рельефе резким уступом, и обнажается: | |
| 14. Диабазы массивные мелкозернистые с прослоями диабазовых порфиритов и мелкообломочных туфов основного состава | 1450 |
| 15. Сланцы углистые темно-серые, переслаивающие-ся с серидит-хлорит-альбитовыми зеленовато-серыми сланцами, вверх по разрезу постепен-но вытесняющимися углистые. В верхней части разреза наблюдаются два прослоя в 25 метров плагиогранитов желто-серого цвета 1. 200 | |
| 16. Амфиболиты албигит-эпидотовые мелкозернистые темно-зеленые полосчатые | 550 |
| Общая мощность отложений в разрезе 4-125 м. | |
| Амфиболиты — мелко-и тонко-зернистые темно-зеленые породы, состоят из обыкновенной роговой обманки и албигит-олигоклаза; иногда в небольших количествах залегают эпидот, плюмат, гранат (последний в виде скелетных зорнистобласт). Тесная связь амфиболитов с зелеными альбулакно- | |

генними сланцами и эфузивами, постоянные переходы с переслаи-
ванием и реликты миндалевидных текстур в амфиболитах позво-
ляют считать последние образовавшимися по вулканогенным, иного-
да измененным и рассланцованным породам преимущественно основ-
ного состава. Химический состав амфиболитов приведен в прилож.
5. Общая мощность отложений польинской свиты 4–400 м.
Залегание отложений согласное; граница проводится по смене
вулканомиктовыми пестниками или вулканогенными сланцами
польинской свиты. Возраст принимается условно как средний –
верхний ордовик на основании сопоставления отложений с север-
ними и южными разрезами [10, II] и в соответствии с утвержденно-
й стратиграфической схемой [67].

В И Й С К А Я С Е І Т А (02-ЭУ) впервые выделена и опи-
сана И.Д.Смирновым на Среднем Урале [41, 61]; отложения ее
прослеживаются на север до Кытлымского массива. В юго-запад-
ной части описываемой территории они согласно располагаются
на тельпосских отложениях, слегкая полосу шириной в 20 км. По
составу они подразделяются на две части: нижнюю, представленную
преимущественно терригенно-вулканогенными сланцами, и
верхнюю, сложенную в основном измененными вулканогенными по-
родами (зелеными сланцами и амфиболитами).

Нижняя часть разреза представляет пестрое чередование уг-
листо-кварцевых, серипит-хлорит-кварцевых сланцев с песча-
нниками, метаморфизованными вулканогенными образованиями основ-
ного, реже кислого состава. В толще сланца нижней части об-
наруживает тонкое переслаивание различных по составу прослоев –
серипит-кварц-хлоритовых и углисто-кварцевых (хреннистых), су-
щественно-кварцевых и слюдисто-хлоритовых, участками пропи-
таных гидроокисями железа. В некоторых прослоях наблюдаются
сноповидные агрегаты стильномелана и зеленогранат-турмалина.
В углистых прослоях углисто-глинистое вещество образует линзо-
видные скопления. В кварцевых пестняках, простой которых дос-
тигает 50 м, нередки чешуйки слюды и зерна лейкоксенса.

Разрез нижней части залегает на пачкой аповулканогенных зеленых слан-
цев с реликтовыми структурами дайбазов. Мощность нижней части
достигает 600 м.

В основании верхней части наблюдается переслаивающиеся ме-
таморфизованные эфузивы и туфы основного, реже кислого сос-

тава. Среди них части прослоев грязно- и желтовато-зеленых сло-
дисто-хлорит-кварцевых сланцев. Выше расположаются довольно-
однообразные слоистые альбит-эпидотовые амфиболиты с редкими
прослоями светлых кварцитопесчаников. Мощность этих отложений
достигает 3–100 м. Общая мощность выйской свиты 3–700 м.
Магнитное поле спокойное отрицательное. Вблизи массивов
платиноносного пояса появляются цепочки положительных аномалий с интенсивностью 200–500 гамма, связанные с зонами обогаш-
ниямагнетитом и дайками дайбазов (рис.2). В поле силы тяже-
сти образования свиты находятся в пределах крупной гравитацион-
ной ступени, обусловленной Кытлымским и Павловским массивами
(см.рис.1). Данных о физических свойствах пород выйской свиты
нет.

Породы выйской свиты обнаружены в редких коренных выходах;
или прорывают разрезом можно лишь среднюю часть свиты, вскры-
тую в верховых р.Бол.Косын линией шурфов № 89 [162]. Снизу
вверх прослеживается, м:
I. Сланцы слюдисто-хлорит-кварцевые песчаник – 100
2. Сланцы слюдисто-хлорит-кварцевые, пронизан-
ные маломощными лайками измененных диабазов.
Задают падение слоистости 700 под углом 30° 100
3. Габброродибазы измененные; азимут падения дайки
70° под углом 60° 30
4. Сланцы слюдисто-хлорит-кварцевые с многочислен-
ными лайками габброродибазов, характеризующими-
ся крутыми восточными и западными падениями 120
5. Сланцы слюдисто-хлорит-кварцевые песчаниките-
выхоложение в ядре пологой симметричной антикли-
нали, пронизанной в осевой части все теми же
лайками габброродибазов 50
6. Сланцы слюдисто-хлорит-кварцевые, аналогичные
второму слою, слагают симметричную пологую
складку с падением крыльев в 30–45°.
Изогтия в них наблюдаются маломощные дайки
габброродибазов 110
Раздел с падением плоскости сместителя под углом в 45° на
запад.

7. Туфы и туффиты рассланцованные с прослойями из-
мененных альбитофориров; породы смяты в складки. 100

8. Сланцы слюдисто-хлорит-кварцевые 20

9. Сланцы массивные темно-зеленые 80

10. Туфы основного состава измененные, рассланцованные 50

23

Общая мощность разреза 760 м.

Переход от пород тельпосской свиты к вышеупомянутым отложениям постепенный, без углового несогласия; условно нанесено грави- ницу приурочить по подошве первого слоя углистых или углисто-кремнистых сланцев [61]. Возраст отложений выской свиты определен на основании находок карадокской фауны в известняках на сопредельной к югу территории [6,10,25,63].

СИДУРИЙСКАЯ СИСТЕМА

Нижний отдел Мландоверийский ярус

Отложения мландоверийского яруса представлены пестрой толщей переслаивающихся и фациально замещающих друг друга по прости- раннию вулканогенно-осадочных пород, характерной особенностью которых является преобладание в разрезе разновидностей основного и кислого состава с полчищными, нередко отсутствующими в частных разрезах, породами среднего состава. Эти отложения, выполняемые в контрастную базээльт-линнитовую (спилит-альбино-фиоровую) вулканогенную формацию, являются результатом горо- дромной непрерывной магматической эволюции, характеризующейся закономерным изменением их химических особенностей от начала до конца времени формирования [28, 29, 31, 32]. Как правило, они тяготеют в своем распространении к массивам Платиноносного по- яса Урала; с ними связано медноколчеданное оруденение.

Вулканы контрастной формации характеризуются формированием на больших площадях многочисленных пространственно-сбли-женных небольших базээльтовых и кислого состава построек, их группы в целочек, т.е. относятся к центрально-трещинному типу. Характерно обилье сваренных пирокластических образований; вул-каниты кислого состава обычно занимают 1/3 объема [30, 33].

В пределах листа отложения этого возраста располагаются в восточной части, образуя вулкано-тектонические структуры и экс-трумы купола часто субконцентрического в плане строения. С севера на юг выделяются: Валенторская, Галкинская, Ильско-Тотинская, Кызыевская вулкано-тектонические депрессионные структуры, Юртынский и Еланский экструзивные купола [116, 117]. Несколько позже их строение устанавливается по зональному расположению отложений, поэтому сокращено выдать до полного выклини-



Рис.2. Схема аномального магнитного поля За . Составлена
С.А. Зворской по материалам Е.М.Ананьевой.

вания отложений в кимзых структурах, не согласному перекрытию более поздними отложениями. По характеру физических полей отчетливо прослеживаются основные элементы структур, положение дуговых и радиальных разломов. Цепочки локальных аномалий определяются границами кальдер, положение кислых экструзий и т.д. [116, 117]. Размежевы вулкано-тектонических структур в撵е-речнике достигают 25 км, мощность отложений до 1 500 м, экстру-занные купола обычно меньше – до 5 км в поперечнике.

Отложения представлены базальтовыми, диабазовыми, реже да-цитовыми, андезито-базальтовыми порфиритами и аффирами, спи-литами и ландарито-дацитовыми порфиритами; части пирокластиче-ких образований тех же составов, яшмы и субузуленитические тела кварцевых, нередко метаморфических порфиров; иногда наблюда-ется альбитобиотит и итимбориты. Обычны спилиты и диабазы с по-дущечной отдельностью, свидетельствующие о подводных излия-ниях, проливально-лакховые губбообломочные отложения и тef-роидные туфолестиники [29, 30, 40]. По характеру дифференциации исходного расплава – мантийного толеитового базальта, весь объем вулкаников отвечает известково-щелочным нормальным ще-лочностям, реке – калиево-натровым, сариям [49].

Над отложениями преобладает сложное изрезанное, в основном отрицательное поле, на фоне которого отмечаются многочислен-ные узкие локальные аномалии с интенсивностью 200–500 гамма, редко больше; аномальные зоны разного знака фиксируют элементы колышевых структур, часто сохранившиеся фрагментарно, поэ-тому ориентировка их разнообразна (см. рис. 2). Гравитационное поле сложное, в основном, линейное субмеридиональной ориенти-ровки с многочисленными изломами изоганомал, обозначающими ано-малии более высокого порядка. По результатам крупномасштабных съемок различаются поля развития основных и кислых разностей в силу контрастности плотностных свойств [125].

В основании разреза располагаются спилиты и диабазы, пере-славляющиеся с порфиритами основного состава; те и другие пред-ставляют пласти и покровы различной мощности. Общая мощность этой части разреза достигает 1 000 м. Главными породообразую-щими минералами пород являются платикоксит, часто соссюритизи-рованный, хлорит, редко – мелкие зерна клинопироксена. В полу-чиенном отношении выделяются кварц, карбонат, шапе – видные частички гематита. Вкрашенники в порфиритах разновид-

ностих представлены альбитом, реже соссюритизированным лабра-дором. Структура основной массы микролабазовая, интерсерталль-ная, спилитовая, дилотакситовая. Средняя плотность спилитов и лабазов 2,95 г/см³, порфиритов основного состава 2,76 г/см³; в основном порода немагнитна.

Лацитовые порфириты и ландарито-дацитовые порфириты залегают в виде крупных и серии мелких тел, выклинивающихся по прости-ранию. Обычно это афировые или порфировые породы массивной, ёлкоидальной, участками катакластической текстуры. В порфиро-вых выделениях встречаются албит и, реже, кварц. Основная масса фельзитовая, микрополихилитовая, сферолитовая. Химичес-кий состав пород приведен в прилож. 5. Средняя плотность 2,65 г/см³, магнитная восприимчивость 72·10⁻⁶ СГС [25].

В пределах листа для лландоверийских отложений характерен эухигиогенный тип разреза с редкими маломощными прослоями хремнитовых сланцев.

Взаимоотношения с подстилающими породами известны на сопре-зельном листе, непосредственно за северной границей в районе Константиновской Сопки, где малолакеменные подушечные лавы основного состава, относящиеся к нижней части лландоверийских отложений, залегают почти горизонтально на крутонахатах ме-таморфизованных эфузивных альбизитах основного состава верхней части Бельинской свиты [1].

Возраст отложений по находкам в кремнистых сланцах (с-832, окрестности пос. Черный Яр) граптолитов *Diplograptus sp. indet.* и *Pristiograptus sp. indet.* определяется как лландоверийский [I4, II5]. На сопредельной с ним территории в кремнисто-углис-тых туфоалевролитах северной окраины пос. Старая Ляля и северо-западной пос. Ягоровка собраны остатки граптолитов: *Pseudo-clinacograptus hughesi* (Nichol.), *Coronograptus cf. gregarius* (Lapw.), *Pristiograptus cf. concinnus* (Lapw.), *Sapropograptus aff. communis* (Lapw.). Эта коллекция позволяет обоснованно опреде-лить возраст отложений, в которых они найдены, как среднеллан-доверийский [IC]. Полистильные их вулканогенные отложения, та-ким образом, принимаются как отложения нижнего лландовери, а эозастрей всей толщи отложений как нижний средний лландовер, что соответствует принятой в настоящее время для этого района стратиграфической схеме [67].

Отложения кислого состава контрастной формации вскрыты в

восточном крыле Галкинской вулкано-тектонической структуры

I.	Альбитофиры светло-серые скриктохристиаллические трепановатые	7,6
2.	Конгломераты, состоящие из галек кварцитов, ге- матитизированных и окременных альбитофирам	5
3.	Кластоллы альбитофирам блоками кристаллических редкими гальками кварцитов и обломками кварце- ных породиров; верхняя часть слоя светло-серая, ниже - пестроокрашенная за счет включения участ- ков конгломератов, подобных лежащим выше. В ос- новании располагается слой итнаборита в 0,3 м.	20,6
4.	Туфы светлые сваренные с фырьем и линзовидными выделениями микрокальцита до 5 см в диаметре	6,5
5.	Чередование сваренных туфов и кластолов альби- тофирам с полосчатостью в центре прослоя, обус- ловленной слойками итнаборита	22
6.	Альбитофиры интенсивной сиреневой окраски (ла- вовне) с прослойем до 2,6 м кластолов или сварен- ных туфов (литоглянца в полосчатой лаве)	24
7.	Линзовидные туфы однородные с обломками гематити- цированных альбитофирам и микродорнеллитов	10,5
8.	Тубфиты с обломками альбитофирам	2,3
9.	Альбитофиры плотные гематитизированные, участ- ками с текстурами кластолов	4,7
10.	Итнабориты светлые, местами со сваренной пем- зовой природой стекла, обломками кислой лавы и зональными обломками	III,2
11.	Альбитофиры зеленовато-серые, местами с сире- неватым оттенком	1,6
12.	Тубоконгломераты	3,4
13.	Альбитофиры темно-серые, в конце слоя красно- ватые. С прослоями ореховой альбитофирам с ка- вернами, заполненными кальцитом	18
14.	Туфы спекшиеся с обломками лавы, с дайкой в 4,2 м массивного альбитофирам	35
15.	Пестрое чередование туфов кислого состава, геоплитизированных пемзовых туфов и итнабори- тов	70
	Общая мощность разреза 348,2 м.	
	Разрез, включющий отложения основного состава, сняли вскрыт -80 в центральной части этого же вулкано-тектнической струк- туры [115]; сверху выше установлены:	
I.	Ерекции альбитофирам и кварцевых альбитофирам с прослойем пемзовых туфов, местами рассланци- ванных, и дайкой темно-зеленых лавабозов	60
2.	Глины (возможно, образовавшиеся при трещине)	3,0

этими вулканическими отложениями связана меднодорожная промышленность [37, 38].

Петрохимические особенности вулканических пород этого возраста позволяют отнести их к группе почты синхронных по возрасту ассоциаций — альдзито-депритовой калиево-натриевой, породы которой выполняют вулкано-тектонические депрессии и известковой залежи аллювиального типа, породы которых обнаружены в остатках куповых вулканов центрального типа;

имеет место также умеренно-щелочные дифференциации. Типмагнитной зонации этой части разреза антидромный [23, 74].

В сложном и разнообразном по составу комплексе пород развились андезито-базальтовые, андезитовые, трахи-андезито-базальтовые, андезито-дацитовые и дацитовые порфириты, липарито-дацитовые, липаритовые порфириты и их туфы, туфоконгломераты, туфопесчаники, лавобрекции; участками наблюдаются гидротермальные изменения. Последние наиболее характерны для кислых вулкаников и выражаются в интенсивном оварцевизации, серпентинизации, хлоритизации и карбонатизации пород, а также погребении в этих зонах субфациальной минерализации. Установливается зекономерность в распределении отложений — в нижней части разреза располагаются исключительно вулканогенные и вулканогенно-осадочные породы, в верхней половине наряду с вулканогенно-осадочными отложениями появляются прослои известняков с остатками фауны.

Магнитное поле довольно пестрое по интенсивности, но с явным преобладанием отрицательных значений. Андезитовые и андезито-дацитовые порфириты и их туфы, в основном немагнитны, хотя 30% измеренных образцов порфиритов обладают магнитной восприимчивостью более 1000·10⁻⁶ СТС. Средняя плотность порфиритов 2,71 г/см³ [155].

Отложения этого возраста несогласно залегают на различных частях разреза лландоверийских отложений, а в пределах смежного с севера листа — и на ордовиковых породах польнской свиты [11]. Максимальная мощность отложений достигает 3 000 м.

Остатки фауны, приуроченные к верхним карбонатным частям разреза, наблюдались по простиранию полосы в пределах всего листа. Среди них определены формы: Favosites gothlandicus Lam., Subulveolites eriostotheculaeus Sok., Halysites cf. latus Umet, Atypella aff. rugosa Dalm., Eoereticularia pavensis Streiz.

Эти находки позволяют отнести известняки верхней части к павлинскому горизонту венока (нижний-средний венок). Stratigraphическое положение отложений выше фаунистически охарактеризованных вулканогенно-осадочных пород, нижнего-среднего лландоверия и залегание под известняками верхнего венока, а также находка фаунистических остатков павлинского горизонта позволяет датировать отложения этой части разреза в пределах от верхнего лландоверии до среднего венока вычетательно [172].

Нижний отдел. Венлокский ярус, ведровский ярус — ведровый отдел, лулловский ярус (Sv_3-1d)

Эти отложения прослеживаются на востоке площади от северной рамки в виде субмеридиональной полосы шириной до 5 км, зыклинивавшейся на широте Антилинского озера. Канье они наблюдаются только в виде небольших, неправильной формы участков, приуроченных также к субмеридиональной зоне, расположенной восточнее долины ландоверийско-венлокских пород.

Полный разрез, представленный базальтовыми, андезито-базальтовыми и андезитовыми порфиритами (иногда хайнотицинами) и их туфами с прослоями известняков и слоистых тейроидов в нижней и рапогенными известняками в верхней части, наблюдается на севере площади; в других случаях обнаружена лишь незначительная часть разреза, представленная переслаивающимися андезито-базальтовыми порфиритами и их туфами с туфопесчаниками, крупнообломочными брекчиями, известняками и известково-глинистыми сланцами.

Граница между нижней и верхней частями разреза иногда фиксируется прослоями конгломератов и гравелитов, состоящих из обломков карбонатных пород и вулканитов. Характерной особенностью вулканитов этого возраста, выделяемых в андезито-базальтовую формацию [16], является присутствие субщелочных юцрол — трахиандезитов, отличающихся от однотипных более поздних пород высоким содержанием натрия (см. прил. 5). Андезито-базальтовые и андезитовые порфириты часто миндалекаменные; в них, также как и в субщелочных разновидностях, наблюдаются гранулыники плагиоклаза (андезина-лабрадора), клинопироксена (авгита).

При преимущественном развитии вулканогенных фаций напряженность магнитного поля достигает 300–800 гамм, вулканогенно-обломочных — от (-300) до (+300) гамм. Карбонатному разрезу ствеяет спокойное отрицательное поле. Порфириты основного состава имеют среднюю плотность 2,74 г/см³, их магнитная восприимчивость меняется в пределах 0–2000·10⁻⁶ СТС [112]. Известки немагнитны, средняя плотность их 2,67 г/см³.

Образование вулканогенной части толши связано с лягель — юго-западных крупных вулканических центров типа полигенных стратотеланков, остатки элементов которых выявлены на сопредельных

с поглощаемых [10]. Активный вулканизм на описываемой территории, принимая во внимание характер отложений, ограничен длительным временем от верхнего венчика до низов лудлова; выше по разрезу вулканогенные отложения встречаются среди фаунистических охарактеризованных известняков лишь в немногих пунктах, как, например, близ оз. Антильского и на р. Ганде; они представлены трахиндендитовыми породами, андезито-базальтами, их туфами и туфоресчанниками [11].

Известняки верхней части разреза наблюдались лишь на северной территории; это рапортенные,верху слоистые, от темно-серых до светлых лоти белых разновидностей породы, содержащие остатки фауны. В вулканогенных отложениях изолированных участков известняки наблюдаются в виде маломощных прослоев.

Максимальная мощность отложений достигает 2 000 м. Взаимоотношения с подстилающими отложениями различные: в северной части они согласно перекрывают породы лланцовари-зенлокса, неенередко несогласно располагаются на образованных раннего-среднего лланцовари. Ихотия в основании разреза наблюдаются базальные конгломераты с гальками подстилающих отложений — липаритовых пород, трехчленные эитовиты порфиритов, габбро. Такие конгломераты в пределах территории описаны Д.С.Каретников на Р.Лобве и Р.Киве.

Возраст отложений устанавливается на основании находок в известняках и известково-глинистых сланцах нижней части разреза остатков *Cladopora pubantis* Yanet, *Brooksina conjugata* Knob., *B. striata* Eichw., характерных для елгинского горизонта верхнего венгюка и ясовского горизонта лудлова, а в верхней - *Clastrodictyella turkestanica* Less., *Conchidium vogulicum* Tver. и др., характерных для санковского горизонта лудлова.

Фрагмент разреза средней части отложений этой возрастной группы вскрыт скв. 905 в районе пос. Галка [115]. Сверху выше

Верхний отдел Пржевальский ярус (S_{2p})

КОМПЛЕКСНОЕ ПРИЧИНОДІЯ

эй полосой шириной до 3 км прослеживается в восточной половине листа, от широты оз. Антиллинского и до южной рамки, а также в это юго-восточном углу. Многочисленные тектонические нарушения характерные для этой зоны, разбивают полосу отложений на

2. Пересяживание базальтовых, тряхабазальтовых, андезито-базальтовых, андезитовых и треканделитовых породитов с прослоями туфиллов и кремнистых сланцев. 570

3. Порфирий массивные зеленовато-серые тряханделито-базальтовые с выкристаллизованными платино-кластами. 300

4. Известняки светло-серые массивные с фибриной *Cladopora tessellata* Janet, *Apricella plana* Texter-llis Mag., *Syndetocrinus natus* Stuk. 50

Общая мощность отложений породика I 1000 м.

Взаимоотношения отложений природилия с подстилающими в этой зоне часто завуалированы тектоническими нарушениями: в редких случаях наблюдалось несогласное залегание их на различных горизонтах нижнего и верхнего слояча часто с маломощным прослойем конгломератов в основании. Возраст отложений устанавливается на основании многочисленных фаунистических остатков в прослоях известняков и известково-глинистых сланцев среди вулканитов, а также в рапогенных известняках. Найдены остатки *Favosites bonus* Janet, *Circorhynchus vancaucensis* Smith. et Themb., *Syndetocrinus natus* Stuk., характерных для североуральского горизонта, позволяет уверенно относить отложения к приподольскому ярусу [92].

По физическим полим и свойствам разделять образования турунинской свиты на верхнесулурийские и нижнесулурийские не пред ставляется возможным, поэтому ниже приводится общая характеристика.

Наиболее интенсивная напряженность магнитного поля наблюдается над дикроксан-шлагмокварзовыми и плагиоклавозными порфиритами базальтового, тряхабазальтового и тряханделитового составов, а так как они являются преобладающими в составе пород, распространенных более пос. Галка, то здесь фиксируется пологий падающий магнитное поле с максимальной интенсивностью 1500–2000 гамм. Западный край аномалии четко совпадает с границией развития рассматриваемых образований, а в восточном направлении она продолжается за пределы площасти и "просвечивается" под первоначальными отложениями прахского яруса. В северной части платформы, где доля вулканитов в разрезе уменьшается и преобладают туфогенно-осадочные образования, выделяются лишь отдельные линейные аномалии в 300–500 гамм с северо-западной ориентировкой (см. рис. 2).

разновидные блоки, часто смешанные относительно друг друга, что затрудняет коррекцию разрезов.

отложения, соответствующие прицольскому ярусу, на картах масштаба 1:50 000 иvodных мелкомасштабных рассматривались вместе с нижнедевонскими в составе туринской свиты [Г14, Г15, Г17, Г27, Г33, Г54]. Расчленение силуэтов и девонских отложений на представляемой карте оказалось возможным лишь благодаря работам Палеонтологической партии УГЭС и приводится впервые [Г2, Г72].

По существу отложения придонные являются вулканическо-осадочными весьма неоднородными по составу породами. В северной части площади они разделяются на две толщи: нижнюю—вулканогенно-осадочную, и верхнюю, представленную рапогенными известняками. По простиранию полосы к югу и в юго-восточных блоках такого расчленения пропасти не есть; здесь породы приподняты и представляют пестрое переславание базальтовых, андезито-базальтовых (иноста камнотипных), трахикавазалтовых и трахиандезитовых породитов с их туфами, туфистами, агломератами, игнимбритами, туфоконгломератами, туфопустниками и туфолавровыми известниками, известняками, известково-глинистыми, известково-хромистыми и кремнисто-глинистыми сланцами.

Формирование вулканических отложений пришло в результате деятельности небольших вулканов центрального типа, расположенных сплошными [117]. Перемычные и перестекающие широколастические образования представлены туфопесчаниками, туфоконгломератами и т.п., широко распространенными в восточной части описываемой территории [32, 38]. Лавовые вулканические породы характе-

отложения Прандольского яруса обнаружены недостаточно; обычно можно наблюдать лишь отдельные фрагменты разреза, поэтому ниже приводится сводный разрез, составленный Н.С.Каретниковым в результате изучения обнажений на р.Лосве. Какое с учетом данных картированного суперяруса пос.Черный Яр [114]. Сланцы вверх выделены, м:

и залогового состава и известных нам контролеров.

По плотности породы занимает широкий интервал: от $2,75\text{ г}/\text{см}^3$ для сазельгових и трахидазальтовых порфиритов и $2,65\text{ г}/\text{см}^3$ для туфов смешанного состава, до $2,44\text{ г}/\text{см}^3$ для туфов трахитовых порфиритов [27]. Средняя величина магнитной восприимчивости неизменяется следующим образом: базальтовые и трахидазальтовые порфириты $2950\text{--}3650\cdot10^{-6}$ СТС; трахилезитовые порфириты $2350\cdot10^{-6}$ СТС. Магнитная восприимчивость туфогенно-осадочных пород значительно ниже и лежит в пределах $400\text{--}550\cdot10^{-6}$ СТС для базальтового и трахидазальтового состава. Цапловые туфы, по данным [27],

TIEBOHCKA & CYCLES

Н и ж и и и о т д е л
Люхковский ярус (D₁)

Отложения ложковского яруса наблюдаются прерывистой полосой шириной до 3,5 м в восточной части листа. Эти отложения разделены восточная часть листа на основании исследований Палеонтологической ассоциации УГЭ [92]. Они представлены разрозненными, часто смежными, блоками различной величины, сложенными вулканическими и карбонатными породами. В северной части полосы преобладают карбонатные отложения — известняки, иногда рапиевые, пелитоглифные, переслаивающиеся с фильтационными хеминесценции, пелитоглифные, переслаивающиеся с фильтационными хеминесценции.

глины и карбонатно-глинистыми сланцами. Ежнее широты Г. Карпинского отложений ложкова преобладают вулканогенно-осадочные среди отложений - андезито-базальтовые, траханадзитовые порфирииты, ракахитовые порфирьи, их туфы, туфолесчанники, туфоконгломераты, земловые туфы и переотложенные литокластические туфы и агломераты: карбонатные породы - светло-серые и темно-серые, иногда преректирующие известняки и кремнисто-карбонатные, известко-глинисто-глинистые сланцы набираются лишь в виде маломощных прослоев.

Практическое применение

Отложения прямского яруса в северной части площади пред-
ставлены двумя узкими блоками, в глиной - широкой (до 5 км) по-
лосой, выклинивающейся к южной рамке листа. На севере они
склонены переслаивающимися кварцевными песчанками, кремнисто-
глинистыми и кремнисто-карабиновыми сланцами, алевролитами,
часто с примесью пеплового и туфового материала. Значительная
часть полосы отложена турбидитами.

Ненными редкими прослоями терригенных пород и вулканитов, на-
которые замещаются по простирации губообломочными туфогонгломера-
татами, перокластическими отложениями проливально-лахаровых
шлаков и кремнистыми сланцами.

Характерной особенностью комплекса пород этого возраста
является ограниченное участие вулканогенно-осадочных разновид-
ностей, относимых к трахит-базальтовой формации, ука-званной
на эзотукии вулканической деятельности [32].

Обнаженность отложений плокая. Наиболее полный фрагмент
на разработанном разрезе находится на р. Тоте, где в береговых об-
нажениях ниже старой плотины снизу вверх наблюдаются, м [13]:

1. Известняки светло-серые массивные с остатками
остракодов, криноидей и тафулитов *Riphaeocerasites*
hastatus Chonet., плашторога *Rhipidora Yanei*
т.п., позвоночными, условно относить их к томеис-
кому горизонту 100
2. Известняки светло-серые массивные, прослоями ор-
ганические с *Favosites pereplacensis* Dubat., *Levi-
conchidella vagranica* (Khod.), *Polytaphathus*
virgineus Boettgera и др., характерны для томеис-
кого горизонта 30
3. Порфириаты темно-серые трахикомпактные порфиро-
вые, вкрашенники представлены клинопироксеном
и полевым шпатом. 70

Суммарная мощность фрагмента разреза 470 м. Общая мощность
отложений яруса составляет 2 000 м.

Терригенно-осадочные отложения пражского яруса на севере
сочетанно лежат на известняках ложксов; на юге рапакинне, из-
вестняки и вулканогенно-терригенные отложения пражского яруса
также согласно располагаются на вулканогенных породах нижнего
девона. Части текtonические контакты со смещением, приподнявши-
е соприкосновение отложений нижнего девона с породами средне-
го силура и верхнего девона.

Магнитная восприимчивость терригенно-осадочных образований
пражского яруса практическим разве нула. Наследуемое над ними
долгительное поле с интенсивностью 200–300 Гамма скорее всего
соответствует полистратичным породам. По расчетам мощность пе-
рекрывающих известняков и пещерников составляет 100–120 м. За-
кладный контакт отложений пражского яруса установливается уве-
личенно по резкому перепаду напряженности поля от 2500 до
200 Гамм.

Возраст отложений определяется однозначно на основании на-

ходок в известняках остатков *Iudelinia pseudovivedensis* (Khod.), *Karpinskia conjugula* Tschern., *Losvitsa operosa* (Khod.) – вицайский горизонт и *Rudacites multiformis* Lel., *Levi-conchidella vagranica* (Khod.). *Tetralobocrinus perplexus* (J.Dubat) и др. – томеский горизонт [3].

С Р Е Д Н И Й О Т Д Е Л Эйдельский ярус

Отложения эйдельского яруса располагаются в виде тектони-
ческих блоков различной величины вдоль восточной границы лис-
тия, в большинстве случаев они перемещены в плане относительно
друг друга и "перетасованы" с блоками, сложенными сидурийски-
ми породами. Породы представлены светло-серыми и серыми из –
вестняками массивными и плитчатыми, мергелистами и пелитоморф-
ными с прослоями глинистых сланцев, песчаников, бокситоподоб-
ных аргиллитов, зеленых туфопесчаников и туфоконгломератов с
обломками андезито-базальтовых, андезитовых и лапитовых пор-
фиритов и пепловым материалом. Среди отложений эйдела преоб-
ладают известняки, обычно содержащие остатки фауны, терриген-
ные породы наблюдаются в подчиненном отношении. Обломочный
материал туфопесчаников и туфоконгломератов, по представле-
нию М.С.Керегина, принесен в отложение эйдела с востока, где
произошли размы вулканогенных образований силура [114,116].

К основанию разреза эйдела приурочен горизонт бокситов –
главная гудная залежь месторождений Субра сопредельной с се-
вером площади и рудная залежь Талицкого I месторождения и ру-
допроявления бокситов в пределах описываемого листа. Находки
бронированных бокситов в эйдельских отложениях привели к их
гигантскому изучению в последние десятилетия [3,14,54,70,83].

Результаты анализа многочисленных остатков фауны были выде-
лены в объеме нижнего яруса карпинский, верхнего эйделя
тальский горизонты [13,93].
Также были установлены пойсковые признаки и особенности
заспространения бокситов и выделены перспективные на бокситы
зоны [3]. В настоящее время бокситы могут рассматриваться как
значительная разновидность эйдельских отложений, но не могут вы-
деляться как стратиграфический горизонт, так как встречаются
в различных частях разреза [4].

Нижний подъярус ($D_2 e f_1$)

Булканогенно-осадочные отложения нижнего эйфеля наблюдались в разрезенных блоках в пределах Богословско-Веселовской депрессии. В основании разреза располагаются темно-серые и серые с прослоями светло-серых известняки с пачками массивных зеленовато-серых туфопесчаников, с обломками лапитов. Среди многочисленных остатков фауны определены остатки Favosites regularisimus minutus Yanev. Внеш лежит толща глинистых сланцев с прослоями известняков, иногда зеленоватых пелито-моренных, кристаллутров дацитового состава и бокситоподобных с вилневым оттенком артиллитов. К шту эта лестная слоистая толща по простираннию замещается светло-серыми амфиболовыми и темно-серыми известняками с остатками наряда с другими видами того же Favosites regularisimus minutus Yanev.

Полный карбонатный разрез этих отложений лишь с небольшими перерывами в обнажениях наблюдался в долине р.Тоть [53]. Разрез начинается скользящими выходами на правом берегу реки в Iкм выше дос. Тоть. Снизу вверх обнажаются, м:

1. Известняки светло-серые массивные с остатками Favosites regularisimus minutus Yanev. 20
 2. Известняки темно-серые слойстые с прослоями амфиболовых известняков, с многочисленными остатками разнообразной фауны (Paracerasigella magna Pron., Stromatopora praelongata cylindrica Bogosavl., Favosites gregalis Porf. др.). Известники расчленяются как шайтанский горизонт, перекрываяший шайтанский сокситовый пласт [169]. Ониdochka на темно-серые известняки (курильские слои) кровли расположенного восточней (за пределами листа) Тотинского месторождения [53]. 700
 3. Известники светло-серые массивные с остатками фауны. 200
- Комплекс многочисленных остатков фауны дает основание однозначно относить отложения суммарной мощностью в 1 100 м к нижней части эйфельского яруса (карпинскому горизонту).

Залегание известняков нижнего эйфеля на известняках пражского яруса трансгрессивное. Контакт разновозрастных известняков вскрыт стважинами 64, 608, 609 севернее р.Шайтанки [114]. На сопредельном с севера листе в основании разреза наблюдались грубообломочные терригенно-карбонатные породы; в основании или чуть выше по разрезу располагаются продуктивные бокситы

товые горизонты [1]. Эти особенности взаимоотношений с подстилающими образованиями позволяют предполагать существование местных перерывов в осадконакоплении с разрывом и перерожением ранее сформировавшихся отложений.

Верхний подъярус ($D_2 e f_2$). Отложения верхнего эйфеля по характеру и фациальным особенностям близки ранним отложениям яруса. В виде тектонических блоков они наблюдаются вдоль восточной границы листа. Нижняя часть их обычно представлена темно-серыми амфиболовыми и биотинизными известняками, по простираннию замещающимися светло-серыми известняками. Характерны выклинивавшиеся пачки и простой темно-серых кремнистых и известково-хромистых сланцев, туфопесчаников, мелкообломочных туфов, туфобрекций.

Полный карбонатный разрез описан до р.Тоть [53], на правом берегу в 1,8 км ниже Верхногурского тракта: снизу вверх обнаружается, м:

1. Известняки темно-серые глинистые, тонкослойные с остатками фораминифер *Barlandia levata* Pron. *Bavarica* form. *late*, *Parathurammina graciosa* Pron. Внеш по разрезу известняки постепенно становятся более толстошлочечными, среди остатков фауны определяются *Tubinopora cf. absurdia* Yanet, *Dendrostelella trigemina* Quenst. 150
2. Известняки темно-серые биотинизные слойстые с восточным падением под углом 25–30° с остатками *Canchidiella pseudobaschkirica* Tschern. 200
3. Известняки светло-серые массивные с остатками *Ruberopora gloria* Pron., *Videolina menneri* Andr. 100
4. Известняки сидне слойстые криноидно-брекхиоподовые с *Conchidiella cf. pseudobaschkirica* Tschern. 200
5. Известняки светло-серые массивные с остатками фауны, среди которой определены *Uncinulus paraileleipodus* Brown, *Atrypa devonica* descrev. sens. Fent. and Fent. II. Dr. 100

Общая мощность отложений разреза 750 м.

Контакт отложений нижнего и верхнего эйфеля наблюдался в карнико-картировочных скважинах в I км к северо-северо-востоку от ст. Веселовка Угольная и описан Ю.С.Каретником [114]. Светло-серые криноидные известняки нижнего эйфеля, участками имеющие характерный мясо-хрустальный пигмент или бреектированные, перекрывают амфиболовыми темно-серыми известняками, что также позволяет доказать трансгрессивное залегание. Максимальная мощность

отложений верхнего эйфеля не превышает 750 м. Возраст отложений на основании анализа многочисленных остатков фауны, среди которых определены *Typhlops devonianus* Soehn., *Conchidiella pseudobaschkirica* Tschern., определяется как верхний эйфель (альтийский горизонт). Предполагается существование в эйфеле двух крупных трансгрессивных циклов, начало которых совпадает в общих чертах с границами раннего и позднего эйфеля.

Живетский ярус ($D_2 \ddagger v$)

Живетские отложения располагаются у восточной ракки в северо-восточной части листа отложений, закатами между известняками эйфельских и приэйфельских пород, выполняющих западный борт Волчанской депрессии. Они представлены темно-серыми и серыми известняками, часто биогуминозными, амфиборовыми слойстыми, светло-серыми и розоватыми массивными известняками, приуроченными к верхам разреза. В основании разреза нередки прослои известково-глинистых сланцев и малоомощных линз пестропетровых бокситовых глин, свидетельствующие о предшествующем живетскому времени перегреве в осадконакопления. На существование же перегрева указывает также несогласное залегание живетских отложений на различных горизонтах верхнего эйфеля.

Максимальная мощность отложений 500 м. Возраст определяется одновременно на основании находок остатков *Amphipora ramosissima* Bogoyavl., *Actinostroma septatum* Lec., *Thalassopora nicholsoni* Frech., *Heliophyllum alienense* Soshik. как живетский.

В физических полях образования верхнего девона не выделяются, так как они представлены практическими немагнитными породами и в пределах листа имеют ограниченное распространение.

ГРИССОВАЯ СИСТЕМА

Нижний отдел (T_1)

Раннетриасовые отложения вплоть до обнаружены буровением в основании разреза Богословско-Веселовской депрессии и описаны А.И.Краевской [26]; позднее наблюдались П.С.Каретным в восточном борту Богословского карьера [14]. Они представлены глинами красновато-оранжевыми, желтоватыми, светло-серыми, зеленоватыми, образовавшимися за счет выветривания сланцев и песчаников эйфеля. Вниз по разрезу глины постепенно сменяются

выветреными до дресви и затем зважими породами. В глинах чисто встречается стяжения сургучного железисто-бокситового материала и первотложенные гальки кварца. Возраст отложений определяется как раннетриасовый, на основании складства химического состава с аллювально-пелевиальными древнетриасовыми образованием [14]. Мощность этих отложений не превышает 50 м.

Верхний отдел (T_3)

Отложения этого возраста выполняют в восточной части листа Богословско-Веселовскую депрессию, образуя неправильной формы субмеридионально удлиненную зону длиной 18 км и шириной до 1-2 км. Они представлены аргиллитами, алевролитами, песчаниками и конгломератами озерного и озерно-проливального генезиса с прослоjkами и пачками бурых углей. По данным разведочных работ отложения снизу вверх расчленяются на следующие пачки или горизонты [14]:

1. Полугольный горизонт и угольная свита "д", состоящая из конгломератов и песчаников со спорами *Leiotrilites*, *Osmundaceae*, *Anelminites*, *Mariettiaea* и *Ginkgo*, *Podozites*, *Picea*, характерными для нормийского и частично карнийского ярусов [7]. Мощность 200 м.
2. Угольная свита "с" и полугольный горизонт - главные объекты промышленной разработки. Максимальная мощность их 110 м на юго-востоке, к северу, западу и югу мощность постепенно уменьшается, приспособливаясь к наклонному днищу депрессии; одновременно компактная угольная пачка расщепляется на отдельные, также постепенно выклинивающиеся, пласти.
3. Угольная свита "в" и междуугольный горизонт имеет максимальную мощность 85 м и содержит споры и пильцу, характерные для ретского яруса.
4. Угольная свита "а", полностью выработанная, имела мощность также до 85 м и содержала остатки флоры: *Optychium*, *Scheioglyptosa*, *Bennettitales*, *Ginkgo*.

Отложения верхнего триаса, основанные на ориентировке слоистости, прислонены с уклоном несогласием до 30° к породам нижнего триаса, которые в Богословско-Веселовской депрессии могут рассматриваться как залогореные [14]; в промежутке между ними и верхним триасом подсекается разрыв и резкое опус-

хание территории. Общая мощность отложений в пределах Богословско-Веселовской депрессии достигает 450 м. В физических показах они отражения не находят.

Возраст отложений на основании остатков спор и пыльцы определяется как позднетриасовый в объеме всех его трех ярусов.

ЧЕТВЕРТИЧНАЯ СИСТЕМА

Четвертичные отложения, развитые по всей площади, имеют обычно небольшую мощность (1–3 м). В долинах рек, если они наследуют зоны докембрийских разломов, либо в меридиональной депрессии узловистой полосы восточного склона Урала, мощность четвертичных отложений увеличивается до 10 и даже 20 м.

По времени образования отложения подразделяются на нижнее, среднее-верхнее, верхнее и современное и современное звенья; они представлены аллювиальными, озерно-болотными, ледниками и склоновыми образованиями различных генетических типов, которые показаны на схематической карте четвертичных отложений (рис. 3). На геологической карте выделены только нерастянутые аллювиальные отложения верхнего-средненного звена (Q_{III-G}), а также озерно-болотные отложения современного звена (Q_{IV}). С первыми связаны россыпи золота, платины, жигитовые глины, со вторыми — месторождения торфа.

Нижнее звено

Аллювиальные отложения (al), вскрытые восточном берегом Богословского угольного карьера (западная окраина г. Каменска), выделены по находкам фиты в раннеледниковой области. В обнаженных угольного карьера на песчаниках угленосной толщи верхнего триаса располагаются полимиктовые галечники, выше которых залегают песчано-глинистые отложения с карпологическими остатками: *Potamogeton aff. obtusifolius* Mart. et Koch., *P. filiformis* Pers (?), *Selaginella selaginoides* (L.) Link. [42], позволяющими относить их к нижнему плеистоцену. Мощность 3 м. Песчано-глинистые образования — ния перекрыты ледниками суплинками днепровского горизонта, поэтому на схематической карте четвертичных отложений не показаны.

Среднее звено

Днепровский горизонт

Ледниковые отложения (edII) на дне — нут повсюду не выходят. Они вскрыты карьером в Богословско-Веселовской депрессии (сбн. 579) под эпizonально-дельмийским суплинками среднего-верхнего звеньев. Нижняя граница их неровная с клиньями и гарганами. Ледниковые отложения предстают желтовато-бурыми глинами с гравием, супесями, галькой и мелкими валунами. В слоях супесях отмечается внутриформационные мерзлотные нарушения слоев. Отложения относятся к днепровскому горизонту, на основании склонного стратиграфического положения и состава с палеонтологически обоснованными отложениями на сопредельной с востока площади [42, 43]. Мощность 2,0 м с тенденцией увеличения к северу до 8,0 м.

Однцовский и московский горизонты

Аллювиальные отложения (allod+ts) слагают третью (исетскую) эрозионно-аккумулятивную террасу, прослеживающуюся на рр. Качка, Добре в виде фрагментов 1500×500 м, 2000×1000 м. Они представлены пестрано-гравийно-галечным материалом полимиктового состава и насыщаются на высоте от 10 до 15 м над уровнем реки. Отложения обычно лежат на поколе, сложенном палеозойскими породами, высота которого зарывает от 10 до 30 м. Мощность аллювия достигает 5–6 м. Морфологически эта терраса почти не выражена. На сопредельной с площади в аналогичных аллювиальных отложениях рр. Вны и Иса известны находки зубов *Machairodus primigenius* (Wium.) раннего типа, характерные для среднеуральского надгоризонта [42].

Среднее-верхнее звено

К образованием среднего-верхнего звеньев условно отнесены эд II в в'ялъно-делмийские отложения (ed II-11), развитые на междуручье рр. Лобны и Качки. Они представлены глинисто-песчаными материалами с примесью песчаных глин. Мощность 1–2, реже 5 м.

Верхнее звено

Делювийские отложения (ed II) развиты широко на склонах водоразделов, у подножий хребтов, на участках коллюстного разъёра и речных долин. Они представлены глинистыми

сово-щебнисто-суглинником материалом второго прета, иногда тягальными сурьмы глинами со щебнем, реже с галькой. Эти отложения (едП) насыпаются на выровненных водоразделах и приведлих участках в лесной зоне; представлены глибовыми или щебневыми осипами и развалами, супесями и суглинками, песчистыми глинами. Мощность от 1 до 5 м. Возраст определен условно, в основном, по стратиграфической связке с отложениями смежных генетических типов [130, 131].

К о л л е в и а л ь н о - д е л ь з и а л ь н ы е о т -
л о ж е н и я (сдП). Представленные суглинками с обильным щебнем и крупноглыбовым материалом, мелкоземом со щебнем, характерны для сравнительно крупных залесенных склонов гор (Хаковский Камень, Косьвинский Камень, Буртым, Ольвицкий Ка-
мень, Сенные горы); они приурочены в основном к абсолютным отметкам 400–1000 метров. Мощность 3–5 м [130, 131].

На склонах водоразделов, у подножий хребтов среди описан-
ных склоновых отложений верхнего звена широко развито явление солифлюкции. Образование в результате этого процесса суглин-
ки со щебнем и слаженными глыбами показаны на схеме вместе с пелевидными и колывязально-пелевидными образованиями. В расщеплении склоновых отложений используется аэротоматерия-
ли [108, 130].

Л е д н и к о в и е о т л о ж е н и я (лП) горно-долин-
н о г о и к а р о в о - д о л и н н о г о о л е д е н е н и я известны на Конжаковском,

—3 — современное звено: I — щебнистый щебень, глины, древесина, супеси (л1у), 3 — колывязь суплики сплошной (л1у); 4 — щебень, крупноглыбовый материал (л1у), 3 — щебено-долотые ила, торф (л1у); 4 — щебень, суплики с современным щебнем, аллювиальные залежи, аллювиальные террасы (анциу); 5—9 — верхнее звено: 5 — делювиальные суплики, супеси, почвы (л1ш), 6 — аллювиально-делювиальная глина, супеси, суплики, щебень, глины (л1ш), 7 — аллювиально-делювиальная суплика, щебень, глыбовый материал (супш), 8 — ледники — залежи, суплики, глины с галькой и валунами, гальчики, валуны (л1ш), 9 — мелкоглыбочный и ханчевский горизонты: аллювиальные пески, гравии, гальчики, су-
глины, глины второго напольянской (рекампской) террасы (аллюш + ил); 10 — суплики, глины второго напольянской (рекампской) террасы, гальчики, щебень (л1ш); 11—12 — средние залежи: 11 — одиноческий и местов-
ский гравийный: аллювиальные пески, глины, супеси, суплики, гальчики, трет-
тий напольянской (восточной) террасы (аллюш + ил); 12 — дочерние отвали; 13 — гравийные
—3 — глыбовые залежи: 13 — суплики, глины, супеси, суплики, гальчики, трет-
тий напольянской (восточной) террасы (аллюш + ил); 14 — горно-долинного северо-западного оледенения: а) местного (рекампского), б) горно-долинного, в) кот-
так.

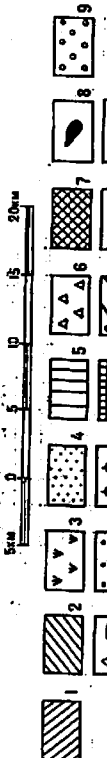
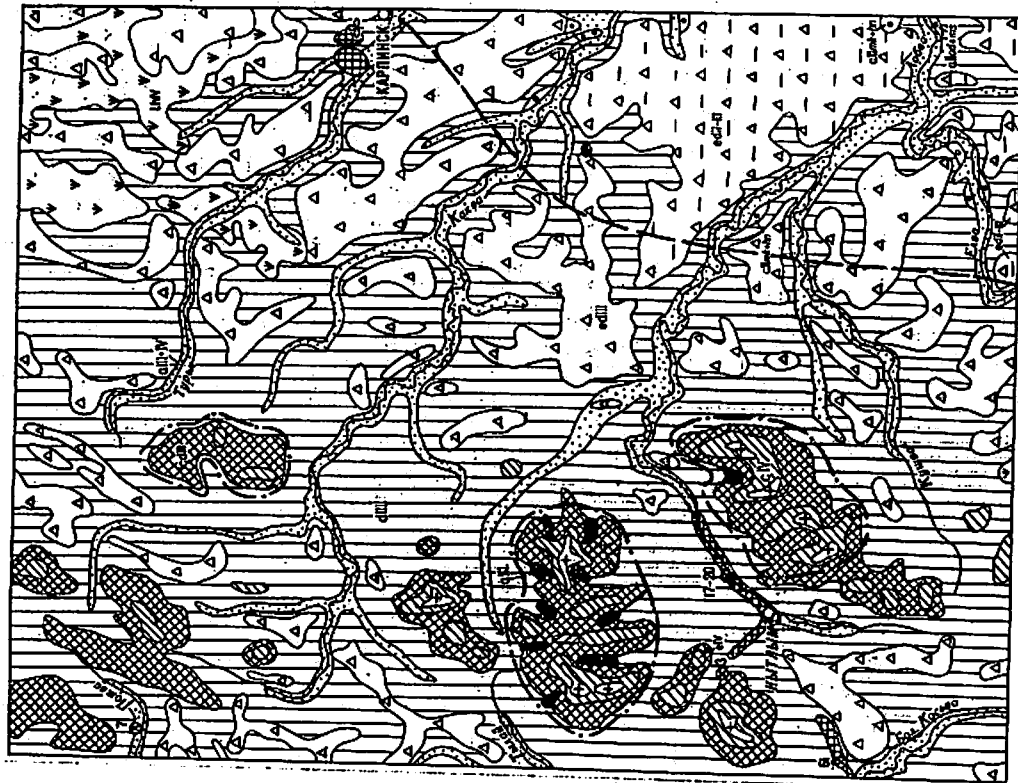


Рис.3. Схематическая карта четвертичных отложений. Составленная Н.А. Шаховой (с использованием материалов В.А. Липера).

Серебреник и Казанском Камнях: в верховых р.Кругобереговой, Сев.Июва, Полуденной, Июва, Г-й, 2-й, 3-й Серебрянок, Конаковки, Сев.Катышера и Чернушки. Отложения представлены почвенно-зональными валунами и щебнем местных пород в калтовато-буром суплике. Морены, относимые к ханской зоне и полярноуральскому горизонту, изучены слабо, на схеме обозначены. Некоторые исследователи время образования этих морен называют североуральским оледенением [42]. Китайский массив является самым южным пунктом, где отмечается долинные моренные накопления на абсолютных отметках не ниже 600-700 м. Мощность 5-10 м.

Межулинский и ханский горизонты

А л л о в и а л ь н е о т л о ж е н и я (агПлк+пн) слагают вторую (камышловскую) аккумулятивную террасу рр.Елань, Лобын (пос.Черный Яр), Кагви (пос.Галка). В виде небольших участков шириной 300 м, протяженностью до 3 км, терраса хорошо выражается в рельфе. Нижняя часть разреза сложена валунно-галечным материалом с глинистыми разнозернистыми полимиктовыми песками, а верхняя - калтовато-бурыми глинями и суглинками. Мощность изменяется от 1,5 до 10 м.

В аналогичных отложениях, развитых к востоку от описываемой поймы плоскогорья, на р.Кажве, близ устья р.Замаринки, найдена консервация *Coelodonta cf. antiquitatis* (Blum.), определенная возрастом 4-5 тыс. лет [42, 43].

Верхнее и современное зонны

А л л о в и а л ь н е о т л о ж е н и я (аQIII+IV) появляются и первой надложименной террасы развиты в долинах и долинах всех рек. Ширина долин обычно небольшая, от 70 до 480 м, в районе Китайской селловинны достигает 1 000 м. Высота первой надложименной террасы над уровнем воды составляет 2,0-3,0 м, наиболее четко выражена в долинах рр.Каквы (у пос.Исааковский) и Йован (ниже устья р.Июв). В составе аллювия наблюдаются гуслевые и пойменные фации. Первая представлена косослоистыми разнозернистыми песками, гравийно-галечными песками и галечниками, вторая сложена, в основном, песчано-глинистыми осадками. Мощность отложений 1,0-3,0 м, редко достигает 10-20 м [94].

Современное звено

Э л ь з и в и а л ь н ы е о т л о ж е н и я (eГУ) слагают выровненные площадки и уплощенные седловины в голльзовской зоне Козынинского и Конаковского Камней, Катышера. Представлены щебнем, развалами глыб, мелкоzemистым материалом с вклюениями щебня. Мощность 0,5-3,0 м.

К о л л о в и а л ь н ы е о т л о ж е н и я (cГУ) формируются в голльзовской зоне Китайского массива, Ольвинского Камня, Чёрного Увала. На крутих склонах и у их подножий они представлены глыбовым материалом, щебнем, образуя "камзинные моря", на средних и пологих склонах - щебнисто-глыбовыми осинами с суглинистым meltzemом. Мощность отложений 1,0-2,0, редко до 5,0 м.

О з е р н о - б о л о т н ы е о т л о ж е н и я (1hГУ) развиты в Межлуретье и Бол. и Мал.Лих и в долине р.Турии; предстают в виде листами глины, торфом, сапропелитами. Показанные на геологической карте в схеме четвертичных отложений контуры озерно-болотных образований, в основном, совпадают с современными торфяными болотами. Мощность от 1 до 6,5 м.

Т е к н о г е н н ы е о т л о ж е н и я, образованные в результате эксплуатации месторождения бурого угля открытым способом, развиты близ г.Каринска. Дражные отвалы, образовавшие в результате добчи россыпного золота и платина, известны как реках: Мал.Косьва, Сев.Китай, Лобра.

И Н Т Р У З И В Н Е О Б Р А З О В А Н И Я

Интузивные породы занимают около 25% территории; они различны по времени образования и составу. По возрасту выделяются позднеорловские, ранне- и позднесилурийские интрузии. Наиболее древние - позднеорловские интрузии - представлены глыбовоосновными телами Салатинского пояса, контролирующими один из крупнейших глубокий разлом, граброидбазами, линзами и гранитоидами. Позднечарнико-орловские интрузии к зоне развития пород никакого, среднего и верхнего ордовика. К интузивным образованиям раннесилурийского возраста относятся габброриты и ультраосновные породы трех массивов Слатинонского пояса Урала - Кислинского, Зятлинского и Павдинского. Более молодые - позднесилурийские интузивные образования известны в центральной части Князинского и Китайского массивов, а также в виде неправильной формы

тел, расположенных непосредственно к востоку от массивов Платинового пояса; они представлены диоритами, кварцевыми диоритами, гранодиоритами и плагиогранитами.

ПОЗДНЕОРДОВИКСКИЕ ИНТРУЗИИ

Ульяновские породы представлены серпентинитами Салтымского пояса дунит-тагуртуритовой формации (FO_{38}). Всего в пределах листа среди отложений долинской свиты установлено три серпентинитовых тела. Они имеют неправильную, слегка удлиненную субмеридиональную, форму и величину не более 800 м. Две из них располагаются недосредственно в зоне Салтымского глубинного разлома; третья находится к западу от него, севернее горы Буртым.

Серпентиниты — тонкозернистые темные, почти черные, породы с зеленовато-серой корочкой выветривания. Они состоят из серпентина-антigorита, будного минерала, в некоторых случаях, обусыта. Антигорит образует однородный агрегат редкетнатой или перекрещенно-волокнистой структуры; рудный минерал — магнетит, находится в виде отщепов и полос шлаковитых частичек, повторяющих очертания сети первоначальных хризотиловых прожилков, обусловливавших петельчатую структуру породы. По формам выделений магнетита и счаститовым псевдоморфозам можно допустить, что кроме оливинов в первичной породе содержался и пироксен. Бруксит выполняет трещины в породе или же в виде редких зерен наблюдается в серпентинитовой массе. Присутствие пироксена, установленное по структурным признакам, позволяет считать серпентиниты апогеридитовыми [98]. Данные о физических свойствах отсутствуют.

Позднеордовикский возраст ультраосновных пород принимается на основании проникновения их в отложения ордовика и находок выключений серпентинитов в базальных конгломератах силура [41, 168]. Существует также мнение о более раннем времени формирования гипербазитов этого пояса относительно вмещающей толщи верхнего ордовика [50].

Габродиазиты и дилазиты (Uf^{O_3}) среди отложений ордовика наблюдаются в виде сильв, даек, небольших интрузивных тел неправильной или удлиненной, в соответствии с пространственным вмещавшими породами, формы. Высоты их на поверхность часто дают положительные формы рельефа, как, например, Ольвианс-

кий Камень, Голодокий Чурок, г. Племянка.

Обычно это темно-зеленые от мелко-до средне зернистых пород, часто обнаруживающие активные контакты с вмещающими об разованими. Они состоят из одиночной роговой обманки, актинолита, хлорита, эпидота, пирита, альбита, способного к лейкоксено. Из акцессорных минералов отмечается апатит. В редких случаях удаётся обнаружить клинопироксен (эвигит) — реликтовый минерал первичного парагенезиса породы, в той или иной степени замещенный амфиболами. Габбролабазит и диабазит по химическому составу являются производными толеитовых магм; различия заключаются лишь в пониженных содержаниях кремниекислоты и натрия и немного повышенных — магния и кальция [23, 62].

В магнитном поле эти породы находятся в зоне узколокальных положительных аномалий, цепочками протягивающихся в северо-восточном направлении (см. рис. 2). Аномалии выражены зонами обогащения магнетитом, небольшими телами серпентинитов Салатимского пояса, а в основном — телами диабазов и габброродиазитов, магнитная восприимчивость которых меняется в пределах 1500–6000–10⁻⁶ Ст [112].

Позднеордовикский возраст габброродиабазов принимается на основании проникновения их в породы среднего и верхнего ордовика и отсутствия подобных образований в силуре [Г. 62].

Плагиограниты, плагиогранито-гнейсы (t_{O_3}) в пределах листа тесно связаны с эпидот-альббитовыми амфиболитами польинской свиты, полосы которых прослеживаются от верховьев р. Лягушки на юге почти до северной границы листа: ширма полосы, охватывающей зону с горами Паленой, Можнатой, Черненем Увалом, изменяется от 1 до 6 км. Амфи-

болиты, плагиогранитогнейсы и плагиограниты обычно переслаиваются согласно, мощность прослоев от сантиметров до нескользких метров. Плагиограниты прокрученны к центру наиболее мощных прослоев; красные зоны их представлены инъекционными гнейсами, в которых постепенно по направлению к амфиболитам увеличиваются солеродные роговые обманки [98]. В физических полях не выделяются; данные о физических свойствах отсутствуют.

Плагиограниты — светлые, мелко- или средне зернистые масивные породы, состоящие из кварца, измененного плагиоклаза, зеленой роговой обманки, редко наблюдалась зерна апатита, рудного минерала и эпидота. Химический состав плагиогранита по-

ка зывает низкое содержание в породе щелочей, особенно калия. Возраст метасоматических преобразований гранитоидных пород этой полосы по данным определений калий-аргоновым методом (по породе) составляет 239 ± 12 млн. лет (приложение 6), что вполне соотносится с результатами подобных определений на сопредельном с севера листе [1].

Плагигранитогнейсы – светлые породы гнейсовидной структуры с субпараллельным расположением длиннопризматических кристаллов роговой обманки. Состоит из кварца, альбита, роговой обманки и небольших количеств мусковита, хлорита, граната, магнетита. Контуры плагигранитов и плагигранитогнейсов на геологической карте даются обобщенно.

Позднеордовикский возраст плагигранитов и непосредственно связанных с ними инъекционных плагигранитогнейсов определяется на основании характера контактов с имеющимися породами среднего-позднего ордовика и находок ксенолитов шлагиогранитогов в базальтах нижнего силура [162, 168]. На сопредельном с севера листе установлено на основании данных абсолютного возраста калий-аргоновым методом время изменения гранитоголовых тел в пределах $228 \pm 5 - 285$ млн. лет [119].

РАНЕСАЛУРСКИЕ ИНТУЗЫ

Интузивные породы раннего силура в пределах листа пред – отмечены в трех массивах Платиноносного пояса Урала – Княс – Гинском, Кытлымском и Павдинском.

Княслинский, расположенный в северной части, является одним из малых и плохо обнаженных массивов цепи Платиноносного пояса. Он состоит из двух – западного и восточного, округлых в плане и соединенных между собой тел субконцентрического строения. Западное тело, размеры которого 10×11 км, состоит из пород основного и кислого состава. Внешняя его кайма представлена габброноцитами, включаями линзоподобные, согласные с общим простиранием полосы и участки оливиновых габро и дюроксенитов. Ядро представлено более поздними кварцевыми диоритами и плагигранодиоритами [53, II.3].

Восточное тело, имеющее в плане размеры 7×9 км, сложено, главным образом, диоритами и кварцевыми диоритами. Габброноциты составляют не более $1/5$ части и располагаются в виде узких линзовидных участков субпараллельно внешним очертаниям

нием тела, создавая элементы субконцентрического строения. Габброноциты здесь могут рассматриваться как участки интру – зивных образований раннего силура среди более поздних существенно кислого состава интрузивных пород.

В гравитационном поле Кытлымскому массиву отвечают две самостоятельные аномалии округлой формы: положительная с максимальным значением более 65 мГал для западного тела и отри – цательная менее 45 мГал для восточного, при расстоянии между эпицентрами 6 км (см.рис.1). Согласно расчетов имеющие по – роды падают под массив. На глубине 3,5 км Кытлымский pluton имеет склон с северной оконечностью Кытлымского массива [155]. В магнитном поле отчетливо выражено субконцентрическое строение обеих частей массива, выражющееся в чередовании аномальных зон разной интенсивности: от 2 000–3 000 гамм в области разлития габброноритов до -200 (-300) гамм – гранитоидов. Для восточного тела характерно ступенчатое снижение напряженности магнитного поля. В западном борту его выделяется крупная ($5 \times 0,75$ км) отрицательная аномалия асимметричного строения со значением в эпицентре – 3 200 гамм, природу которой однозначно определить трудно из-за сложных структурных и петрологических взаимоотношений.

Кытлымский массив один из наиболее известных, хорошо обна – женных и в настоящее время относительно изученных массивов Славяносского пояса, занимает центральную часть западной половины листа; его оторженец, отделенный полосой кальцитом, Косьянский камень, западной частью (Сосновский увалом) выходит за пределы листа. В целом размеры Кытлымского массива в плане 30×47 км, Косьянского Камня – 11×12 км.

Кытлымский массив имеет сложное строение. В первом прибли – жении его можно разделить на две части: западную – дунит-ди – рожсенит-талкитовую и восточную, преимущественно габбровую. Внутри той и другой части выделяются субконцентрические структуры, создаваемые как полосчатостью, так и контурами зон различного петрографического состава. Таким образом, в западной части выделяются отруктуры: Косьянская и Тылай-Кокшаковская, в восточной – Валенторская, Серебрянская и Сухогорская.

В поле силь тылести Кытлымскому массиву отвечает крупная положительная аномалия с максимальным значением 98 мГал. Эпи – центр располагается в 6 км к востоку от горы Серебрянский Ка –

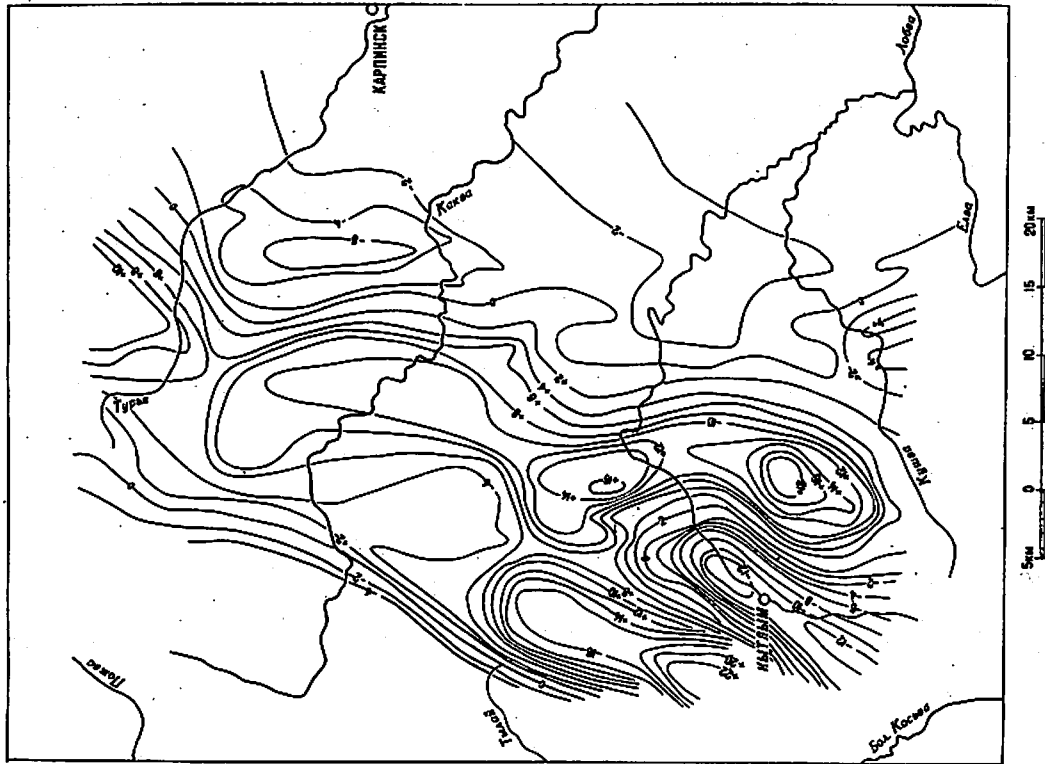


Рис. 4. Результаты трансформации гравитационного поля по методу Э.А.Андреева (метод вариаций). Составлена по материалам С.А.Таннова.

3 - соединение локальных гравитационных аномалий; I - пологие; 2 - куловые; 3 - струпательные.

мень. Расчеты показали, что все отдельные части массива не-
посредственно связаны между собой и в пределах глубины рас-
четов (15 км) имеет непрерывное развитие [55]. В северо-за-
падной части недрения установлено восточное падение
массива, но по данным гравиметрии звезды с глубиной порядка 2 км он
образует "раздув" в западном направлении. В магнитном поле
массиву отвечает положительная аномалия сложного рисунка с
перепадами напряженности от 2 000 до 19 500 гамм (см. рис. 2).
Косьвинская структура сложена однообразными оливиновыми

тироксенинами, полосой тылактона, субпараллельной западной границе и дунитовыми различной величиной телами, от крупных (Морское - 1,5x2 км) до лин золотодобывающих местных, подчеркивавших концентрическое строение структуры [8,10]. Тылай-Конжаковская структура сложена теми же породами, что и Косьвинская, но здесь увеличивается общий объем тылактона и уменьшается количества тироксенинов.

На магнитной карте выделяются два аномальных знакопеременных поля с интервалом значений от -2 000 до +5 000 гамма, отмечаяших Косьвинской и Тыль-Конаковской структурами, разделенными полосой слогоийных отрицательных значений. В трансформированном по методу вариаций гравитационном поле эти структуры создают единую аномалию с амплитудой 22 мГал в эпиграфом в районе горы Косьвинской Камень (рис. 4). Согласно расчетов в этой части массива развины наиболее тяжелые массы при вертикальной мощности 6 км [155].

Серебринская концентрическая структура расположается в центре массива. Периферийные зоны ее сложены габбронорита-ми и оливиновыми габбро, центральная часть — амфибол-пироксено-вым и амфиболовым габбо. Глубинным разломом она отделена от Тынай-Конжаковской структуры на западе и сложными глубинными разломами от Валентинской структуры на востоке.

В магнитном поле Серебрянская структура выделяется отчетливо и характеризуется наиболее однородным и интенсивным полем со значениями более 5 000 гаусс. Отрицательные аномалии в зоне являются эпизодическими, достигая интенсивности 1000 гаусс. Трансформированное поле тяжести эта структура занимает повышенную зону между аномалиями, отвечающими Тылай-Конаковской структуре и центральной части Кызылского массива. Таким образом, данные гравиметрии указывают на то, что гипогенез

План структуры совершенно иной, чем представляется на донерхности, и положение разлома между Серебрянкой и Тылай-Конкаковской структурой определяется в 5 км восточнее, чем отмечается на поверхности.

Сухогорская структура сложена полосчатыми оливиновыми габро и троктолитами со широподобными телами пироксенитов, поличеркающими концентрические строевые структуры. Округло-концентрическая форма Сухогорской структуры уверенно выделяется в физических полях. Амплитуда гравитационной аномалии 19 мГал; в магнитном поле положительные значения преобладают и достигают 5 000 гамм. Отрицательные поля с интенсивностью до 2 000 гамм относят к западному борту структуры.

Валенторская структура, представляющая крайний северо-восточный выступ массива, сложена почти целиком габброноритами. Лишь параллельно восточной границе и в крайнем западном выступе наблюдается линзовидные участки оливиновых габбро.

В трансформированном гравитационном поле ей отвечает локальная положительная аномалия вытянутой формы с амплитудой более 10 мГал. Валенторская структура имеет очень своеобразный рисунок магнитного поля – чередование линейных положительных (с интенсивностью до 2 000 гамм) и более узких отрицательных аномалий (500–1 000 гамм), расходящихся веером от устья р. Илов, но параллельно гранитным структурам. Геодинамические данные однозначно указывают на то, что в северо-западной части Валенторской структуры граница массива проходит на 4–5 км северо-западнее картируемой на поверхности.

Лавдинский, следующий к югу купчий массив Латиноносного пояса, отличающийся от Кытынского линейной субмеридиональной формой, в пределах листа представлена лишь крайней северной частью, сложенной габброноритами с подчиненными участками оливиновых габбро. Уверенно выделяется в физических полях положительными матрицами (с максимальной интенсивностью более 3 000 гамм) и гравитационными аномалиями (см. рис. I, 2).

Иструзивные породы Латиноносного пояса и пространственно связанные с ними гранитоиды позднего срока принто подразделяются на три комплекса: эпидунитовый, эпигаббронитовый и гранитоиды [18]. Породы эпидунитового комплекса – дуниты и металлические, пироксениты, оливиновые габбро и троктолиты – слагают западную и южную части Кытынского массива и выполняют неболь-

шие участки в Кыспинском массиве. В пределах западной части Кытынского массива породы эпидунитового комплекса выделяются некоторыми авторами в косьвинский комплекс ультраосновных и основных пород [7, 3]. Эпигаббронитовый комплекс пород, по возрасту олинаковны с эпидунитовым, представлен габброноритами, оливиновыми габброноритами, амфибол-пироксеновыми и амфиболовыми габбро с подчиненными габбро-лантитами и анортозитами, известен в Кыспинском, Кытымском и Гавдинском массивах. Породы гранитоидного комплекса, относящиеся к позднему срочку, также известны во всех трех массивах, но описание их приводится ниже, одновременно с характеристикой гранитоидных массивов, расположенных восточнее Латиноносного пояса.

Дунит, мегадунит (ск). Дунитовые тела наблюдались лишь в западной части Кытымского массива: это Сосновский Увал, представленный на площади листа своим северным и южным окончаниями, Косьвинское Члечо (2х2 км), Иловское (1,5х1 км) и более мелкие, обычно соглаенные с полосчатостью город линзообразные участки, залегающие в пироксенитах.

Дунит представляет собой однообразные зелено-серые, зелено-сернистые темно-зеленые породы с желтовато-буровой корочкой выветривания, с тонкой плитчатой отдельностью. Они состоят из оливина (Fa₆-Go), в той или иной степени серпентинизированного, и небольшого количества хромита. В шнуровидных выделениях серпентина наблюдаются пылевидный магнетит и tremolит. В выетрелых разновидностях встречаются лимонит, халцедон, карбонаты. Сладко серпентинизированные дуниты, обнаруженные в Иловском дунитом теле, характеризуются полигонально-вершинными структурами, в серпентинизированных разностях обычны петельчатые структуры.

Хромит находится в массе оливина в виде редких и мелких (до 1 мм) идиоморфных зерен, лишь участками образующих широкие скопления. Платина, связанная с дунитами, тяготеет к таким широковым скоплениям хромита [15, 75, 78]. Серпентин-хризотил-зеленоватый и желтоватый. Средняя плотность дунитов (Иловское тело) 3,20 г/см³, магнитная восприимчивость относительно зеленых разностей не превышает 300–1000 ГС [19].

Междуниты слагают краевые зоны крупных дунитовых тел, несравненный, часто линзовидной формы, участки в пироксенитах и габбронитах. Установлена экономичность: чем меньше тело, тем

большую его часть составляет метадунит. Внешние разновидности метадунитов хорошо отличаются от дунитов красновато-бурых короткой выветривания. Это разновидности породы, состоящие из оливина (Fa 10-20), клинопироксена, титаномагнетита, хромита и серпентина. Иногда наблюдается зеленая шпинель, магнетит и идиопироксит.

Титаномагнетит образует сидеронитовые выделения, иногда содержащие реликтовые зерна хромита. Зеленая шпинель наблюдалась лишь в разновидностях, богатых титаномагнетитом. Клинопироксен, содержащийся в небольших количествах, образует неправильной формы выделения или крупные скелетные зерна [18, 105]. Структура метадунитов также полигонально-зернистая, а в сердечниках разновидностей - листчатая.

Данных о физических свойствах метадунитов немного; два образца показали магнитную восприимчивость $1500 \cdot 10^{-6}$ и $1600 \cdot 10^{-6}$ СГС и плотность соответственно 3,28 и $2,90 \text{ г}/\text{см}^3$ [105]. Клиноопиоксит (vS_1k) окружает дунитовые тела в западной части Китымского массива, образует небольшие согласные с полосчатостью участки среди оливиновых габбро. Габбро - габброноритов в Князинском и Китымском массивах, а также встречается в виде неправильной формы тел в центре Китымского массива - в сложной зоне сочленения Серебрянской, Валентинской и Сухогорской структур.

Клинопироксены - средне- или крупнозернистые, реже гигантские зернистые или пегматоидные породы темно-зеленого цвета, состоящие из клинопироксена, оливина и титаномагнетита в различных количественных соотношениях. Более светлые пироксены, сложенные целиком обедненоокрашенным диопсидом, часто наблюдаются в контактах дунитовых тел и в жилах среди дунитов Китымского массива [4, 8]. В некоторых разновидностях наблюдается зеленая шпинель, серпентин, амфибол, ортопироксан (бронзит) и блюзит. Структуры пород полигонально-зернистые, в богатых титаномагнетитом разновидностях - сидеронитовые. При увеличении содержания оливина, обычно на контакте с дунитами, клинопироксены переходят в верлиты. В зонах перехода клинопироксены - титаномагнетитом разновидности становятся к ряду дунитов ктылатам и оливиновым габбро в них постепенно появляется плагиоклав основного состава.

Клинопироксан пироксены и вермикиты относятся к ряду диопсид-салит с содерганием волластонитовой молекулы в пределах

от 43 до 47%, железистость до 33% и углом 2V, изменяющимся от 55 до 60°. Наименее железистые разности наблюдаются в пироксенах близи дунитовых тел, более железистые - в рудных пироксенах (косынках). Оливин всегда бесцветный, иногда серпентинизированный, содержит от 10 до 25% фаялитовой молекулы [5, 18]. Титаномагнетит представлен сидеронитовыми выделениями или идиоморфными и кальциевыми включениями в зернах пироксиков. Обогащенные титаномагнетитом пироксены распространены на небольших участках в западной части Китымского массива, но, хотя они ничем не отличаются от ряду катканарского типа, ввиду незначительной величины могут распознаваться лишь как пункты минерализации. В восточной части массива в небольших, не всегда имеющих выражение на карте, жилах пироксенитов среди оливиновых габбро известны зоны богатых титаномагнетитовых гуль, которые могут раскрываться как путепроводы. Средняя плотность пироксенитов 3,38 $\text{г}/\text{см}^3$, магнитная восприимчивость 8 $200 \cdot 10^{-6}$ СГС [155].

Химические анализы дунитов, метадунитов и пироксенитов приведены в прилож. 5. Эта ассоциация ультраосновных пород относится к дунит-клинопироксенитовой формации и выражена в косьзинский комплекс.

Оливины и нюансы габбро и титаниты с долгиновинами троктолитами и занортозитами (в ам. и (vS_1)) составляют примерно третью часть Китымского массива; они слагают почти целиком Сухогорскую структуру, занимают значительные территории в западной части массива, в эдце широкой зоны наслаждается к югу от Серебрянского Камня и образуют небольшие в плане линзовидные тела среди габроноритов Валентинской структуры. В Князинском и Целинском массивах они представлены весьма ограниченно в виде узких линзовидных тел среди габброноритов.

Оливиновые габбро - средне- и крупнозернистые породы пестрой окраски с хорошо выраженной полосчатой текстурой, обусловленной чередованием полос различной зернистости и состава. Главные породообразующие минералы - плагиоклав (An_{60-90}), клинопироксан с железистостью от 20 до 35%, оливин, содержащий 2-25% фаялитовой молекулы, роговая обманка, титаномагнетит; иногда наблюдается в небольших количествах зеленая шпинель, ссупрат, донзит, эпилом, серентин, идиопироксан, актинолит.

Плагиоклаз, спотовикованый по албитовому и перитиновому залонам, обычно незонален, иногда в различной степени скоординирован. Клинопироксен – авгит, бесслантий, часто содержит ориентированные включения рудного минерала. Оливин также бесцветный, иногда замещается серпентинитом, циннекситом и фельзано-зеленым амфиболом актиолитового типа. Титаномагнетит образует сидеронитовые выделения, наблюдается в зернах пироксена в кальцитовых каймах вокруг силикатов в ассоциации с амфиболом актиолитового типа и зеленой шинелью.

Структура породы типичная габбровая аллотриморфно-зернистая, в разновидностях, богатых титаномагнетитом, – сидеронитовая. Средняя плотность $3,07 \text{ г/см}^3$, магнитная восприимчивость меняется в широких пределах, но всегда превышает $5000 \cdot 10^{-6}$ АТС [103, 155].

Пыльники по существу представляют пестрое чередование прослоев пироксенитового, дунитового, габбрового состава с преобладанием последних. Характерной особенностью этих пород явится меланократовость габброродных составляющих и порфировидная структура, обусловленная крупными выделениями клинопироксена, спементированного мелкозернистой массой из клинопироксена, оливина и плагиоклаза. В недельтих количествах наблюдаются титаномагнетит, роговая обманка, ортопироксен, диоптит, зеленая шинель и серпентин. Клинопироксен диопсидового ряда с 41–45% волластонитовой молекулы образует крупные округлые зерна, нередко с неравномерным утеснением, связанным с деформацией зерен. Оливин (Fa_{23–37}), плагиоклаз (Ab_{40–59}) и ортопироксен (Fes_{20–33}) нередко также образуют крупные округлые зерна, заключенные в мелкозернистом агрегате всех перечисленных минералов. Структура пород иногда порфиродочная или же бластомилонитовая. А.А. Ефимов называет Китлинского массива, особенно хорошо обозначенные и изученные в пределах Тылайского Камня, рассматриванием как высокотемпературные тектониты [21]. По результатам измерения пяти образцов средняя плотность $3,18 \text{ г/см}^3$, магнитная восприимчивость II $920 \cdot 10^{-6}$ АТС [19].

Троктолиты – лейкократовые породы, состоящие из основного плагиоклаза (Ab_{50–55}), оливина и клинопироксена. В незначительных количествах наблюдаются ортопироксен, зеленая шинель, фельзано-зеленый амфибол и титаномагнетит. Троктолит в виде неоднородных по величине тел встречается среди оливиновых габбро.

Характерной особенностью этих пород являются калифитовые каймы вокруг зерен оливина, обусловленные сложным прорастанием ортопироксана, зеленой шинели, титаномагнетита и светло-зеленой роговой обманки актинолитового типа. Минеральный состав отличок к составу оливиновых габбро, но с резким преобладанием местами плагиоклаза или же с отсутствием клинопироксена. Магнетитодержащие троктолиты известны под названием казанских гор.

Анортозит в виде линзо- и килоподобных прослоев мощностью не более трех метров наблюдаются среди оливиновых, амфибол-тироксеновых габбро, троктолитов, габбророритов. Они состоят из изометричных зерен плагиоклаза (Ab_{80–90}), иногда с четко выраженным зональным строением и неизвестительной примесью мелких зерен клинопироксена, оливина, роговой обманки, титаномагнетита, апатита. Породы практическими немагнитны, средняя плотность $2,85 \text{ г/см}^3$.

Контакты троктолитов и анортозитов с гнейшевыми породами могут быть резкими или постепенными, но при этом состав таких минералов как клинопироксен, оливин и плагиоклаз остается неизмененным. Химический состав оливиновых габбро, тылайтов, троктолитов, казанскитов, анортозитов приведен в прилож. 5.

Габброриты и оливиниты («ПЗ₁») имеют широкое развитие во всех маслах плагиоклазового пояса, по существу слагают примерно половину каждого из них. В Китлинском массиве они слагают внешнюю зону западной половины и в виде линзовидных тел, образующих прерывистое кольцо, наблюдаются среди гранитоидов восточной половины. В Китлинском массиве габброриты встречаются в восточной половине, где слагают почти полностью северную часть и южной половины, где слагают зону оливиновых габбро в Сухогорской структуре. Габброриты слагают и часть Китлинского массива в пределах листа.

Габброриты и оливиновые габброриты – однообразные светло-серые и пепельно-серые породы, среднезернистые, часто с ходами выраженной трахиэдности, обусловленной субпараллельной ориентировкой зерен плагиоклаза и титаномагнетита. Главные породообразующие минералы: плагиоклаз, клинопироксен, ортопироксен, титаномагнетит; из акцессорных минералов известны сфен, апатит, пирит. В оливиновых габброритах, распространенных

раненных ограниченно, количество оливина может составлять 10% породы. В некоторых разновидностях габброноритов наблюдаются редкие зерна кварца, буровато-коричневого биотита, роговой обманки и соссюрита.

Плагиоклаз (An₅₀₋₈₀) образует призоморфные выделения таблитчатого облика размером до 4 мм, составляющие примерно половину объема. Обычно он светлый, сплошной, ионгита зона – лен; зональность в большинстве случаев пропадает. Клинопироксен – авгит с железистостью 25–40% и ортопироксен – обычно гиперстен, реже бронзит с железистостью 35–40%, образуют крупные зерна прismsматического облика и более мелкие, ксеноморфные, зерните между зернами плагиоклаза. Молекулярная формула авигита №₂₇En₄Fs₂₂, гиперстена – №₄En₆₀Fs₃₆ [18]. Титаномагнетит образует призоморфные и неправильной формы выделения в силикатах, реже сидеронитовые выделения, тяготеющие к гемнодиоритам. Химический состав пород приведен в прилож. 5. Средняя плотность габброноритов 2,97 г/см³, магнитная восприимчивость 4 · 100 · 10⁻⁶ СИС 103,155.

Амфиболовые и амфиболовые габбронориты, хитлииты (LvS₁). Амфиболовые и амфиболово-плагиоксеновые габбронориты известны в центре Кытлымского массива (Серебрянский Камень) и среди оливиновых габброноритовых структур, а также в северной части Панинского массива. Наиболее хорошо изучены эти габбронориты в районе Серединского Камня, где они выделяются в особую Серебрянскую ассоциацию [18], включенную как основной петрографический тип пород: амфиболовые и амфиболово-плагиоксеновые (серебрянские) габбронориты и полинененные – габбронориты, амортозиты и горноблениты.

Серебрянские габбронориты крупно- или грубозернистые, реже – среднезернистые, состоят из плагиоклаза (An₇₅₋₉₅, клинопироксена (альбит, Na₂₂₋₃₄), обыкновенной роговой обманки с железистостью 26 до 43%, развивающейся по клинопироксenu, и титаномагнетита. В небольших количествах присутствуют видоизмененные или полосчатые сростки, а также вкрапленности супфиллов меди. Породы среднезернистые, массивные или полосчатые. Иногда в них наблюдаются килло- и птицообразные тела габброноритов, амортозитов и горнобленитов. В этих разновидностях пород породообразующие минералы имеют тот же состав, что и в амфиболово-плагиоксеновых

габброноритах и габбропегматитах часто наблюдается магнитная восприимчивость 6 · 100 · 10⁻⁶ СИС [103].

Хитлииты, представляющие собой полосчатый комплекс тонко- и мелкозернистых амфиболовых и амфиболово-плагиоксеновых габброноритов с развитыми тонкослоистыми текстурами, развиты в основном в западном экзоконтакте кытлымского массива. Они состоят из соссюрита, замещенного плагиоклазом, обыкновенной роговой обманки, иногда замещенной частично актинолитом и хлоритом, молекулярного плагиоклаза и плагиоклаза. В небольших количествах присутствуют альбит, кварц, рудный минерал (магнетит), иногда доломит, слюда и флюорит. Катламиты иногда вкраплены окружные или узловатые, различной величины участки роговиков и птицообразных, вследствие чего приобретают брешицеподобный облик.

Х и т л ь и н е о б о р а з о в а н и я, связанные с интуризинами породами раннего сидерита, представлены габброноритами – замы и амортозитами, многочисленными в амфиболово-плагиоксеновых габброноритах Серебрянского Камня, микрогаббронитами для габброноритов Валенторской структуры и редкими хилобразными зелеными габброноритами. Кроме того, часто наблюдаются при рожеэзы также в виде хилобразных выделений в красных зонах дунитовых тел. В Кытлымском массиве описаны единичные хилобразы, гранитоиды [18].

Габброниты Кытлымского и Кыспинского массивов оказывают длительное влияние на эпиметаморфические породы, сформулируя зоны метаморфизации и ороговикования. Роговики представляют собой мелкозернистые серые и зелено-серые породы, состоящие из амфибола, клинопироксена (диопсида) и основного плагиоклаза (An₅₀₋₈₀), часто соссюритизированного. Иногда присутствуют гранат, хлорит и рудные минералы. Структура роговиков.

За основанием интузиных контактов габбронитов с вулканогенным образованием позднего одновремика и находок амфиболовых габбронитов в контактмератах позднего венделка-кульдова [10], возраст габбронитов Платиноносного пояса принимается раннесилурским. Данное абсолютного возраста, полученные наий-аргоновым методом габбронитов г. Каменный Увал (Валенторская структура), из-

меняется от 757±31 до 428±13 млн. лет, т.е. от позднего докембрия до силура (прил. 6).

Ассоциация габброродзов Князинского и Кытыльского массивов: оливковые габброродзы, тынанты, троктолиты, габбронориты, амфиболовые и амфиболов-пироксеновые габброродзы – отнесена к габброродзовой формации и сопоставляется с чистопольским комплексом [73].

ПОЗДНЕСИЛУРСКИЕ ИНТРУЗИИ

Интузивные породы этого возраста наблюдаются внутри массивов Платиноносного пояса-Князинского, Кытыльского и Паваринского. Восточнее Платиноносного пояса они образуют самостоятельный габброродзовый массив в шту от последнего, а также малые тела среди вулканических отложений силура. Породы этого возраста представлены диоритами, кварцевыми диоритами, плагиогранитами и плагиогранитами, иногда содержащими ксенолиты вмещающих пород, в том числе базитов и гипербазитов раннего силура.

В поле силь тяжести, как правило, эти интузии выделяются слабо. Исключение составляет восточная часть Князинского массива, которой соответствует отрицательная аномалия (см. рис. Г). Магнитные поля сильные, большая частью отрицательные. Ориентировка положительных аномалий по дугам интузий подтверждает округлую форму последних. Заречанский массив в гранитопионном поле выделяется слабым изгибом структурно-ориентированых изоаномалий. В магнитном поле представляет собой своеобразную колышевую структуру с общим минимумом в центральной части, оконтуренный цепочкой положительных аномалий с интенсивностью 800–1650 гамма и до 2500 гамма. Площадь массива в магнитном поле превышает единицу на поверхности. Доля аномальных объектов 4600–10400·10⁻⁶ СГС [65].

Диориты (ts_2) – наиболее распространенная группа позднепозиционных интузий. Они слагают ядро восточной половины Князинского и большую часть Башкеневско-Исааковского массива, а также несколько мелких тел среди раннесилурских буденогенных образований. Представляют собой средне-, равномернозернистые, реже порфировидные породы светло-серого цвета иногда с розоватым оттенком. Состоит из плагиоклаза (Ал_{40–50}), зеленой роговой обманки (до 30%), в небольших количествах (до

3–5%) присутствует кварц. В единичных зернах наблюдается апатит, магнетит и клинопироксен, обычно заключенные в крупных зернах роговой обманки и в сумме не превышающие 5% объема породы. Средняя плотность 2,77 г/см³, магнитная восприимчивость 1·700·10⁻⁶ СГС [55].

Кварцевые диориты (q_8s_2) известны в западной части Князинского массива, а также в центральных частях Башкеневско-Исааковского и Зареченского массивов. В Кытыльском массиве кварцевые диориты с небольшими подчиненными участками плагиогранитов и плагиограниторитов приурочены к сечению трех структур – Серебренской, Валенторской и Сухогорской; для них характерны эуптильные обтеки с угловатыми обломками пироксенитов или габбро и пироксенитов. Ксенолиты в той или иной степени амфиболизированы. Крупные ксенолиты имеют внешнюю камбу представляемую агрегатом темно-зеленого амфибола; внутрь камбу залегают от камы проникают тонкие проклики, представленные тем же амфиболом. Мелкие ксенолиты как пироксенитов, так и габбро могут быть напечено амфиболизированы [68, 99]. Макроскопически это однообразие, преимущественно средне- – равномернозернистые породы, часто макроскопически неотличимые от лиоритов. Главное породообразующее минералы: олигоклаз-андезин с прямой зольностью, свежий или слабо измененный, обыкновенная зеленая горовая обманка, количество которой может достигать 20% породы, кварц (3–15%), ортоклаз, иногда сиолит. В небольших количествах присутствуют сфеин, апатит, магнетит, лейкоклаз и разновидности по однотипу хлорит. Количество калиевого полевого шпата не значительно, он характерен, главным образом, породам массивов, расположенных восточнее Платиноносного пояса:

Платиноносных диоритах Кытыльского массива ортоклаз практически отсутствует, кварц, насыщается в виде ксеноморфных зерен в интерстициях или же образует микролептитовые срастания с плагиоклазом. Зерна буроватого ортоклаза встречаются редко. Химический состав кварцевых диоритов Князинского, Кытыльского и Еланевско-Исааковского массивов приведен в прил. 5.

Плагиограниты (q_6s_2) встречаются в западных частях Князинского и Зареченского массивов. Они представляют собой средне-зернистые светло-серые лейкократовые породы, состоящие в основном из кислого плагиоклаза (альбит-олигоклаз, редко

до андезина) и кварца. В несольшом количестве присутствует биотит, обыкновенная роговая обманка, ортоклаз (не более 3%), титаномагнетит, пирит, сфен. Средняя плотность $2,64 \text{ г/см}^3$; от 18 до 65% обра зцов плагиогранитов по разным массивам имеет среднюю магнитную восприимчивость $800 \cdot 10^{-6} \text{ СИС}$ [155].

Жильные образования встречаются исключительно редко. Она представлена маломощными и непротяженными кильами диоритовых порфиритов, спессартитов, аplitов, не выходящих за пределы массивов.

Позднесилурский возраст описанных интрузивных образований принимается на основании их интузивных контактов с ранненесилурийскими габброродами и вулканогенными образованием и находок плагиогранитов в конгломератах позднего силура-раннего девона. Ассоциация диоритов, кварцевых диоритов, плагио-гранодиоритов, плагиогранитов относится к дифференцированной габбро-плагиогранитовой формации и сопоставляется с верхнетагильским комплексом [73].

ТЕКТОНИКА

Описываемый район находится на стыке двух крупных структур Уральской складчатой системы – Центрально-Уральского поднятия и Тагильско-Магнитогорского прогиба, существенно различных по морфологии, условиями осадконакопления и характерумагматизма. Значительная часть территории входит в Тагильско-Магнитогорский прогиб и лишь крайний северо-запад относится к Центрально-Уральскому поднятию (рис.5). Граница между ними проходит по Сосьвинскому глубинному разрыву.

Эти структуры находят отчетливое выражение в физических полях: отрицательное гравитационное поле (-30 мГал) в области Центрально-Уральского поднятия через гравитационный ступень с градиентом $0,5 \text{ мГал/км}$ сменяется положительными полями в области эвгеноситникалии ($+30 \text{ мГал в районе г.Карпинска}$) с аномально интенсивными над массивами Платиноносного пояса (более 96 мГал). Сложное знакопеременное (от -2000 гамма до $+20000$ гамма) магнитное поле характеризует образование, сдавящие Тагильский метасинклиниорий от массивов Платиноносного пояса и восточнее К.Земли, от них раздвинут, в основном, немагнитные образования и установить границу Центрально-Уральского поднятия и прогиба по магнитному полю одновременно слож-

но.

Отложения, слагающие Центрально-Уральское поднятие, представлены преимущественно осадочными породами многоеосинклинальной зоны байкальской, относящимися к позднерифейскому структурному ярусу [149]. Эвгеносинклиниальная зона урала Тагильского метасинклиниория в западном крыле представлена преимущественно вулканогенно-осадочными породами ордовика, силура и девона, выделенными в орловикско-ранненевинский структурный ярус; восточнее, в осевой части прогиба, – среднедевонскими породами – эоценово-осадочными и карбонатными породами среднедевонского структурного яруса. На крайнем Востоке – в пределах Богословско-Веселовской депрессии континентальные трансовые отложения выделены в третасовый структурный ярус.

Ишеримско-Шудзинско-Ишеримский мегантиклинорий Центрально-Уральского поднятия представлен лишь малой частью восточного смытого крыла. В пределах листа наблюдается фрагмент одной из локальных складок – антиклиналии, в цире которой в районе Сениных Гор обнаружается квадритопесчаники шеримской селиты, окруженные сланцами велсовской свиты позднего миоцена.

Задуктивное залегание пород северо-восточное с восточным падением под углом от 40 до 50° .

Для урала западной части Тагильского метасинклиниория характерно моноклинальное, восточное падение под углом $40-55^\circ$, лишь местами осложненное вторичной складчатостью с размахом $3-5$ км; здесь выделяется Княжинско-Куттымская гавдинская моноклиналия, разделенные Куттымским массивом. Княжинская моноклиналия, разделенные Куттымским массивом. Княжинская моноклиналь и вулканогенно-осадочные отложениями саранжинской, хомасинской и полбинской свит, ордовика, имеет северо-восточное хорошо выраженное падение под углом $40-55^\circ$, лишь иногда осложненное вторичной складчатостью. С северо-запада моноклиналь ограничена Сосьминским разломом, с востока – массивами Платиноносного пояса; ширина ее до 30 км.

Павланская моноклиналь, расположенная выше Куттымского массива, сложена метаморфизованными вулканогенно-осадочными образованиями саранжинской, хомасинской и полбинской свит ордовика, имеет северо-восточное хорошо выраженное падение под углом $40-55^\circ$, лишь иногда осложненное вторичной складчатостью. С северо-запада моноклиналь ограничена Сосьминским разломом, с востока – массивами Платиноносного пояса; ширина ее до 30 км.

с массивами они смыты во вторичные мелкие скважки, нередко с хрустальными кристаллами.

Восточная часть территории характеризуется более пологим падением пород и многочисленными разрывными нарушениями различного направления, а вблизи восточной рамки – нарушениями установленными по данным поискового и разведочного бурения [114, 117]. Здесь выделены две структуры третьего порядка: Лозьвинско-Ревдинский моноклиниорий и Сосьвинско-Уфалейский синклино-

рий.

В пределах Сосьвинско-Уфалейского синклиниория выделены: Уфалейская мегасинклиналь на севере, Талицкая синклиналь на юге и Богословско-Веселовская депрессия в центральной части.

Из дельских яйцевидных скважин, расположенных в мегасинклиналь, представлена лишь ее южная окончанием, сложена отложениями верхнего силура–нижнего девона – буякансенно-осадочными породами, разбитыми разрывными нарушениями и часто перемещенными так, что можно выделить при картировании блоки алло- и автохтона [114]. В пределах листа характерно почти для всех блоков этой структуры мо-

л. 5 – структурные яруссы и польярки: I – позднерифейский, 2–3 – ордовико-шанцевский (2 – обломочный, 3 – олтухско-раннедевонский), 4 – средне-шанцевский (4 – трансформационный), 5–8 – палеогеновые (5–8 – серпентиниты, 7 – габбролавазаны, 8 – палеогениты), 9–10 – раннесреднекарбоновые (9–10 – пуниты), 11–12 – позднекарбоновые (трансформации); 12–14 – раннекембрийские структуры (12 – первого и второго порядка, 13 – третьего порядка, 14 – более высокого порядка); 15–16 – разрывные нарушения (15 – открытые и залегающие, 16 – скрытые), 17 – напряги, 18 – долготные залежи (западные); 19 – зукачанческие пектиты; 20 – нарушение, установившееся в морене эпигенетических полей; 21 – зоны саваги и гипербазитов, прослеживающиеся в геофизических полях.

Тектоническое районирование. Структуры второго порядка: I – Ильинско-Кутинский антиклиниорий Центрально-Уральского поднятия, II – Татильский мегасинклиниорий Челябинско-Магнитогорского прогиба; структуры третьего порядка: I – Ильинско-Шульгинский мегантиклиниорий, II – Лозьвинско-Ревдинский моноклиниорий, III – Сосьвинско-Уральский синклиниорий; структуры четвертого порядка (цифры в ромбах): I – Князининско-Китайская моноклиналь, 2 – Павловинская моноклиналь, 3 – Капельская мегасинклиналь, 4 – Богословско-Веселовская депрессия, 5 – Талицкая синклиналь; локальные структуры (цифры в квадратах): I–7 – зукачанческие (1–Сосьвинская, 2 – Валентинская, 3 – Талицкая, 4 – Ильинско-Титинская, 5 – Князининская, 6 – Хлыновская, 7 – Семиловская); 8–10 – экструзии – купола (8 – Иртышский, 9 – Ельниковый, 10 – Шигитский); интрузивные массивы (цифры в кругах): I – Салаватского пояса, 2 – Канская, 3 – Катильская с концентрическими структурами (3а – Талицко-Комзаковская, 3б – Соребранская, 3в – Зеленогорская, 3г – Сухогорская), 4 – Кобзинский (Кобзинская структура), 5 – Тавдинский, 6 – Зареченский, 7 – Башневско-Часовской; разломы (цифры в треугольниках): I – Половинский, 2 – Сосьвинский, 3 – Салаватский, 4 – Западно-Кумзинский, 5 – Князининский, 6 – Кызылникско-Китайский, 7 – Валентинский, 8 – Восточно-Моский, 9 – Кругловско-Коловодовский.

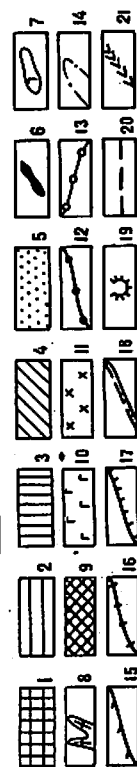
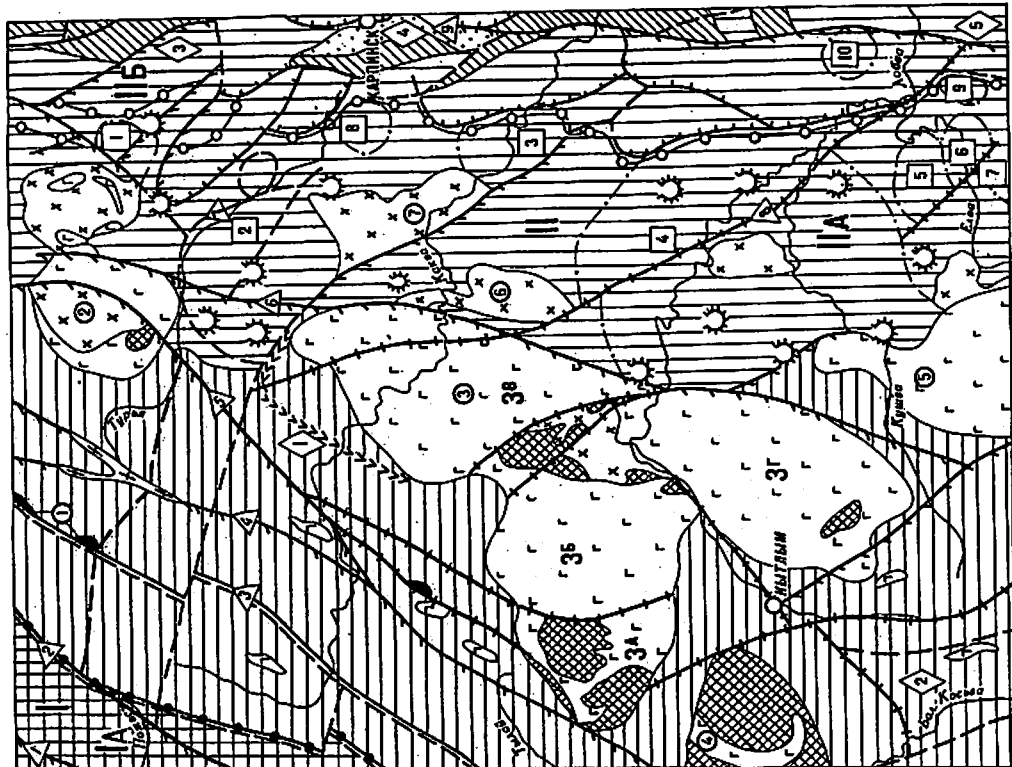


Рис.5. Схема тектонического строения. Составила Л.П. Ермакова.

ногтиальное залегание отложений с пологим падением склоновости к востоку. Лишь иногда можно наблюдать небольших размеров складочные структуры, обладающие общее простирание юго-восточном Талицкая синклиналь, расположенная в юго-восточном углу листа, выполнена в основном известняками девона, обнажающимися по р.Лобве у пос.Старый Перевоз. Это линейная субмеридионального простирания структура, прослеженная к северу на несколько километров и имеющая асимметричное строение: восточное крыло имеет западное моноклинальное падение под углом 10–20°, западное, обычно смятое во вторичные складки, падает к востоку под углом в 40–45°. Ширина структуры до 7 км [127].

Богословское – Веселовская субмеридиональная депрессия, имеющая протяженность 16 и ширину до 3 км, находится к югу от г.Карпинска. Она представляет собой моноклинальный фрагмент когда-то значительного (до 10–12 км) в перечнике угленосного бассейна, сложенного триасовыми отложениями. Восточный контакт ее имеет тектонический характер; на западе отложения депрессии расщеплены субширотными нарушениями сбросово-стрикнового характера [114, 140].

В зоне развития вулканогенно-осадочных образований силура выделены локальные вулкано-тектонические, иногда депрессионного характера, структуры (Сосновская, Валенторская, Голгинская, Иовско-Горинская, Князевская, Хлыновская, Семеновская) и вулканические купола (Юрлинский, Ельинский, Шайтанский).

Вулкано-тектонические структуры в плане округлой или слегка удлиненной формы; в попечнике имеют величину от 5 (Сосновская и Князевская) до 20 км (Иовско-Тотинская). Они сложены чередующимися в разрезе и фациально замыкающимися по простиранию различными вулканическими образованиями кислого и основного состава раннесибирского возраста контрастной и андезитовой формаций. Контуры разновидностей пород в пределах этих структур, а также поля локальных магнитных и гравиметрических аномалий и положение разрывных нарушений часто подчеркивают субконцентрическое их строение, как, например, в Валенторской и Иловайской скоплениях аштаротов, мелкие шлаковые конусы, некки, жер-

Восточнее зоны развития вулкано-тектонических структур находятся три акстроризовых куполовидных структуры. Два купола – Пртышикий и Елизинский, приуроченные к юго-восточным городам западнее г.Карпинска, и близ устья Ельвы, сложены порфирями липарито-дацитового состава; третий, Гайтанская, расположенный среди вулканических отложений девона, на левобережье р.Лобве сложен трахитовыми порфиритами.

Депрессионные вулкано-тектонические структуры и вулканокуполы постройки имеют определенные перспективы на неизвестное и земно-модибеновое колчеданное оруденение, поэтому в последнее годы они неоднократно изучались и описаны в различных работах [32, 37, 38, 125, 129].

Система разрывных нарушений в пределах площасти довольно сложна. Выделяются региональные долгоживущие разломы, прослеживающиеся на большие расстояния и занямающие определенное место в истории развития района, разломы глубинного заложения и горючестенные разломы, различные по характеру: сбросы, взбросы, сдвиги, надвиги.

Региональные разломы Сосьвинский и Салатимский, расположенные в северо-западной части листа, прослеживаются за его пределы к северу и юго-западу.

Сосьвинский разлом северо-восточного простирается в северо-западной части листа, прослеживается за его пределы к северу и юго-западу.

Сальтийский разлом северо-восточного простирается в северо-западной части листа, являющийся границей Центрально-Уральского поднятия и Тагильско-Магнитогорского прогиба. Эта фиксируется интенсивным смытием пород, рассланцованием, а также – пророченностью речных долин и понижений. Как в зеркале, так и на сопредельной с севера территории, это зеркальных листа, сопровождается интенсивным смытием пород (см. рис. I). Разлом хорошо выражено с границей различных по характеру и интенсивности гравиационных полей [121]. Падение плоскости смытия зосточное под углом 40°; к северу оно постепенно становится зосточное под углом 75–80°. Предполагается, что заложение разлома произошло в ордовике; позднее он неоднократно поднырялся. По геофизическим данным донесется с глубиной его выполнование в соединение с Салатимским нарушением [172].

Сальтийский разлом расположен восточнее Сосьвинского и субпараллелен последнему. Предполагается его более позднее заложение. Салатимский разлом хорошо дифференцируется на

аэрофотоснимках. Это долдохивущее нарушение с крутым восточным падением, выполненнымся на глубине. К нему приурочены мелкие тела серпентинитов одноименного пояса ультраосновных пород альбиноитной лунит-парцбургитовой формации. Породы в зоне разлома характеризуются многочисленными зеркалами скольжения, участками дробления и милонитизации [172].

В физических полях между Сосьвинским и Салатинским разломами выделяется зона, называемая Присалатинской [145]; для нее характерно разражение изоаномал на фоне интенсивного повышенной силы тяжести на восток, на карте остаточных аномалий наблюдалась серия локальных минимумов. В магнитном поле характерно явление знакопеременных локальных аномалий с интенсивностью до ± 500 гамма, отвечающих небольшим участкам обогащенных магнетитом сланцев. По расстоянию зона между Сосьвинским и Салатинским разломами представляет собой наклонную прямую с избыточной относительно позднерифейских образований плотностью в $0,12 \text{ g/cm}^3$.

Полоский разлом, почти параллельный Сосьвинско-Му, расположен в зоне рифейских отложений западнее поселения Го. Севернее в зоне Половского разлома находится месторождение коренного золота "Подковская Сопка" [119]. На сопредельном с севера листе вручьях и речках волнистого разлома наблюдается россыпи золота [172]. Такие россыпи известны и на описываемой территории.

В зоне разлома севернее листа части кварцевые породы, участки линейных кир выветривания. В физических полях в пределах долины листа нарушение практически не выражается.

Западно-Кумский разлом прослеживается от западного контакта Куминского массива на севере до западного контакта Косьвинского камня. Он субпараллелен всем ранее описанным нарушениям, хорошо фиксируется на аэрорентгеноснимках. Расположен в середине крупнейшей гравитационной ступени. Породы в зоне разлома характеризуются трещиноватостью, площадью, обилием кварцевых, кварц-апатитовых и кверц-карбонатных кий. Его заложение связывается с ранним этапом развития эзгеосинклиналии, позднее он неоднократно активизировался [172].

Кумский разлом (забросо-слаг) соединяется с Западно-Куминским севернее Тылай-Конкаковского горного хребта, он имеет северо-восточное простирание, западнее

расщепляет западную часть Куминского массива на два блока. Куминско-Китлинский разлом такого же типа, но восточного падения, отделяет западную и восточную половины Куминского массива, проходит вдоль восточной границы Китлинского массива и протягивается к западному краю Певдинского массива. В физических полях разлом характеризуется гравитационной ступенью, уверенно прослеживается на магнитной карте по особым позициям изодинам и логальным ориентированным аномальиям.

Валенгorskий субкупольный разлом ограничивает депрессионную зону Валенторской вулкано-тектнической структуры; он часто фиксируется участками гидротермально-измененных пород и, как следствие, изменением характера и интенсивности магнитного поля. Заложенный в конце лланцювери, он неоднократно подновлялся в более позднее время.

Восточный Иоский разлом, приуроченный в северо-центральной части к долине Р.Лосы, пересекает в северо-западном направлении Иовско-Тогинскую вулканогенную структуру. Валенторскую габроноритовую часть Китлинского массива прослеживается севернее среза ординских отложений. На юге, в районе пос. Эмковые, зона разлома характеризуется высокими значениями электропроводности по профилю ВЭЗ, а в связках снаружи зоны прорываются фрагменты разлома легко устанавливаются в магнитном поле. Заложение его произошло в позднем лланцювери, а в верхке разлом неоднократно активизировался.

По Кутолоско-Коноваловскому разложику южные известники соприкасаются с расположенным на востоку сибирским отложением. Картированными скважинами в окрестах г.Карпинска в зоне разлома установлены глины трещинчатые и кийониты, мощность которых достигает 0,5 м [114]. Падение скважин восточное под углом 45-50°, выполнивающееся на склону. Характер нарушения взбросо-стриговый. В северной части зоны, в пределах смешанного листа, этот разлом прерывается, частично считается сложным сдвигом [159] или восточным нарушением [54]. Западнее разлома развиты небольшие надвиговые склоны с выпуклой перекапыванием от 300 до 1500 м.

В физических полях Кутолоско-Коноваловский разлом отмечается фрагментами. Часто устанавливается южный ослабленный элементности полей за счет перекрывавших немагнитных и менее

пилотных карбонатных образований.

Между Кинешмским и Катильским, Катильским и Павлинским массивами устремляется серия субширотных нарушений, явно выраженных отражением на поверхности грубыих субширотных границ или структур, связанных с жесткими геосинклинальными ложеми. Эти зоны трансформированы и прослеживаются в физических полях довольно легко за пределы Тагильского метасинклитония. Наиболее значительной из них является субширотная зона в районе Косьминского Камня и к югу от него. На гравиметровой карте отчетливо видно азимутальное изменение направления аномалий массивов Платино-носочного пояса от строго меридионального в районе Павлинского массива и кончес на северо-северо-восточное, начиная от Катильского массива и далее на север.

Геотоническое строение района является производным его длительной геологической истории, по-своему отрывая те или иные ее события. В северо-западной части листа, в пределах Байкальского структурно-вещественного комплекса в многоеосинклинальных условиях произошло накопление терригенных отложений; в последовавший за этим этап инверсии геосинклинали, сопровождавшийся огненчатостью и метаморфизмом пород, произошло внедрение силлов и даек габброрибазов и диабазов, известных в этой зоне на сопредельном с севера листе [II], после чего данная область представлена собой платформу.

Долгое время район представлял сущу, что привело к перегибу в осадконакоплении и несогласному залеганию следующего — ордовико-раннедевонского структурного яруса на отложениях рифов. Одновременная треногressия рассчитывается как начало очередного геосинклинального цикла, когда к востоку от Центрально-Уральского поднятия образуется эвгеосинклинальный прогиб с погружением территории и накоплением сначала терриген-

ПЕДОМОРФОЛОГИЯ

Согласно схеме геоморфологического районирования Урала [51], описываемая территория расположена в пределах Уральского горного сооружения в зоне кряжа (рис. 6). Западная часть территории относится к району яйценко-горных массивов Северного и Среднего Урала. Этот район занимает приоссуруцкость Главного Уральского хребта, является типичным среднегорским и характеризуется широкими, метко очерченными хребтами. Основная часть поверхности хребтов обычно залегирована и пок-

рога вловально-дельвильными отложениями. Лишь верхние части хребтов представлены скалами и гребнями, сложенными наиболее устойчивыми к выветриванию породами. Район, приуроченный в целом к Центрально-Уральскому поднятию, сложен метаморфизо-ванными рифейскими и ордовикскими отложениями, а также иту-эзевыми породами, слагающими Косьянский, Кытлымский, частично Чиншинский и Гавлинский массивы. Древние горы выветрива-ния распространены неравномерно в виде пачек и полос. Отложе-ния гайнозоя развиты незначительно. Мезозойские выетрива-ние структурные депрессии, в основном, меридионального направле-ния, четко выражены в рельфе. Часто они наследуются олигоце-новой и плiocен-четвертичной речной сетью. Продольные профили современных речных долин относительно круты, склоны террасиро-ваны и часто осаждены деградированными участками. В мезосов и кайнозое этот район поднялся на 200–300 м, от смешанных геомор-фологических районов он часто отделен уступами.

Восточная часть описанной территории относится к району остаточных гор восточного склона Урала, характеризующийся наличием меридионально вытянутых гряд, холмов и увалов со слаженными вершинами и сравнительно пологими выпуклыми склонами, покрытыми чеклом ледяно-элюзионных образований. Район расположен в полосе осадочных, вулканических и метаморфических разнотипных пород среднего палеозоя, имеющих интузии различного возраста и состава. Распространение отложений мезозайонской, а также древних кор выветривания более широкое, чем в предыдущем районе. Район остаточных гор в мезозое и кайнозое

Геоморфологическое районирование: I₄ - приполярные горные массивы Северного и Среднего Урала, II - остаточные горы восточного склона Урала; I₅ - поверхности выраживания; I₆ - мезозойская нарастационная депрессия (пензенская), I₇ - позднемезозойская депрессия (ченечская), I₈ - позднепалеогеновая депрессия (малмыжевский), I₉ - миоценовая депрессия (пермский), I₁₀ - миоценовая аккумулятивная, I₁₁ - палеоп-четвертичная нарастационная флювиально-депрессивная, I₁₂ - палеоп-четвертичная, I₁₃ - граница максимальной палеогеновой трансгрессии; I₁₄ - граница солончакового озерения; I₁₅ - граница геоконтинентальной зоны районов.

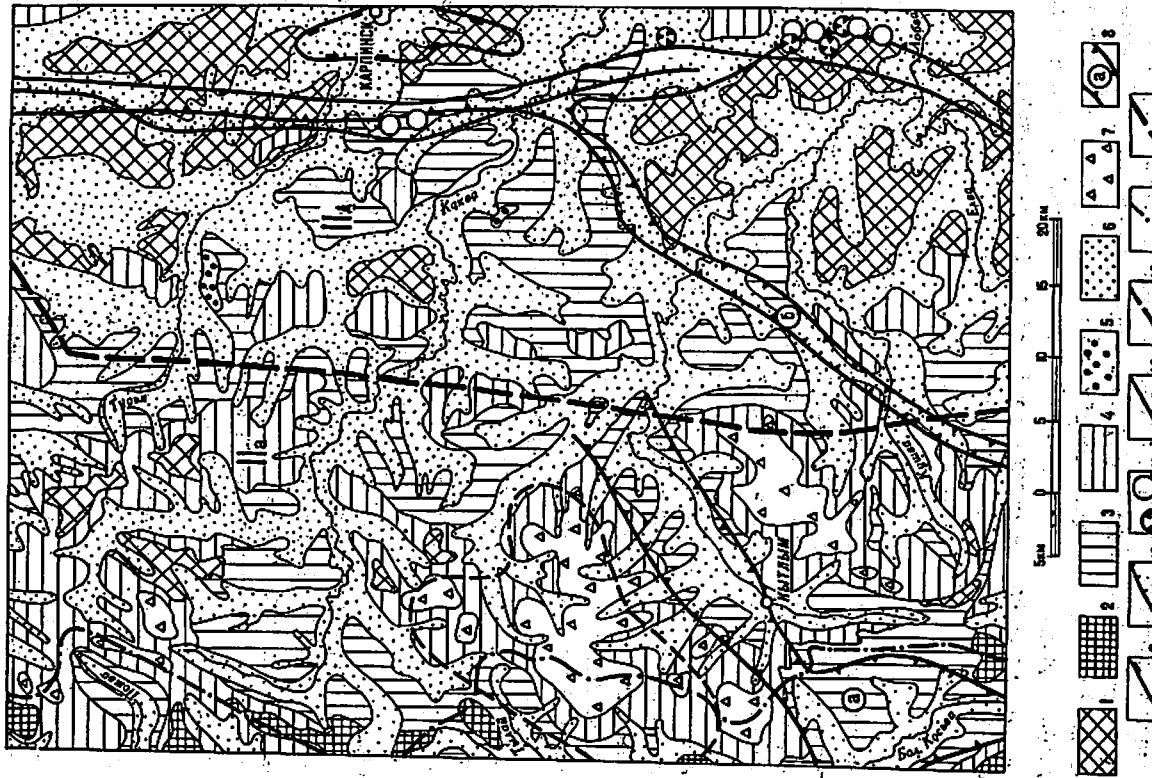


Рис. 6. Геоморфологическая схема района. Составлена Н.А.Щаковой
по материалам А.П.Ситова и В.С.Шуба.

испытали подъемки на 150–200 м.

Поверхности выравнивания

В пределах листа выделяются следующие шесть поверхности выравнивания.

Мезозойская нерасчлененная денудационная поверхность выравнивания развита преимущественно в восточной части описываемой территории, в пределах района остаточных гор восточного склона Урала, абсолютные отметки ее 200–320 м. Она выщеленяется по корам выветривания с высокой степенью гипергенных перерастворения.

Позднемезозойская денудационная поверхность выравнивания (моделированный пeneилен) развита в районе приподнятых горных массивов, расположена на высоте более 600 м, фиксируется логальными участками развития хемических гор выветривания с высокой степенью химической проработки материала. Позднеизвестковая поверхность выравнивания часто перекрыта более моло-

дыми отложениями.

Позднешалеогеновая денудационная поверхность выравнивания (моделированный пeneилен) выделяется по распространению мало-мощных химически слабо проработанных гор выветривания квоты неф-гидрослюдистого состава. Абсолютная высота этой поверхности 400–500 м в районе приподнятых горных массивов и 220–300 м в районе остаточных гор.

Миоценовая поверхность выравнивания (педилен) картируется на крутых склонах, различающихся вышелачившими ярусами рельефа. Крутзна склонов педиlena пропорциональна устойчивости город субстрата к выветриванию. Подножия склонов, сложенные красноцветными делювиальными и ледниковально-проточными образованиями, картируются как миоценовые аккумулятивные поверхности выравнивания, которая на описываемой территории развита весьма ограниченно (район рр. Тура и Каты).

Цинопен-четвертичных нерасчлененных эрозионно-денудационно-аккумулятивных поверхностей выравнивания фиксируются аллювиальными, ледникально-проточными и озерно-аллювиальными отложениями того же возраста. Она включает современные речные долины с комплексом террас. Абсолютные отметки 200–480 м в районе остаточных гор и 350–800 м в пределах района пропитаны горных массивов.

Четвертичная поверхность горной денудации развита в зоне края, в промежуточных районах Косынинского Камня, Мокна-ковского Камня, Ольвинского Камня, Казенского Камня. Абсолютные отметки поверхности в пределах 840–1569 м. У подножия поверхности широко развит куруник.

Формы рельефа, созданные речной деятельностью

На описываемой площади выделяются (см. рис. 6) Вишерско-Вятская и Гуринско-Богословская эрозионно-структурные типы рельефа и Гуринско-Богословская денудация вида

городки в зеркальных пр. Доби, Бок. и Мал. Косьмы по результатам полево-геоморфологических работ 1975 г. Представлена восточном северо-восточного простирания протяженностью более 30 км, шириной от 3 до 10 км. Депрессия четко выражена в северо-западном рельефе, располагается в пределах Павлинской моногоры, сложенной метаморфизованными терригенно-вулканогенными складчатыми орогами.

Гуринско-Богословская мезозойская эрозионно-структурная денудация расположена в восточной части описываемой территории. Она пророчена в основном к девонским вулканогенным и вулканогенно-осадочным образованиям с прослоями известняков, хорошо выражена в рельефе, хотя ее борта представлены довольно широкими и пологими склонами. Ширина депрессии достигает 7–8 км (район г. Каринска). Депрессия имеет отверстие за памнее пос. Галка, выполненное по морфологическим признакам.

Мезозойские территории отложений известны только в Богословско-Веодоловской тектонической денудации (район г. Каринскому). Олигоценовая Богословская долина наследует мезозойскую Гуринско-Богословскую эрозионно-структурную депрессию.

Современная речная сеть представлена пр. Камской, Лобовой, Тура: Косьмой и другими, более мелкими. Направление течения речных водораздел проходит по Уральскому хребту. Долины рек симметричны, террасированы, ширина их варьирует в зависимости от гидрологического состояния. Наиболее широкие долины достигают 1 000–1 500 м; уклон рек, текущих в субширотном направлении, превышает 10%.

Наиболее широкие и глубокие террасы. Террасы на северо-западе

района сформированы в субширотном направлении, глубина их варьирует в зависимости от гидрологического состояния.

Отложения Уймыской надпойменной террасы (эрозионно-аккумулятивной) наблюдались в угольном карьере вблизи г. Караганка. Третья надпойменная терраса (исетская) эрозионно-аккумулятивная развита в долинах рек Лобни и Кокши. Ширина площадки достигает 500 м, высота над уровнем земли 2-12 м. Вторая надпойменная терраса (камышловская) – аккумулятивная, довольно хорошо выражена в долинах рр. Кокши, Лобни и Елан. Ширина пло-

щадки достигает 500 м, высота над уровнем воды 4-5 м.

Первая надпойменная терраса (боровая) развита фрагментарно, уступ выражен очень слабо. Осадки террас часто залегают в основании высокой поймы. Высокая пойма развита повсеместно, за исключением участка на р. Лобне в районе пос. Акташ, где она переработана драгами и представляет ряды драчных отвалов. Высота высокой поймы над уровнем воды 2-4 м, ширина 100-300 м. Низкая пойма развита не повсеместно, высота ее над уровнем воды 0,5-0,8 м, ширина площадки 100-400 м.

Карст развит в пределах олигоценовой долины и мезозойских эрозионно-структурных депрессиях в крайней восточной части описываемой территории. По возрасту выделяют плющен-четвертичный карст, заполненный осадками соответствующего возраста, и карст неуставновленного возраста [5].

Формы ледникового рельефа наблюдается в районе Конаковского Камня в виде широков, каров и заузалированных последующей эрозией трогов на абсолютной высоте 900-1000 м и более. Тектонические формы рельефа развиты в пределах карьеров буроугольных месторождений и в долинах рек на россыпных месторождениях золота и платины (см.рис.3).

ПОЛЕЗНЫЕ ИСКОПАЕМЫЕ

На площади листа известны различные полезные ископаемые, связанные с интузиевыми, нулканогенными и осадочными образованиями. Ведущее значение в экономике района принадлежит будущему углю, россыпной платине, месторождения которых эксплуатируются на протяжении многих лет. Открытие Валенторского месторождения и окрестного месторождения послужило положительным фактором для увеличения сырьевой базы местнорудной промышленности Урала. Известны россыпные месторождения золота, крупные месторождения топки, отвальных и строительных материалов, а также многочисленные промыслы черных, цветных и благородных метал-

лов. На площади листа учтено 39 промышленных месторождений, из которых 4 эксплуатируются. Сведения о полезных ископаемых даны на карте по состоянию на 1/1 1985 г.

ГОРНЫЕ ГОРЯЧИЕ ИСКОПАЕМЫЕ

Твердые горячие ископаемые

Бурый уголь

Ранние находки углей в районе относятся к первой половине прошлого столетия. С 1911 года производилась добьча углей открытым способом. В настоящее время известно два месторождения бурого угля: Богословское (П-4-4) и Веселовское (П-4-12), которые расположены в северо-восточной части листа.

Наиболее крупные месторождения являются Богословское и первоначальными запасами по категориям А+В+С₁ 162 568 тыс.т. Угленосность связана с мезозойскими (позднетриасовыми) континентальными отложениями, которыми исполнена Богословско-Беседовская депрессия. В настоящее время из четырех угольных горизонтов (А, В, С, Д), развитых на месторождении, основные запасы сосредоточены угольный горизонт С, который является сверхмощным угольным пластом склонного строения. На севере месторождения он образует угольную залежь мощностью 35-40 м, почти неразделенную породными прослоями. В южном и юго-восточном направлении мощность его увеличивается до 100 м за счет увеличения количества и мощности породных прослоев при одновременном углекислинивании угольных пластов, а угленасыщенность падает с 65-90 до 15-20% и ниже. Угли сурче марки Б-2, энергетические, высокой степени углефикации [7]. Качество угля характеризуется следующими средними показателями: зональность (А_С) 23,8%, содержание серы (S₀₀) 0,4%, влагоность (W₀) 16,61%, летучие (V₀) 43-46% [12]. Газоносность угольных пластов не подтверждается. Подавляющая часть углей представлена гумусовыми разностями. Гидрогеологические условия месторождения сложные из-за наличия водогорынища.

Запасы месторождения в основном отработаны, оставшиеся будут вынуты в ближайшие годы углеразрезом "Джаны" (глубина разработки 190 м). Балансовые запасы на 1/1 1984 г. по категории А+В+С₁ составляют 4 875 тыс.т., задалансовые 20 667 тыс.т. [2], месторождение среднее. Основными потребителями угля являются Серовская ГРЭС и Богословская ТЭЦ.

Веселовское мелкое месторождение аналогично вышеописанно му, но уже отработано открытым способом. Запас угля для подземной разработки вышеуказанных количеств не имеет промышленного значения [7].

Торф

В северо-восточной части листа располагаются два крупных месторождения торфа: Большое (I-4-2,5) и Сынское (I-3-II), плотность которых, соответственно, 12 и 100 кг/м³, что составляет -

ет 2,7% от общей территории.

Торфяники преимущественно низинного типа, отделяются от пород палеозоя аллювиальными песчано-глинистыми четвертичными отложениями. Торфообразование происходило в заболоченных озерах и побах рек. Залежи сложены преимущественно древесными разностями торфа в различных комбинациях с осоково-сфагнумами, древесно-осоковыми или тростниково-осоковыми торфами. Степень разложения торфа 25-30%, зольность колеблется от 4 до 30%. Мощность отложений изменяется от 1 до 6,5 м. Сапропели встречаются у озер Крыловщино и Глухое Монисты до 3,0 м. Балансовые запасы месторождения Большое приводятся неполно, учитывая его простирание на северный и восточный сдвиги листа - 31 672 тыс.т., категория C₂. На Сынском месторог - дении балансовые запасы 6 161 тыс.т [2]. Торфяные поля чистично используются только в сельском хозяйстве.

МЕТАЛЛИЧЕСКИЕ ИСКОПАЕМЫЕ

Ч е р н е м е т а л ы

Халкоцит

В районе известно 11 проявлений и 19 пунктов минерализации, тяготеющих к реннесансуристским отложениям андезитовой формации (Покровский рудный узел), основным иультрасосновным массивам Платинового пояса Урала, а также к терригенно - вулканогенным отложениям ордовикового и силурийского возраста (Польинская, Тельпосская, наиская свиты). Проявления относятся к трем типам оруднений: скарново-магнетитовому, тита - номагнетитовому и осадочному.

Скарново-магнетитовый тип. Проявления этого типа связанны с изменениями вулканогенно-осадочными и вулканогенными породами раннесилурского и средне-позд-

неордовикового возраста в зонах контактов с гранитоидами Киншинского [59] и габброидами Катунского массивов. Большое значение в локализации проявлений имеет литолого-фаунистическое и структурные факторы (контакты интрузивов, антиклизы и сателлиты интрузивов, зоны брекчирования).

Наиболее изучены проявления Алексеевское (I-4-4) и Кормильцевское (I-4-6) до глубин соответственно 150 и 100м [141, 154, 156]. Эти рудники были открыты и разрабатывались в конце XIX - начале XXI столетий небольшими шахтами и карьерами. Добыча железных руд составила на Кормильцевском руднике 16 000 тонн, по Алексеевскому руднику данных нет [154]. Проявления расположены между озерами Большой Киншинской и Антипинской. Примечательно восточная контактная зона Киншинского массива гранодиоритов с карбонатными прослоями в вулканогенных породах андезитовой формации (B₁-3-U₂). Кормильцевское проявление представлено четко ограниченной пластовой залежью магнетитовых руд с массивной и бракитической текстурой. Простирание залежи северо-западное, падение восточное 25-35°. Глубина залегания от 0 до 50 м, в среднем 15-20 м, мощность ее достигает 9,25м. Тектоническими смещениями рудное тело разбито на ряд рудных блоков размером: от 55 до 260 м по простираннию и от 16 до 100м по падению [156]. Минералогический состав руд: магнетит, гематит, пирит, халькопирит, халькоzin. Содержание железа колеблется от 15 (в отдельных порфиритах) до 63,89% (в массивных магнитных железняках). Авторские запасы руд по категории C₁ составляют 138 тыс.т, при среднем содержании Fe 35,62%, Р 0,047%, S 0,17% и по категории C₂ - 77 тыс.т [141].

На Алексеевском проявлении авторские запасы руд по категории C₁ составляют 116 тыс.т, при среднем содержании Fe 35,36%, Р 0,028%, S 0,15% и по категории C₂ - 84 тыс.т [141, 156].

Известно проявление данного типа и в иной части листа - Спасский рудник (озерный, ГУ-2-2), которое находится у подножья Казанского Камня и представляет собой заполнение шахты и карьера размером в плане 40x25 м глубиной до 15 м. Своеобразие о времени открытия и эксплуатации рудника противоречивое [19, 45, 78]. По данным планов, патированных 1871 годом, разрабатывались три жилобразных рудных тела мощностью до 2м [42]. Открытие наблюдается в непосредственном контакте Серебрянско-

кото массива с основными, ёжутузами вайской синт., среди которых имеются мраморизованные известняки, роговики. Предполагается, что роговики, скарны и железные руды обузданы своим образованием воздействием габбро на вмещающие породы [19]. Каменка Спасского карьера установлена три локальные машины аналогии с размерами по изюдинаме 3 000 гамм: 90x70, 70x30, 70x30 м [160]. Максимальная напряженность в эпигенетиках сыште 10 000 гамм. Понсековым бурением в эпигенетиках аномалий вскрыты магнетитовые руды до глубины 170 м. Рудные тела имеют небольшие размеры по простиранию (менее 100 м), истинную мощность не более 10 м, по данным отстройки рудных тел на основе геофизических исследований [160]. Руды представлены магнетитом с заметной примесью шпата и халькопирита. Авторские запасы магнетитовых руд Спасского проявления составляют 70–75 тыс.т при содержании 45–50% [160]. В настоящее время проявление в промышленном отношении бесперспективно.

Гилянскому (катакарского) представлямы титаномагнетитами, связанными с пироксенитами и габбро Коильянского, Кызыльского и Паддинского массивов. В пределах листа выделяются сама проявление и ряд пунктов минерализации. Проявления представляют собой группы, разработавшиеся в XIX веке на железные руды. Характер оруденения, состав рудных минералов, структуры руд на всех рудниках весьма сходны.

Вознесенский рудник (Ш-2-2) расположен на восточном отроге Серебрянки, в 2 км к югу от устья р.З-й Серебрянки, где имеется несколько старых карьеров. Натянутых в цепочку с севера на юг. Самый большой из них – каменный, имеет размеры 40x8 м [19]. В середине карьера – устье затопленной шахты сечением 2,5x5 м [99]. Проявление находится в зоне перехода амфиболовых и амфибол-пироксеновых габбро к оливиновым пироксенитам. Рудная зона прослежена на 3 м при ширине от 40 до 200 м 86,142 . И представлена полосами магнетитовых оливинитов и рудных верлитов в оливиновых пироксенитах. Простирание полос субмеридиональное, длина одной из них 1 100 м, ширина от 30 до 110 м [19]. Рудные оливиниты и верлиты переслаиваются с пироксенитами и амфибол-пироксеновыми габбро, мощность которых колеблется от 1 до 15 м. Наибольшим распространением пользуются скрепленные руды, неизучительное развитие имеет

шлорово-полосчатые и сплошные руды, образование руд связано с процессами метасоматоза [41]. Их минеральный состав однодиоразен: преобладает магнетит, в подчиненном количестве – ильменит, шпирит, халькопирит, магнетит, гематит. Содержание: Fe (в) от 15 до 42%, при среднем 24%, V2O5 0,02–0,30%, TiO2 0,63 до 3,10% 142,163 . Сведенный о количестве добываемой руды не сохранился. Авторские запасы руд оцениваются в 720 млн.т на глу-бину 250 м [142].

Рудники, расположенные, в основном, выше описанного: Лосинский (Ш-2-13), Боровской (Ш-2-16). Серебрянский участок (Ш-2-12) имеет авторские запасы железных руд, не превышающие 100–120 млн.т.

Осадочный слабометаморфический зональный тип. К этому типу относится одно проявление – Безымянный рудник (Ш-4-15) и ряд пукков минерализаций. На руднике Безымянном, расположенным в I зоне к юго-западу от пос. Еланьга, сохранилось несколько неглубоких ям с крупными глыбами гематита. Поясосточные работами установлено, что гематитовые руды залегают в толще известняков венчака, которые тонко переслаиваются. Фактически замещаются туфками и туфопесчаникам [157]. Пластообразная рудная залежь субширотного направления с падением на ССЗ под углом 25–30° прослежена на 250 м. Мощность пласти достигает 0,5 м. Содержания: Fe (в) до 51,52%, S 0,14%, P 0,40%. В описываемом районе данный тип оруденения промышленного интереса не представляет [14].

Цветники методы

В районе известны одно промышленное месторождение, восемь проявлений и многочисленные пункты минерализации местных руд, связанные с вулканогенными образованиями контрастной формации раннего-среднего эдакционера, непрерывной андезитовой формации позднего эдакционера-вулкана, магнетитовыми рудами Покровского рудного узла и габброродами Кызыльского массива. Оруденения относятся к различным генетическим типам: гидротермальному, жесткаково-метасоматическому, позднемагматическому и неясного генезиса.

Гидротермальный тип. Оруденения данного типа представлены местноколчеданными и местно-порфировыми рудами

ми. Валенторское (II-3-I) промышленное месторождение медно-никелевых руд расположено в 20 км к западу от г. Карпинска. Открыто в 1958 году [137]. В геологическом строении месторождения существует вулканогенные породы лландоверийского возраста контрастной формации: дивбазы, сплайты, андезито-дацитовые, дацитовые порфириты, липарито-дацитовые порфириты и их циркон-литическая разности. Оруденение расположается в прелелях Валенторской вулкано-тектонической депрессионной структуры и приурочено к зоне субмеридионального тектонического нарушения, насыщенного экструзиями и лавовыми кислого, среднего и основного состава [8]. В депрессионной структуре по характеру магнитного поля и пачкам положительных гравиметрических аномалий (до 0,5 мГц) выделяются несколько кальдер [125]. Рудные залежи на протяжении трех километров локализуются на сопряженных диагональных и субширотных нарушениях, имеет форму неправильных линз, вытянутых вдоль нарушений. Их размеры по падению (до 200 м) преобходят размеры по простиранию (до 50–60 м) [86, 166]. Всего выделено до 40 рудных тел, различных по размерам, условиям залегания, интенсивности оруденения. Наиболее крупные и богатые рудные тела встречаются в неравномерно окварцованных и серпентизированных альбитофирах на контакте с темнотизированными породами. Так, для рудного тела № I: средняя мощность 7,7 м; среднее содержание Cu 5,38%, Zn 4,09 [136]. Руды окраинные, по составу цинковые и медно-цинковые.

Минеральный состав типичный для колчеданных месторождений Урала: пирит, халькопирит, сфalerит, борнит, сопутствующие: гранит, арсенопирит, золото, серебро, кадмий, селен и другие [136]. Средние содержания по месторождению, %: Cu 2,57, Zn 2,91, S 16,86. Балансовые запасы, подсчитанные по 15 рудным телам по категории С₁ (в тыс.т): меди 30,49, цинка 34,56, серы 200,24; по категории С₂ (тыс.т): меди 7,66; цинка 8,09; серы 65,52. Имеются запасы золота, серебра, подсчитанные по категории С₂, а также редких и рассеянных элементов. Месторождение является мелким, учтено на балансе Красноуральского комбината как резервное. В результате комплексных поисковых работ несомненный интерес представляет северный и восточный фланги рудного поля, где породы рудно-составной контрастной формации погружаются под отложения юго-западной (андезитовой) формации [87, 90, 114, 125].

Проявление Галкинское (III-4-3) находится в геологической обстановке, аналогичной Валенторскому месторождению. Расположено на левом берегу р. Галки, в 1,5 км выше устья. Зоны проявления на ландоверийской (примущественно цинково-халько-вулканогенной) минерализации связаны с мегасоматической изменением породами ландоверийского возраста [115, 158, 167], которые слагают Галкинскую вулкано-тектоническую структуру. Средние содержания, %: Cu 0,2, Zn 3,5, Pb 1,5. Имеется ориентировочные запасы по одной из рудных зон [137], но особых перспектив не ожидается.

Главные факторы межноколчеданного оруденения следующие: пренапластичность разрезов к продуктивной контрастной формации, к региональным зонам проницаемости, масштабность развития кислотного вулканизма и проявления гидротермального процесса, пророченность к бортовым частям депрессионных вулканоструктур (Валенторской, Галкинской), где можно ожидать видоизменение, протяженные будолокализующие литеолито-структурные экраны и флексуры ловушек [32].

В вулканогенных породах непрерывной андезитовой формации позднего ландоверия-вендока в северо-восточной части листа залегают пачки минерализации медных руд: участок Антипинский (I-4-7), Пшено-Антипинский (I-4-8). Рудная минерализация вкраленная, халькопирит-пиритовая, наблюдается в гидротермально измененных породах: оквардованных и серпентитизированных, где содержания меди 0,68%, кобальта 0,29%, серы 33% [86, II-3, 166, 167].

Среди вулканогенных и вулканогенно-осадочных отложений ранне-вендурийского возраста (S₁-3-V₂) известно проявление Семеновский рудник (II-3-II), расположенного в южной части листа. Рудник открыт в ХIII веке, эксплуатация проводилась шестью шахтами, здесь же имелись медеплавильные печи. Наиболее крупная застаха Ново-Григорьевская. Рудные тела представлены брекчиями порфиритов, спементированными кальцитом, рече кварцем. Мощность рудных тел от 0,08 до 15 м. Наиболее крупное бурное тело простирается 800 м и имеет субширотное простирание и икное падение 40–50° [78, 157]. Халькопирит и пирит образуют гнесда, также халькопиритное оруденение в кальците и в пирите: отмечается залегание бурных рабов шести скважин глубиной до 200 м подошв-

III рудное тело, среднее содержание меди составляет 3,13%, отмечается повышенное содержание золота [78]. Пробами анализа золота штарт установлено максимальное содержание золота 32,7 г/т [87, 166]. Комплексное оруднение представляет полой интерес.

Пункт минерализации Антидимонский (II-3-7) месторождения Исааковского дюда расположен в северо-западной части Баланевско-Исааковского дигорского массива, где выявлены связи геохимических и геофизических аномалий с минерализованными зонами. Содержание меди по результатам химического анализа достигает 1,32% [86, 87]. Минералогический состав: пирит, халькопирит, единичные зерна молибдита. Оруднение промышленного значения не имеет.

Контактово-метаматический и II тип. Проявление Княжинской медной разведка (I-3-3) находится в южной части разреза 12-й км, представлено несколькоими заброшенными шахтами и их отвалами. Проводилась добьча руды в 60-х и 70-х годах ХХ века, конкретных сведений не сохранилось. Оруднение приведено к гнейсобразным местам телам (до 20 м мощности) гранат-епидот-кварцевых скарнов среди ороговикованных вейбуэлов и их туфов раннего силура, разбросаных в северной приконтактовой части Княжинского массива. Первичные рудные минералы: пирит, халькопирит, халькоzin, малинит, содержание меди достигает 4% [14, 167]. Проявление изучено до глубины 150 м.

В северо-западной приконтактовой части Княжинского массива известно проявление Постниковский второй рудник (I-3-1). Аналогичное вышеописанному, с содержанием меди до 1,6% [144]. Сведений о добьче не сохранилось. Оба проявления интереса для дальнейших поисков не представляют.

Позднемагматический II тип. Проявление Серебрянский рудник 7 (Ш-2-10) и несколько пунктов минерализации магно-титаномагнетитового оруднения связаны с габбро-диами, слагающими горы Серебрянские Камень и Блюзий Узел. В XIII-XV вв. на Серебрянском Камне существовало несколько гудников, в которых разрабатывались незначительные по величине участки в габбро, обогащенные сульфидами, содержание меди в руде составляет 1,5-2% [35, 36, 142].

Проявление Серебрянский рудник 7 находится в 3 км к югу от главной вершины, на западном склоне этого отрога. Представляет собой естественную в склоне размером 10x45 м. Разработана

лисъ шлаки горноделчиков мощностью от нескольких до 20 см, прослеживающиеся на 2,5 м, преимущественно оббито к эмбобой-пироксеновым габбро с выраженным халькопирита, борнита, магнетита. Общая мощность рудной зоны достигает 10 м, по простирации она прослеживается на 15 м. По данным химических анализов содержание Cu в рудах составляет от 0,64 до 3,13%, Fe от 0,020 до 0,030% [103].

Оруднение данного типа рассматривают как полигенное, при котором титаномагнетитовое оруднение является позднемагматическим, а сульфидное – эпимагматическим, гидротермальным [22]. Промышленного значения медносульфидный тип не имеет, что отмечалось прежними исследователями [103] и подтверждается комплексными поисковыми работами последних лет [89, 128].

Среди эмбобойников, образующих Китайский массив, наблюдается мелкая супидная акропеленность, либо линзовидные скопления (1-2,5 см) пирита, халькопирита и борнита. Содержание меди невысокое: в пустые минерализации пос. Катышер (Ш-2-15), в одном километре ВСВ пос. Катышер в скважинах картировочного бурения определено содержание Cu 0,11% [101]; в пункте минерализации горы Белая (Ш-3-2) до 0,14% [154]. Сульфидная минерализация в эмбобойниках заслуживает серьезного внимания, хотя генезис ее окончательно не установлен.

Синек.

В северо-западной части площади выделен единственный пункт минерализации синекии Ольянский (I-2-7) на левом берегу р. Ольян. Среди метаморфизованных вулканогенно-осадочных отложений синекии встречен кварцевый прожилок с галенитом мощностью 3 см, протяженностью 1 м [98]. Вскрышность мономинеральная, усугублен промышленного интереса не представляет.

Алиминий

В пределах описываемой площади располагается один промышленное месторождение бокситов – Галкинское I (Ш-4-5), лежа привязано к четырем пункта минерализации. Все они, исключая три пункта минерализации, связанны с Западной (субгорской) зоной Галкинского района. Наиболее южный западное крыло Известняков Калыкского яблока [3], слагающих западную часть Ильинской мегасинклинии. Бокситы залегают, главным образом, на развитой зональностью поверхности известников ложков, в от-

дельных случаях горизонт бокситов располагается несколько выше подошвы нижнеильцеских отложений (в терригенно-осадочных образованиях карпинского горизонта). Кровли бокситов ровные, представлены битуминозными известняками и мергелями с фауной карпинского горизонта нижнего яйла. Предпринимаются попытки выделить несколько бокситовых горизонтов, по комплексам фауны, в их числе болгословский, отмечаемый на месторождении Талицкое I и проявления Болгословское I (П-4-9) [8], но такой вариант некоторые исследователи считают малобоснованным [3].

Рудные тела подразделяются на два подгоризонта: нижний подгоризонт красных и верхний – зеленовато-серых пестропетреных. Грунт. Основную промышленную ценность представляют первые из них. В пределах бокситоносной подсеки развита надвиг, а также кругопадающие склоны и взбросы с амплитудами смещения до 200–400 м, субширотного и субмеридионального направлений, слукающие, как правило, границами месторождений или участков [8]. Месторождение Талицкое I расположено вблизи восточной рамки описываемого листа, в нижнем течении р.Талицы. Открыто в 1940 году А.К.Гладковским. С севера и юга оно ограничено тектоническими нарушениями типа сбросов, с запада – Кутуловско-Коноваловским разломом. Рудный горизонт представлен отдельными линзами на закарстованной поверхности светло-серых известняков. Мощность линз различна: от 0,1 до 8,7 м [9]. В кровле – темно-серые амфиболированные известняки, иногда с темно-серыми глинистыми сланцами. Боксит красный каменистый обломочно-обогащенный бемит-глаукониевый. Химический состав руд. %: Al₂O₃ 47,5–57,8; SiO₂ 13,1–13,7; Fe₂O₃ 14,6–25,3 [69].

Месторождение мелкое, отработано карьерами до уровня грунтовых вод в 1984 году. В результате поисковых работ залежи красных марких и каменистых немарких бокситов (мощностью от 2 до 6,5 м), вымытые ниже грунтовых вод [69]. Имеет малые запасы и отработке не подлежат.

Произведение Болгословское I расположено в 3,5 км юго-западнее г.Карпинска. В результате многочисленных исследований [69, 154, 162, 170] выявленные бокситовые пласты имеют малые запасы и промышленного значения не имеют.

К югу от месторождения Талицкое I рудный горизонт бокситов постепенно выклинивается и в пункте минерализации Шайтанское (П-4-2) боксит представлен лишь серой пиритизированной мел-

кообломочной каменистой разновидностью [162, 170]. О генезисе палеоводных бокситов существует много противоречивых гипотез [8], но наиболее убедительной представляется гипотеза лагеритно-осадочного происхождения.

Пункты минерализации бокситов, связанные с пестропетреными отложениями грунтового возраста, известны в пределах Богословско-Веселовской депрессии: Богословский участок (П-4-5), Олховский участок (П-4-7), Веселовский участок (П-4-11). Они характеризуются наличием мелких линз бокситов, установленных в прибрежных частях Богословско-Веселовской депрессии [26]. Бокситы приурочены к ичзам пестропетреных отложений. Залегают они на вийельских известняках, реже отделены от них слоем пестропетренных глин (0,5–2,0 м), перекрывают бокситы утлененные осадки глины. Строение рудных тел сложное, наблюдается перемежаемость бокситов, аллитов, сиддитов, утлененных пород. Мощность изменяется от 1 до 6 м (на Богословском участке) и 1,6 до 22,2 м (на Олховском участке). Пресобладают бобово-обломочные бокситы, по составу – гидросидитовые со значительным количеством каолинита и хлорита, низкого качества, марка Б-6, Б-5, рече Б-2.

Бокситы образовались осадочным путем за счет лагеритовой выветривания. Запасы бокситов малы, содержание глинозема 42,6%, крахнезема 12,8%. Промышленного интереса не представляет.

Благородные металлы Золото

Месторождений коренного золота на описываемой территории нет, выделено одно проявление и несколько пунктов минерализации. Российские месторождения золота по многочисленным мелким притокам и долинам рр.Лобны, Кушвы, Бол. и Мал.Косьмы и известны с прошлого столетия (1850 г. – открытие золотопромышленника П.И. на р.Мал.Гальца). Эксплуатировались золотопромышленники в старательями преимущественно ручным способом. Систематические разведочные работы на россыпное золото развернулись с 1928 года [94]. В настоящее время в районе утено 17 промышленных и 11 непромышленных золотых россыпей.

В описываемом районе установлены следующие типы золоторудной минерализации: золото-сульфидная и золото-сульфидно-квар-

цевая минерализация метаморфогенно-гидротермального типа, связанная с терригенными и вулканогенно-осадочными образованиеми эндоинтактической области (тельпосская, выиская, хомасьинская и польинская скамы). Содержания золота в супидилло-кварцевых жилах менее 1 г/т [153], максимальные отмечены в пунктах минерализации: Киршилское (I-I-2) - 4 г/т, гора Пеленя (I-2-5) - 3 г/т [52]. В метаморфических скамиях среднего-позднего ордовика с обильной сульфидной вкрапленностью также отмечается низкие содержания коренного золота (до 0,3 г/т) в пунктах минерализации: Рябиновый Узел (II-2-I) и Бобровский (II-I-4) [96, 161].

ского массива, где она приурочена к серии даек габброрибазов и кварцевых жил. Проявление Кушвинская жила (ГУ-3-5), расположено в северной части вышеупомянутого массива, представляет собой старый рудник, где в 1901 г. проводились добывающие работы на кварцевых флюсах, с 1904-1912 гг. - разведочные работы на коренное золото [57]. Кварцевая золотосодержащая жила имеет широкое простиранье, мощность 8-9 м (в карьере) и членкообразную форму. Содержание золота в гуще по фабричному извлечению составило 0,5-1,3 г/т. В результате ревизионного опробования отвалов содержание золота установлено от 0,1 до 16,6 г/т, серебра до 37,4 г/т [87, 166]. Первостепенных работ проявление не заслуживает.

Золотоносная минерализация, связанная с дунитами Косынин-
ско-Киренской зоной, представлена цинком минерализации Косынинского
района. Предполагается, что золотоносность дунитов связана с зонами
поглощений и гасьброс-перегратах Серебрянского массива ($10 \text{--} 9,3 \text{ г/т}$).
[66].

Российские месторождения золота изучены или по разным причинам заброшены, за исключением одного месторождения р. Олены (Г-2-Г), которое разведано и передано промышленности. По времени образования россыпи четвертичные, принадлежащие к современным ложкам, долинам, побережьям рек и первым напойманным террасам.

Месторождение Р.Олея расположено на севере описываемой площади, является частью Багранского месторождения россыпного

золота, которое находится на слизиеном к северу листе [II]. Золото приурочено к долинным аллювиальным отложениям. Протяженность на описываемом листе составляет около 2 км. Ширина россыпи 70 м, мощность рыхлых отложений 2-3 м. Содержание золота более 200 мг/м³ [53, 167]. Отработка месторождения будет продолжаться драгой.

Остальные россыпи золота изучены слабо, эксплуатировались до 1917 года, добыча составила 1-2 кг в год, либо сведения о добыче совсем отсутствуют. Протяженность таких россыпей мала: 0,5-1,0 км. По месторождению Р.Малая Талия (III-4-2) добыча составила 50 кг, протяженность 0,8 км [146].

Платина
Коренная платина отмечается в Китайском массиве, связана с дунитами Конжаковского и Косьвинского Камня. Выделено два проявления и несколько пунктов минерализации. Промышленных месторождений коренной платины нет.
Среди россыпных месторождений в районе ученено: 9 платино-ых и 6 золото-платиновых промышленных россыпей и две непромышленные. Эксплуатируется одно месторождение — Лобвинско-Лытлинская (Ш-Л-9) платиновая россыпь.

К о р е н на я . Платина в дунитах приурочена к шлифовидным скоплениям хромшипиллитов. Максимальная величина ширины 6240 см [166]. Содержание платины по архивным данным от 0,5

[95, 132, 146]. Для проявления Конаковский камень [95, 132, 146] имеется авторский подсчет (Ш-1-3) и Косынинское Плечно (Ш-1-13) имеется авторский подсчет (Ш-1-3). Для проявления Конаковский камень имеется авторский подсчет (Ш-1-3) и Косынинское Плечно (Ш-1-13) имеется авторский подсчет (Ш-1-3). Для проявления Конаковский камень имеется авторский подсчет (Ш-1-3) и Косынинское Плечно (Ш-1-13) имеется авторский подсчет (Ш-1-3). Но ввиду низкого содержания и слабого обоснования глубины подсчета запасов проявления платин сегодня промышленного значения не имеет.

Ф О С И Л И А Н И Ч Е С КИЕ
Л О Б Я Н С К О - К А Т Л Й С К И Е Р О С С Ь І Й
П Р О Д О Б Н О І С Т О Р И Й С К И Й С Т В О
П Р О П А Г А Н А
С О В Е Т С К И Й С Т В О
С О В Е Т С К И Й С Т В О

[73, I-46]. В наименее время участок россыпи по р.Лобзе, расположенный в 1,5 км ниже р.Китыли, интенсивно переработан драгами и терраса в своем первичном состоянии почти не наблюдается. Высота поймы над современным грунтом 0,8–2,0 м, общая мощность отложений высокой поймы 17–20 м [94].

Металлоносный пласт ("пески"), состоящий из гальки, обло – монного материала местных пород, гла и глины, имеет мощность 0,5–2,0 м. В верхней части россыпи (р.Северный Китыль), где ширина долины 400–450 м, строение более сложное: в ее 15 – 20 метровой толще наблюдается два металлоносных пластина в залегающей всей толщи пластины. Содержание пластины в отдельных блоках около 100 мг/м³ [164]. В нижнем участке россыпи по р.Лобзе отмечается золото до 3%, на р. Сев.Китыль – 2,74% [146]. Россыпь образовалась за счет размыва платиноносных дунитов и горы выветривания Косьвинского Плеча по логам Единской, Ободордской и Половской. В настоящее время по р.Лобзе вверх поднимается драга, которая перерабатывает в основном ранее отработанные россыпи.

Из смешанных россыпей наибольшее значение имеет месторождение р.Мал.Косьва (ГУ-I-I). Оно располагается в аллювиальных отложениях, плотином для которых являются китыльские кольчакинско-холмогорской свит. Мощность раках отложений талько-платиновой свиты. Мощность раках отложений колеблется от 1 до 8 м. Металл приурочен к прещилотниковым галечникам, среднее содержание платина по россыпи 106 мг/м³ [94]. Примесь золота от 1,5 до 5%. За период 1891–1918 гг. добыто около 450 тг платины. С 1950 г. россыпь эксплуатируется драгой, в данное время добываются в нижнем течении реки, на смееком к западу листе. Месторождение относится к россыпям типа "б" группы 2. Запасы, подсчитанные по категории С₁, обеспечивают работу драги на несколько лет.

Извещение о геологических отложениях талько-платиновых россыпей

Металл приурочен к прещилотниковым галечникам, среднее содержание платина по россыпи 106 мг/м³ [94]. Примесь золота от 1,5 до 5%. За период 1891–1918 гг. добыто около 450 тг платины. С 1950 г. россыпь эксплуатируется драгой, в данное время добываются в нижнем течении реки, на смееком к западу листе. Месторождение относится к россыпям типа "б" группы 2. Запасы, подсчитанные по категории С₁, обеспечивают работу драги на несколько лет.

Извещение о геологических отложениях материала строительного и дорожного назначения

Анортозиты

Известны два непромышленных месторождения анортозитов, которые могут послужить сырьем для стекольной промышленности: Серебрянский Камень (Ш-2-7) и Казенский Камень (Ш-2-18). Здесь

проводены исследования анортозитодержащих пород (анортитовые габбро, габбро-пегматиты и анортозиты), суммарная площадь которых около 45 км² [22]. Содержание анортита составляет около 50%, на некоторых участках оно достигает 90–95%. Анортозит наблюдается в виде линзо-и хлебообразных прослоев мощностью не более 3 метров. Химический состав колеблется незначительно: %: Al₂O₃ 33,8–35,5; SiO₂ 44,8–46,8; CaO 16,6–17,9. В 1971 г. Гусевским филиалом ГИС дано заключение о том, что анортитовый концентрат и анортозит пригодны для производства тары – кого стекла марки № ГЭВ и тарного стекла. Таким образом, исключается потребность в дорогостоящем синтетическом глиноzemе, получаемом из боксита. Для выяснения целесообразности использования анортитового сырья на действующих предприятиях необходимо провести промышленные испытания в печах с выработкой изде-

лий [104].

Ценность месторождений анортозитов повышается с учетом возможности использования его в качестве стеклосмазочного сырья для прессования изделий из сплавов (CuCd) и (ЭП-220) в смеси с 10% красного шпона. Экспериментальные исследования проведены на НИИЧерметом [106]. Открытие на Северном Урале больших запасов анортита может значительно расширить сырьевую базу нефурного сырья.

Дуниты

Иловское месторождение (Ш-1-4) слабо серпентинизированных дунитов находится в северо-западной части Кытлымского массива. Дунитовое тело среди пироксенитов Конжаковского Камня на поверхности достигает около 1,5 км в поперечнике, видимая мощность в восточной части тела около 300 м. Предполагается, что вертикальные размеры дунитового тела больше горизонтальных. Дунит состоит из прозрачного оливина (более 90%), серпентина и примеси хромита. Породы высокомагнезиальные и отнюдь не (11770°C); степень серпентинизации низкая 10–15% (п.п.п. 1,2%).

Средние величины: сумма содержаний Fe₂O₃+FeO 10%, MgO + SiO₂ 86,3%, содержание MgO 47,6% [20]. Установлено повышение содержания F₂ до 0,27 г/т, Cr₂O₃ до 2,20%, Ni до 0,57, Co до 0,069 [17]. Лабораторными исследованиями, технологическими испытаниями на Череповецком металлургическом заводе установлено: Иловские дуниты являются высококачественным оgneупорным си-

длительноспасным сырьем для производства теплоизоляционных вкладышей, форстетитовых бороздковых отверстий и форникотных сажей. Детальная разведка месторождения проведена до глубины 100 м для отработки открытым способом. Балансовые запасы полунгов Иловского месторождения утверждены в ГКЗ ССР по сос-тоянью на 1/1 1985 г. по категории В+С₁ 100,44 млн.т [17].

Одновременно доказана полутная отважка вскрытых пород и некондиционных дунитов как сырья для производства строительного камня. Гидрогеологические и инженерно-геологические условия благоприятные. Месторождение подготовлено для дромашен-ного освоения.

Глинистые породы

Глины карпичные

Карпинское (Госпитальное) месторождение (П-4-8) карпичных глин расположено на юго-западной окраине г. Карпинска, на левом берегу р. Госпитальной. Продуктивная толща прокрученна к долине реки, сложена красновато-бурыми глинами, суглинками с залегающими галек. Имеет пластообразную форму залегания. Высота отложений четвертичный, мощность изменяется от 0,9 до 6 м [15]. Месторождение эксплуатируется мало, запасы на 1/1 1985 г. по категории А+В+С₁ 653 тыс.м³ [143].

Сланцы кремнисто-глинистые

Туринский карьер (П-4-6) — месторождение строительного камня (кремнисто-глинистые сланцы нижнедевонского возрас-та) — находится в 4 км западнее г. Карпинска. Разрабатывается карьером, залежи щебня не утверждены, но добча производится ежегодно до 40–45 тыс.м³ [143]. Добень используется для облицовки келезнодорожных путей и ремонта автодорог мест-ного значения.

ПОДЗЕМНЫЕ ВОДЫ

Описаный район расположен в пределах Уральской системы бассейнов грунтовых вод зон трещиноватости, для которой в целом характерны прокрученность подземных вод к зонам логальной и региональной трещиноватости пород, отсутствие вертикальной гидрогеометрической зональности, гидравлическая связь горизонтов и комплексов, их безнапорный характер, различенность на не-

большие водоносные бассейны, высокие темпы водообмена и пре-обладание гидрокарбонатных пресных вод [9]. Северо-западная часть района относится к бассейну зон трещиноватости в поро-дах протерозоя Центрально-Уральского поднятия западного скло-на Урала, западная, центральная и восточная — в породах ник-него и среднего палеозоя Тагильско-Магнитогорского прогиба восточного склона Урала (рис.7). Первой характерна прокручен-ность к водораздельной полосе горного Урала. Открытость гид-рогеологических структур, интенсивность водообмена и большое количество атмосферных осадков, питавших подземные воды, опре-деляют повсеместное развитие пресных гидрокарбонатных вод. Для вторых, где развиты преимущественно интузивные и вулканоген-ные породы, характерна малая глубина (30–80 м) региональной трещиноватости пород, колматация трещин глинистыми продукта-ми выветривания и, как следствие, небольшая водообильность по-род (за исключением карбонатных). Здесь важную роль в распре-делении стока подземных вод играют многочисленные контакты различных литологических разностей пород и тектонические на-рушения. Питание водносных комплексов идет также за счет ат-мосферных осадков и перетока подземных вод Центрально-Ураль-ского поднятия.

Общее направление подземного потока восточное и лишь на се-веро-западе и юго-западе — западное; дренажуется подземным стоком со-западной сетью. Среднемноголетний модуль подземного стока со-ставляет около 2 л/с.км².

В пределах листа выделяются следующие типы подземных вод:

- 1) трещинного типа осадочных и вулканогенных пород верхнего протерозоя, ордовика, силура, девона, триаса и интузивных по-род; 2) трещинно-карстового типа; 3) поровые подземные воды аллювиальных рек.

Подземные воды трещинного типа

Степень водоносности верхнериейских отложений, разбитых за северо-западе, весьма незначительна; она повышается лишь в зонах тектонических разломов. Подземные воды этого комплекса относятся к типу гидрокарбонатно-кальциево-магниевых вод с значительной степенью минерализации (от 30 до 94 мг/л). Об-щая жесткость 0,30–1,16 мг/л. Характерный химический состав подземных вод [10, 88] :

$\text{HCO}_3^{\text{3}}\text{SO}_4^{\text{4}}$

M_{0,09} Ca 53 Mg 31 Na 16

Содержание фтора колеблется от 0,02 до 0,1 мг/л. Железо обнаружено в единичных проках в количестве 0,1-0,2 мг/л.

Подземные воды вулканогенно-метаморфических толщ ордовика относятся к типу пресных гидрокарбонатно-кальциевых с минерализацией от 28 до 120 мг/л. Общая жесткость изменяется от 0,29 до 1,45 мг/экв. Содержание фтора не превышает 0,18 мг/л. Характерный химический состав подземных вод:

$\text{HCO}_3^{\text{3}}\text{SO}_4^{\text{4}}\text{Cl}^{\text{-}}$

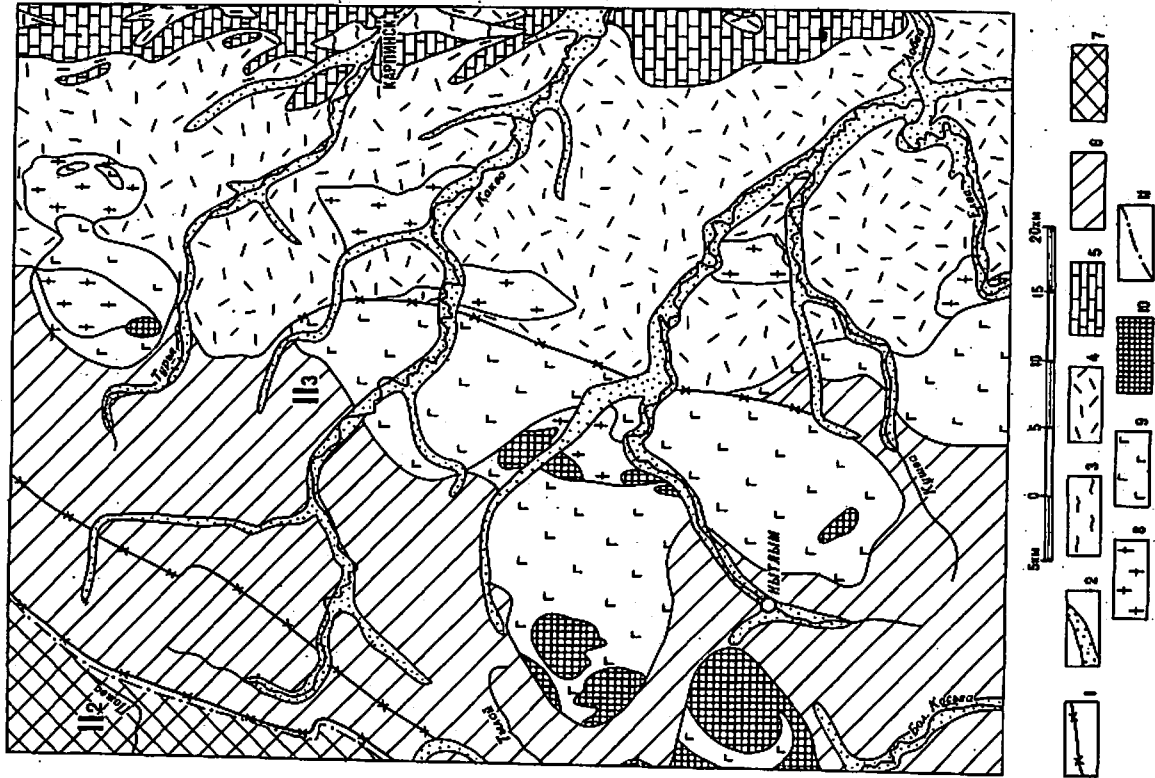
M_{0,15} Ca 55 Na + K 29 Mg 15

Водообильность олдурийских, девонских и третасовых вулканогенных, вулканогенно-осадочных и осадочных образований восточной части района определяется степенью и глубиной трещиноватости и гипсометрическим положением. По химическому составу воды относятся к типу пресных гидрокарбонатных с минерализацией 50-204 мг/л. Общая жесткость 0,6-2,03 мг/экв. Химический состав:

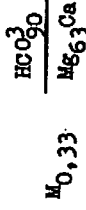
HCO_3^{3}
M_{0,06} Ca 58 Mg 33

На участках с повышенной сульфидной окрашенностью донных солеружий сульфатов: Содержание фтора 0,06-0,36 мг/л. Степень водонасыщенности интуитивных пород (диоритов, пироксенитов, габбро, диоритов и т.п.) неизвестельна. Повышенной водобельностью характеризуются контактные зоны массивов и тектонических нарушений внутри последних. По типу вод для основных и ультраосновных пород характерны магниево-кальциевые и

гидрогенотитовые районы второго порядка: II - бассейн грунтовых вод зон трещиноватости Центрально-Уральского поднятия, III - бассейн грунтовых вод зон трещиноватости Таганьско-Магнитогорского метасланцевого комплекса; I - водобельные зоны тектонических нарушений; 2-10 - водородные комплексы: 2 - четвертичных аллювиальных отложений; 3 - аргиллитов, алевролитов, песчаников транс; 4 - вулканогенных отложений сапропелитов; 5 - карбонатных отложений склонов гор; 6 - эпигенетических глин толщи ордовика; 7 - терригенных отложений верхнего пермия; 8 - столовых глин толщи ордовика; 9 - габбро; 10 - магнитов и пироксенитов. II - граница гидрогенотитовых районов.

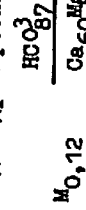


магниевый состав вод, для кислых - кальциево-натровый. Минерализация может достигать 370 мг/л; общая жесткость в пределах от 1,6 до 4,83 мг/экв. Характерный химический состав:



Подземные воды трещинно-жарствового типа

Подземные воды этого типа связаны с карбонатными породами силура и девона, прокрученными к восточной части района. Участками известняки интенсивно закарстованы; глубина карстообразования достигает 350 м. Прослои некарбонатных пород служат своеобразными барьерами, направляющими подземный поток. Химический состав вод гидрокарбонатно-хальцедоний:



Общая жесткость 2,29-7,6 мг/экв. Содержание железа не более 0,5 мг/л, фтора 0,4-0,06 мг/л.

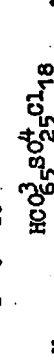
Поровые подземные воды аллювиальных отложений

Этот тип подземных вод прокручен к долинам рек; мощность водноносных отложений достигает 15 м. Продуктивные песчаные, лесчано-гравийные и галечные отложения в различной степени загнивания, что определяет большую изменчивость их коллекторских свойств. Коеффициент фильтрации варьирует в пределах 0,1-35,0 м/сут; минерализация вод колеблется от 0,1 до 0,3 г/л. Солевой состав зависит от химического состава подземных вод смежных комплексов, участвующих в питании наряду с атмосферными осадками. Обично они являются гидрокарбонатно-хальцедоновыми.

Водоснабжение г.Карпинска осуществляется за счет Лапчинского и Северо-Лапчинского водоизборных участков, расположенных соответственно в 2-х и 4-х км севернее г.Карпинска и Северо-Восточного дренажного узла на восточном берегу Богословского яйлового разреза [10].

Для удовлетворения потребности в воде разведано Вагранское месторождение подземных вод, расположенное в 25 км севернее г.Карпинска на сопредельном с севера листе № 675

городище приурочено к интенсивно закарстованым известнякам нижнего лужкова, мощность которых до 300 м. Тип водозора - инфильтрационно-регулирующий [11,109]. Химический состав вод:



Са_50 №20 №18

Утвержденные запасы по категориям А+В, составляющие 48,8 тыс.м³/сут. практически могут полностью удовлетворить перспективные потребности в хозяйственно-питьевой воде расположенных в зоне промышленного узла г.Карпинска населенных пунктов и предприятий.

ОПЕНИКА ПЕРЕКТИВ РАЙОНА

В описываемом районе перспективы открытия новых месторождений и увеличения запасов полезных ископаемых на известных месторождениях имеются по бурому углю, торфу, глиноземититовым и медным рудам, золоту, платине, оgneупорным и строительным материалам.

Наличие достаточных ресурсов минерального и энергетическо-го сырья предопределили развитие крупного промышленного центра - г.Карпинска с горнодобывающими и перерабатывающими пред-приятиями, расположенным в близлежащих поселках. В настоящее время эксплуатируются следующие месторождения: Богословское (бурый уголь), Турийский карьер (шебень), Карпинское (глины щиритичные), Лобянско-Китайская россыль (платина, золото). Задготовлены к промышленному освоению: Валенторское месторождение медноколчеданных руд и Июстское месторождение -жунитов. Чессторождения бурого угля разведаны до глубины 150-190 м, ме-ноголедянных руд до 300-400 м с отдельными скважинами до 625м. Изророждения железных руд до 100-150 м, за исключением одно-зых скважин до 500 м, месторождение сокситов до 200 м, место-рождение пуншитов до 100 м, за исключением единичных скважин глубиной до 500 м.

Согласно схеме металлогенического районирования, составленной на базе анализа геологических и структурных особенностей большой территории [35] и с учетом работ Г.А.Большун (1983г.), З.А.Сидорикова, В.Н.Храпова, В.С.Щуга (1983 г.), А.М.Сухоруко-ва (1983 г.), Е.С.Контаря (1981 г.), в пределах листа выделены 6 рудных зон (рис.8): Суринско-Промысловская золоторуд-

ная, Чистопольско-Ревдинская и Городлагодатско-Локровская желе-
зогубные, Тарнъерско-Валентинская меднорудная, Волганско-Бо-
голосовская угольная, Западная (сторожевская) бокситоносная. Пере-
вая входит в Центрально-Уральскую, остальные — в Тагилло-Бай-
макскую металлогеническую зону, выделенные соответственно в
пределах Центрально-Уральского поднятия и Тагильско-Магнито-
горского прогиба [35]. Ниже приводятся перспективы в прете-
лак листа по разным группам полезных ископаемых.

Българска

В восточной части листа в Волчанско-Богодловской угленосной зоне выделена Богодловско-Веселовская перспективная площадь П. очарела, где известно два месторождения бурого угля: Богодловское и Веселовское. Первое месторождение отрабатывается углеразрезом "Даний", второе частично отработано и находится на консервации; оставшиеся запасы по категориям А+В+С₁ составляют 8,4 млн.т.

На линии фланга Богословского месторождения возможен прирост запасов за счет разведываемого Ольховского участка, где прогнозные ресурсы определены в 5 млн.т до глубины 150 м. Для открытой отработки скважинами западная часть участка, где пласты угля рабочей мощности залегают близко к поверхности.

суммарная мощность месторождения возможен прирост запасов за счет открытой добычи на Ежно-Веселовском участке, где прогнозные ресурсы составляют 1 млн. т по глубине 70 м. Оценка прогнозных ресурсов проведена обследованием "Уралгеологии", утверждена в Министерстве геологии РСФСР на

Гудовские зоны: I - золотогорная Сурганско-Промысловская; жалюзийные: II - Чистохово-Редищевская, III - Городлаголакто-Покровская, IV - медногорная Тарынь-Ерзовско-Балагиторская, V - угляная Волжанско-Богатырская, VI - доказано-лонская заливная; VII - Покровская жалюзийный уезд. I - границы гудовских зон; 2 - границы жалюзийного уезда; 3 - границы первопечинских поселений в их номера: Загорская (1^а), Комплексовая (1^б), Серебрянская (1^в), Восточно-Красногорская (1^г), Балакирская (1^д), Каханово-Лодзинская (1^е), Галковская (1^ж). Богословского-Веселовская (1^з); 4 - первопечинские поселения первого открытия; рекомендованы участки для постоянных поисковых работ (цифры в кругах): I - Р. Плещея, 2 - Ильинск., 3 - Пено-Конькаторовск., 4 - Серебрянск., 5 - Лозинска, 6 - Косьянское Пльето, 7 - рр. Фрязерий и Красной Куртын., 8 - р. Мал. Косая, 9 - верховья Косаи, 10 - Ильно-Кислинская, 11 - Спасский, 12 - Заречно-Галковская, 13 - Сельское-Городническая, 14 - Ольховская, 15 - Ильно-Веселовский.

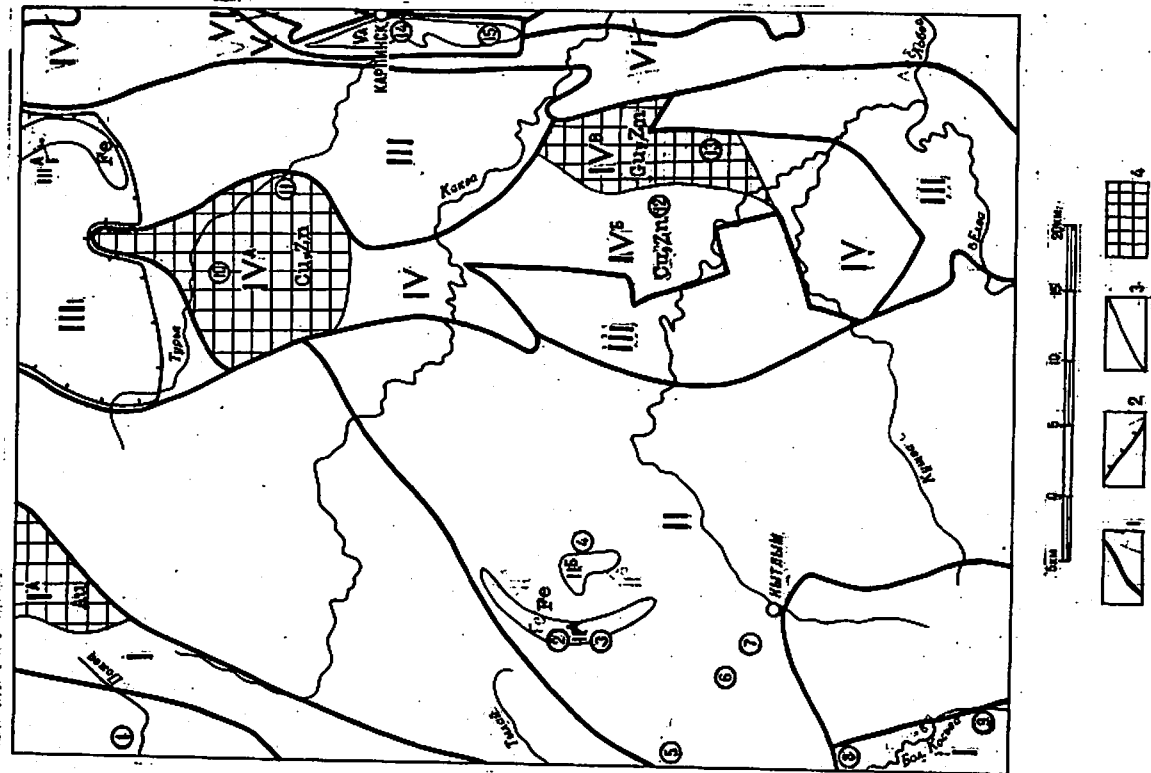


Рис.8. Схема противовод и рекомендации. Составлена Л.А.Шаковой по материалам Г.А.Большун, Е.С.Контари, П.С.Држаносова, Е.А.Сибирякова и А.И.Сухорукова.

I/УП 1983г. и откорректирована со старшими специалистами обединения на 1/1 1985 г.

Торф

Район располагает значительными ресурсами торфа. Разведано два месторождения с общими запасами 37,8 млн.т, которые вполне могут обеспечить потребность в дешевом энергетическом топливе промышленности и нужды сельского хозяйства.

Железо

В Гороблагодатско-Локровской железорудной зоне в пределах южной части Покровского рудного узла выделена Восточно-Князинская площадь, перспективная на выявление скарново-магнетитового оруденения [14]. Площадь включает восточную эндоконтактовую зону Князинского массива, длина ее по полукольцу 15-16 км, ширина 1-2 км. Здесь известно 2 проявления (Корыльевское и Алексеевское) с малыми запасами скарново-магнетитовых руд. Основания для выделения Восточно-Князинской площади: благоприятная геологическая обстановка (экзоконтактовая зона Князинского интрузивного массива с вулканогенно-осадочными образованиеями андезитовой формации), наличие Сосновской вулкano-тектонической структуры к юго-востоку от известных проявлений, наличие магнитных аномалий интенсивностью от 2 000 до 4 000 гамма, прокурорских к экзоконтактовой части массива. Автомобильные запасы руд по глубине 400-600 м составляют 50 млн.т [14]. Рекомендации виды поисковых работ: магнитная съемка масштаба 1:10 000, гравиметровая съемка масштаба 1:10 000, проходка интерпретационных профилей. МИП, МПШ, метод варианций, поисковое обрушение скважин до глубин 400-600 м. В Чистопольско-Ревдинской железорудной зоне выделяются: Конюховская площадь с участком Ильинско-Конюховским и в нее площади - участок Серебрянско-Ски, перспективные на титаномагнетитовое оруденение качканарского типа [89, Г34]. Конюховская площадь располагается в пределах Кытлымского массива параллельно разлому, разделяющему Тылый-Конюховскую и Серебрянскую структуры; она прослежена на протяжении 10 км при ширине до 600 м. Одробование выявлены титаномагнетитовые тела, которым отвечают магнитные аномалии до 19 000 гамм [89]. Наиболее богатые рудные тела тяготеют к участкам наложния титаномагнетитовой минерализации на измененные тыльянит и пироксенит. Содержания Fe(вал) 14-20%,

TiO₂ 0,6-1,3%, V₂O₅ 0,12-0,20%, Cr₂O₃ 0,02-0,08%, Cu до 0,1%. Рекомендуется буровые работы в южной части площади, где на участке Ильинско-Конюховском по выявленным магнитным аномалиям площадью 1,5 и 0,5 км² ожидаются наиболее компактные залежи титаномагнетитовых гуд с ориентировочными запасами около 1,5 млрд.т до глубины 200 м [Г34]. По современным требованиям эти запасы можно считать прогнозными ресурсами категории Р₃. Характер магнитного поля над гудными залежами Качканарского месторождения и на Ильинско-Конюховском участке практически одинаков. Целесообразно продолжение магнитной съемки масштаба 1:10 000 восточнее Конюховской площади с целью оценки перспектив на железныеруды Качканарского типа.

На Серебрянском участке, величина которого 2х4 км, в амфиболовых и амфибол-широконосовых габбро отмечается прожилково-складчатая минерализация титаномагнетита с содержанием железа от 9 до 20%. В пределах Косьминского камня также проводились геофизические работы с целью поисков ворпаленных железных руд качканарского типа. По данным магнитных съемок ориентированно определены запасы титаномагнетитовых руд в 2,1 млрд.т [97]. Авторы записки считают перспективы малообоснованными и участков для дальнейших работ не выделяют.

Медь

В Тарнъерско-Валенторской меднорудной зоне выделены следующие перспективные на месторудные руды площади: Валенторская, Кекинско-Лобянская, Талкинская. Тарнъерско-Валенторская зона в пределах листа представлена своим главным фрагментом, где широко развиты вулканогенные породы контрастной формации лланцузоверийского возраста, выполненные Валенторской и Талкинской вулкано-тектоническими структурами, и в меньшей степени - породы андезитовой формации.

На Валенторской площади известны Валенторское месторождение медноколчеданных руд, проявления мелистой, медисто-цинко-вой минерализации, а также выявлены зоны гидротермальной проработки пород, геохимические аномалии, совпадающие с комплексными геофизическими аномалиями [87, 90, Г23]. Характеры контрастные полиметаллические аномалии (КЗ до +40 при КМ 0,42)*. Более

* Коэффициенты минерализованности (КМ) и зональности (КЗ)

лее перспективными представляются северная и восточная части платоади с Канно-Княжеским и Симским участками. На последнем рекомендуется поисковое бурение до 500–900 м.

Канкинско-Лобинская перспективная площадь характеризуется развитием пород контрастной формации, однако, зоны метасоматитов с субдиапазонной минерализацией развиты незначительно. В средней части площади выделен Западно-Галкинский участок, где установлена генерализованная среднеконтрастная аномалия надрудного характера (КЭД-0,27, КМ 0,46), позволяющая предполагать наличие на небольших глубинах (50–150 м) колчеданных рудных тел [123, 129]. Здесь же выявлен ряд геофизических аномалий (ВИ более 4,5%), которые могут представлять интерес при проведении последующих работ [24].

Галкинская площадь, расположенная к югу от Галкинского Удодровья, характеризуется развилием участков гидротермальных потоков по вулканикам контрастной формации, наличием гравимагнитной зоны с локальными аномальными силами тяжести, интерпретируемых как куполовидные структуры, в обрамлении которых прослеживаются зоны электропроводности. В северной части площади встречаются на друльные элементы индикаторы колчеданного оруденения (КЭ от +0,27 до +0,50, КМ от 0,21 до 0,50); в южной половине концентрация их несколько ниже [123]. В южной части площади выделен Северо-Лобинский участок, где зафиксирована на продольном аномальной зоне поляризуемость локальная аномалия с двумя эпигенетическими интенсивностью 7% и 10%. Плотадные геофизические исследования в настоящее время продолжаются СУКГРЭ.

Баленторская и Галкинская площади являются первоочередными для постановки поисковых работ. Протозные ресурсы (P_3) до глубины 500 м для описанной зоны составляют 400 тыс.т меди (при среднем содержании 2%) и 600 тыс.т цинка (при среднем содержании 3%). Протозные ресурсы утверждены в Министерстве на 1/УП 1983 г. и откорректированы со старшими специалистами объединения "Уралгология" на 1/1 1985 г.

Перспективы на медно-титанорудное обогащение в районе старых будников Серебрянского Камня не изучается. В случае существенного уменьшения концентрации на медь здесь можно рекомендовать детализацию геохимических аномалий и прокерку их буровением до глубин 100–200 м [89, 128].

Алюминий

Поисково-разведочные работы в Карлинском районе ставились неоднократно. В Западной (сурговской) докситоносной зоне вдоль восточной границы листа были выявлены одно медное месторождение (Галицков I), два проявления и несколько пунктов минерализации. Отработка залежей бокситов открытым способом (до уровня грунтовых вод) на месторождении завершена в 1984 году. Оценка бокситогенности Карлинского района на начальную стадию месторождения бокситов отрицательная [91]. Район отличается сложностью тектонического строения, геологическая картина изучена. Но, учетная благоприятство экономическое положение, близость Богородского алмазного завода, здесь планируются работы на обнаружение небольших месторождений боксита на глубине до 300 м за пределами XII пятилетки [91].

Золото

В северной части листа в Сурганско-Промысловской золото-рудной зоне выделена Вагранская перспективная на коренное золото площадь первой очереди, приуроченная к углисто-карбонатным и углисто-карбонатным породам орловского возраста. Содержание золота колеблется от 0,1 до 4 г/т. На площади рекомендуется поисковые работы с комплексом опробования на коренное золото.

Перспективы на коренное золото имеются также в Тарнъерско-Валенторской меднорудной зоне и связанны с промысловыми колчеданными руд.

На россыпное золото выделено два перспективных участка: в верховье р.Ложки и в верховье р.Бол.Косьви и ее притоках – р.МалойКосьви и р.Пальничной. На первом рекомендуется поисковые работы с комплексом опробования [153], на втором – поисково-разведочные работы [164].

Платина

Два участка, перспективные на коренное платину, выделены в пределах дунитовых тел Конаковского Камня: Иловский и Косьвинское. Члечо. В результате тематических исследований рекомендуется детализационные работы: отбор проб из основных типов дунитов и зон обогащения хромитовыми шлирами и проведение залывового механического опробования в сочетании с флотацией

[III].

На россыпную плютику выделено три перспективных участка в юго-западной части листа: р.Логинка, пр.Северный и Дикий Кытлам, р.Мал.Косьва [94,164]. Разведочные работы для надежной оценки россыпей пр.Северного и Дикого Кытлама с притоками следует проводить трамеиным методом.

Строительные и отечественные материалы

Аноргозит рассматривается как новый вид высокоглиноземистого сырья, пригодного для производства термостойкого и кислотоупорного стекла № 1ЭВ, тарного стекла и в качестве минеральных смазок при прессовании высокопрочных сталей и сплавов. Анорат установлен в алмазовых и алмазобол-литроксенных габбро Серебрянского Камня. Он может использоваться как источник глиноэма [22,104,105]. Новое сырье прошло технологические испытания на лабораторном уровне в Гусевском филиале Института стекла и в Институте черных металлов им.Бардина. Запасы аноргита практически неограничены; в пределах Серебрянской площади возможна разработка без вскрытия работ.

Дуниты Иловского месторождения являются высококачественным отечественным сырьем для производства теплоизоляционных вкладышей, литейно-формовочных смесей и борстрикотовых изделий. Запасы месторождения могут быть увеличены на глубине, так как качество дунитов до глубины 500 м по данным опорной скважины остается постоянным.

Кварциты, слагающие Сенные Горы в северо-западном углу листа, ранее использовались как отечественный материал [96]. В настоящее время они могут быть применены в этих же целях.

Разнообразные горные породы (известняки, галечники, пески, гидротитичные глины, метагипсовинные и осадочно-вулканогенные образования) имеют в районе широкое развитие и по мере потребности в строительном и дорожном деле могут добываться открытым способом. Так, в частности, серпентинизированные дуниты Иловского тела могут быть использованы как бутовый камень (марки 800) при строительстве подземных путей к карьеру Иловского месторождения дунитов [171].

Подземные воды

Потребности населения и промышленности, сосредоточенной в районе Г.Карпинска, в питьевых и технических водах в настоя-

щее время удовлетворяются запасами Лапчинского и Северо-Лапчинского водозаборных участков и Северо-Восточного дренажного узла. Перспективные потребности района в будущем могут быть удовлетворены за счет Вагранского месторождения подземных вод, расположенного в 25 км севернее г.Карпинска: запасы последнего по категориям А+В составляют 48,8 м³/сут. [109].

ЛИТЕРАТУРА

Опубликованная

- I. Андронов С.М. Стратиграфия девонских отложений восточного склона Северного Урала. -ДАН СССР, т.144, № 1, 1962, с.193-196.
2. Баланс полезных ископаемых СССР на 1/1 1982 г. Торф. ч.1. Типовые разрезы. Гл. с. Авт.: М.Г.Бретвель, Н.Я.Антиген, И.А.Бретвель, Г.Г.Зенкова, В.С.Миличина, В.А.Насел-кина, Л.Г.Петрова, М.В.Шургина, Ф.Е.Янет.
3. Большун Г.А., Федоров Н.В. Закономерности строения бокситоносной формации восточного склона Северного Урала.-В книж. Геосинклинальные бокситоносные отложения Урала. -Тр. УНЦ АН СССР. Свердловск, вып.144, 1979, с. 29-41.
4. Воробьева О.А. О магматической природе платиноносного поля габбро-перидотитовой формации Урала. -Изв. АН СССР, сер. геол., № 7, 1961, с. 23-39.
5. Габбро-перидотит-пумитовый пояс Среднего Урала. -Тр.ИГЕМ АН СССР, 1962, вып.65. ЗИ9 с. Авт.: О.А.Ворообьева, Н.В.Самойлова, Е.В.Сешникова.
6. Геология и палеогеография западного склона Урала. Л. Недра, 1977. 199 с. Авт.: П.Л.Смирнов, Н.Г.Боровко, Н.П.Вербицкая, Н.А.Румянцева, Н.Б.Бекасова, В.П.Горский, Д.Б.Былоков, М.И.Бурьяннов.
7. Геология СССР, том XII. Пермская, Челябинская и Курганская области. Часть I. Полезные ископаемые. М., Недра, 1973. 632 с.
8. Геология СССР, том XII. Пермская, Свердловская, Челябинская и Курганская области. Часть II. Полезные ископаемые, кн.2. М., Недра, 1973. 643 с.
9. Гидрогеология СССР, т.ХII, Урал. М., Недра, 1972, с.132,166.
10. Государственная геологическая карта СССР масштаба 1:200 000 серии Среднеуральской. Лист 0_40-ХI. Свердловск, 1985.Гл.Авт.: Б.П.Козин, Н.Ф.Коровин, Н.А.Шаков, С.А.Зворская (на стадии издания).
- II. Государственная геологическая карта СССР масштаба 1:200 000 серии Среднеуральская. Лист Р-40-ХХХI. Авт.: Ефимов Л.П.. Зворская С.А., Новак Т.М., Шалагинов В.В., Шахова Н.А. (на стадии издания).
12. Государственный баланс запасов полезных ископаемых СССР. Уголь, т.5. М., 1984, с.60-63.
13. Граница нижнего и среднего девона на Урале и ее палеонтологическое обоснование. - ДАН СССР, УНЦ, Свердловск, 1978.
14. Гуткин Е.С. Карбонатные вымещающие толши петропавловского бассейна и их связь с докситами. - Тр.УНЦ АН СССР, Свердловск, 1964, вып.64, с. 109-125.
15. Динарк Л. Шлягина и платиноносные месторождения на Урале. Горн.журн., 1913, № 1-2. с. 40-73, № 3, с. 282-305.
16. Ефимов А.А. О прорыве полосчатых текстур в габброраззах и габброразах платиноносных массивов Урала. - В кн.: Третье всесоюзное петрографическое собрание. Тезисы докладов по проблеме: Магматические формации и связь с ними полезных ископаемых. Новосибирск, СО АН СССР, 1963, с. 135-137.
17. Ефимов А.А., Ермикова Л.П. Генетическое значение стяжения равновесности габброродов. - ДАН СССР, т.175, № 1, 1967, с. 182-185.
18. Ефимов А.А., Ермикова Л.П. Китайский платиноносный массив. М., Недра, 1967. 336 с.
19. Ефимов А.А. "Горная тектоника" в габброраззах и габброразах Урала. - Геотектоника, № 1, 1977, с. 24-43.
20. Ефимов А.А., Ермикова Л.П. Дуниты Южского месторождения. Металлургия. Отечупоря, № 3, 1977, с. 17-19.
21. Ефимов А.А., Пучков В.Н. О происхождении оливинитовой ассоциации. Свердловск, 1980. 63 с.
22. Ефимова Л.П. Анорит - новый вид сырья для стекольной промышленности. Сталь и керамика, № 11, 1974, с.7-8.
23. Заваричкин А.Н. Изверженные горные породы. М., 1956. 479с.
24. Зайцев А.М. Общая геологическая карта России. Лист 138. Геологическое описание Ревдинского и Верхне-Исетского окургов. - Тр.Геол.ком., т.4, № 1, 1887, 158 с.
25. Зайцев Г.Б. О стратиграфическом положении южской свиты Среднего Урала. Изв. АН СССР, сер.геол., № 9, 1973, с.142-145.
26. Золотов К.К. Месторождения хризотил-асбеста в габброраззах складчатых областей. М., Недра, 1975, с. 79, 136.
27. Иванов А.А., Бутырин Н.В. Комплексное использование платиноносных дунитов Урала. - В кн.: Комплексная переработка

- будущих металлов. Металлургиздат, 1942, с. 99-108.
28. Карагин В.С. Новая схема развития силурийского вулканизма северной части Среднего Урала. - ДАН СССР, т.173, № 5, 1967, с. II45-II48.
29. Карагин В.С. Тагильский тип эвгеноситильных разрезов на Урале. Тезисы докторов II Уральского петрографического совещания. Свердловск, 1974, т.3, с. 85-89.
30. Карагин В.С. Фации кислого и андезито-даштового вулканизма южного склона Среднего Урала. - В кн.: Палеовулканизм Урала. УНЦ АН СССР, ГТГУ, с. II7-II36.
31. Карагин В.С. К истории тектоно-магматического развития Тагильского прогиба. - ДАН СССР, т.234, № 3, 1977, с.646-649.
32. Карагин В.С. Строение и металлогеническое районирование Тагильского синеклиноира по данным палеовулканических реконструкций. - В кн.: Тектоника и металлогения Урала. УНЦ АН СССР, 1980, с. 24-33.
33. Карагин В.С. Типы и происхождение раннеэосинклинальных базальтов. - В кн.: Петрология лагюстера ирудоносности. Тезисы докторов УГ Всесоюзного петрографического совещания. Л., ВСЕГЕИ, 1981, с. 193-194.
34. Карапинский 2-й. Отчет о действиях геологической партии в округе Богословских заводов за 1835 г. - Горн. журн., ч.ГУ, кн.Х, 1836, с. 60-84.
35. Кашин С.А. Проблема мелких вкрапленных буд на Урале, связанных с габброродами. - Советская геология, № 2, 1941, с. 63-68.
36. Кашин С.А. Магно-титаномагнетитовое обрудование в основных интрузивных породах Урала. - Тр.ИГ АН СССР, вып.91, сер.рудных месторождений, № 9, 1948, с. 78-79.
37. Контарь Е.С. Основные принципы прогнозирования залежности размещения и перспективы поисков медноколчеданных месторождений в Тагильском прогибе (Средний и Северный Урал). - В кн.: Геология, геохимия и долевые исконоемые Урала. Свердловск, 1977, с. 37-48.
38. Контарь Е.С. О металлогенической эволюции колчеданоносных вулканогенных формаций Урала. - В кн.: Химизм колчеданоносных вулканогенных формаций Урала. Свердловск, 1982, с. 21-24.
39. К стратиграфии верхнего докембрия западного склона Среднего Урала. Изв. АН СССР, сер.геол., 1969, с. 108-113.
40. Кухаренко А.А. Нижний палеозой западного склона Среднего и южной части Среднего Урала. - В кн.: Современные по унифицированной стратиграфической схеме Урала и Русской платформы, проводимые в г.Свердловске 13-18 февраля 1956 г. Л., 1956, с. 45-47.
41. Кухаренко А.А., Смирнов Ю.Д. Стратиграфия и условия формирования нижнепалеозойских отложений западного склона Среднего Урала. - Тр.ВСЕГЕИ, нов.серия, вып.28, 1960, с. 51-60.
42. Лидер В.А. Четвертичные отложения Урала. М., Недра, 1976, 144 с.
43. Лисов Н.С., Коровин Н.Ф. Государственная геологическая карта СССР масштаба 1:200 000. Серия Среднеуральская. Лист 0-41-1. Свердловск, 1970. 173 с.
44. Львов К.А. Стратиграфия протерозоя и нижнего палеозоя Приполлярного и Полиродного Урала. - Тр.НИИГА, т.105, 1959, с. 51 - 74.
45. Малышев И.И., Пантелеев П.Г., Пек А.В. Титаномагнетитовые месторождения Урала. АН СССР, Л., 1934. 264 с.
46. Малышев И.И. К вопросу о генетическом сходстве титаномагнетитовых и хромитовых месторождений западного склона Урала. Изв. АН СССР, сер.геол., № 2-3, 1936, с. 585-614.
47. Материалы по петрографии и геологии главной (западной) вулканогенной зоны восточного склона Среднего Урала. - Тр. Горно-геологического института, 1958, вып.33, с. 150-155. Автор.: Т.В.Дланова, Г.Ф.Черняков, Г.А.Курилина, Н.В.Бутирин.
48. Мядлиш С.В., Аблизян Б.Д. Стратиграфия верхнего докембра западного склона Среднего Урала. Изв. АН СССР, сер.геол., 1967, с. 67-80.
49. Морозов А.Ф. Особенности становления раннесилурийских субвулканических и интузивных образований кремникоистонного состава в Тагильском синклинории. Вестник МГУ, сер.геол., № 5, 1978, с. 37-45.
50. Москолова С.В. Тектоническое положение гиперразитовых формаций в геосинклинальных зонах (на примере Урала). - В кн.: Тектоника,магматизм и закономерности размещениярудных

- месторождений, М., Наука, 1964, с. 37-47.
51. Объяснительная записка к геоморфологической карте Урала. Свердловск, 1981. 230 с. Авт.: А.Н. Сагов, В.С. Шуб, Н.П. Вербичская, П.П. Генералов, Л.А. Гузовский, А.Г. Илларионов, А.Д. Кутумов и др.
52. Неделка Г.Л. Предварительный отчет о геологических исследованиях, произведенных в 1925-1926 гг. во 2-й Вагранской лаве на Северном Урале. - Изв. Теол. ком., Л., 1928, т.47, № 8, с. 935-960.
53. Неделка Г.Л. Западная полоса лород габбро-перидотитовой формации Урала. - В кн.: Петрография Урала. М., 1937, с. 55-140.
54. Пейнас А.В. Тектоника Североуральского бокситового пояса. Материалы к понятию геологического строения СССР. Нов. сер., вып.4, 1947. 203 с.
55. Пласин К.П. Сдвиговые структуры Урала. - Геотектоника, 1966, № 4, с. 57-68.
56. Пласин К.П. Шарьяки западного склона Северного и Среднего Урала, их возраст и структурное положение. - Изв. АН СССР, сер. геол., № 4, 1969, с. 133-137.
57. Пласин К.П. Методические рекомендации по исполь зованию геометрических признаков разрывов для определения геологического возраста тектонических дислокаций и горных пород. Свердловск, 1982. 41 с.
58. Пирсанн К.П. Эволюция гинематики и определение возраста разрывных структур Урала. - В кн.: Разломы земной коры Урала и методы их изучения. Свердловск, 1983, с. 12-24.
59. Примонсов П.С. Геология и закономерности размещения скарново-магнетитового оруденения Северного Урала. - В кн.: Геология и генезис жемчужных месторождений. Свердловск, 1981, с. 7-12.
60. Самойлова Н.В. Габброродные породы Северного и Среднего Урала и их петрохимические особенности. - Тр. ИЧМ АН СССР, 1959, вып.32, с. 52-91.
61. Смирнов В.Д. Высокая связь. - В кн.: Стратиграфический штат СССР. - Госгеолтехиздат, 1956, с. 234-235.
62. Старков Н.П. Рифейско-палеозойские магматические комплексы западного склона Среднего и Северного Урала. - В кн.: Дордоякская история Урала. Свердловск, 1980, вып. 5,
- с. 31-61.
63. Стратиграфия и фауна ордовика Среднего Урала. М., Недра, 1973. 227 с. Авт.: В.Г. Верланов, Н.Я. Антыгин, В.А. Наседкин, В.С. Мелицина, М.В. Шурыгина.
64. Таль Хр. Опыт геогностического описания Николаев-Павлинско-кой и Вагранской лав. Горн. журн., 1868, ч. I, с. 294-295.
65. Таль Хр. Характер Уральского поднятия между №№ 58-60 и №№ 12-13. Горн. журн., ч. IV, № 12, 1871, с. 424-447.
66. Таль Хр. Сухогорский зевод. Горн. журн., ч. III, 1876, с. 118-154.
67. Унифицированные и коррелиционные схемы Урала. Свердловск, 1980.
68. Успенский Н.М. О генезисе конформальных ультраосновных массивов Урала. - В сб.: Петрология и минералогия некоторых гудных районов СССР. - Тр. ВСЕГЕИ, М., 1952, с. 54-78.
69. Федоров Е.С., Никитин В.В. Богословский горных округ. Описание в отношении его типографии, минералогии, геологии и гудных месторождений. С.-Петербург, 1901.
70. Ходалевич А.Н. К вопросу о возрасте палеозойских бокситов восточного склона Урала. - Советская геология, № 8-9, 1938, с. 106-111.
71. Чарноусов Я.М. Основные черты тектоники мезозойских ультраосновных месторождений восточного склона Среднего и Северного Урала. - В сб.: Геология и полезные ископаемые Урала. - Тр. СГИ, 1963, вып.43, с. 12-21.
72. Чернышев Ф.Н. Нижний девон восточного склона Урала. С.-Петербург, 1893. 221 с.
73. Шлагинов В.В., Гагин С.И. Сводная легенда Среднеуральской серии листов Государственной геологической карты СССР масштаба 1:200 000. Свердловск, 1981. 89 с.
74. Штейнберг Л.С. Базальтоидный матматизм Урала. - Тр. Етого Уральского петрографического совещания, вып.3. Свердловск, 1969, с. 5-14.

Иностранный

75. Duparc L. et Pearce F. Sur la dunité du Kosvinsky-Kamen (Oura 1). Comptes rendus de l' Académie des sciences. Septembre, 1901, p.1-3.

76. Duparc L. et P. Recherches géologiques et pétrographiques sur 1 Oural du Nord dans la Rastessaya et Kizelowskaya datcha (gouvernement de Perm). Mem. Soc. phys. d hist. nat. de Genève. Vol. 34, fasc 2, p.57-218. Genève, 1902.
77. Duparc L. et Pearce F. Recherches géologiques et pétrographiques sur 1 Oural du Nord dans la Rastessaya et Kizelowskaya datcha (Gouvernement de Perm). Deuxième memoi. Mem. Soc. phys. d hist. nat de Genève. Vol. 34, fasc.5, p.383-602. Genève, 1905.
78. Duparc L. et Grosset A. Recherches géologiques et pétrographiques sur 1^e district minier de Nikolai-Pawda. Géologie, 1916, XXV; 294 p.
79. Алешин М.И., Барковская Е.М. и др. Прогнозная карта по железорудным месторождениям Покровской рудной зоны (железистая часть). Листвы: Р-40-132-А, Б, В, Г; Р-40-144-А, Б, В, Г; О-40-А, Б, В, Г и О-40-24-А, Б, В, Г масштаба 1:50000. 1964. № 28975.
80. Ананьева Е.М., Дорофеев Б.В. и др. Физическая поля в пределах Платиноносного пояса и западного склона Среднего и Северного Урала. 1972. № 32890.
81. Ананьева Е.М., Горонович Е.Б. и др. Отчет о результатах обобщения и анализа геофизических материалов по отдельным рудным районам Тагильского Магнитогория. 1974. № 34099.
82. Ананьева Е.М., Семенов Б.Г. и др. Отчет партии региональной геофизики по теме: "Изучение особенностей физических полей Урала по основным структурно-формационным зонам с целью глубинного обоснования, металлогенической специализации и прогнозной оценки на комплекс полезных ископаемых". 1981. № 36821.
83. Андронов С.Н. Отчет по теме: "Изучение фациальных изменений бокситовых залежей, связанных с палеозойскими и мезозойскими отложениями на Северном и Среднем Урале и литологическое изучение вышележащих боксит пород. 1942. № 21701.
84. Анисимов А.Г., Гневутов М.И. и др. Материалы к изучению алмазоносности Северного Урала. 1948. № 13043.
85. Астременко К.И. Отчет о геологических исследованиях в 1933 году в западной половине Богословского района на Северном Урале. 1933. № 19649.
86. Барковский Э.В., Засыкин А.И. Результаты комплексных поисковых работ на медные руды в Карлинском и Ново-Лялинском районах за 1969-1971 годы. 1971. № 32534.
87. Барковский Э.В., Засыкин А.И., Лукиных А.Д. Отчет о результатах комплексных поисковых работ на медные руды в Свердловском, Карлинском и Ново-Лялинском районах Свердловской области за 1971-1973 гг.. 1973. № 33658.
88. Белиев Г.Н., Герасименко Б.Н. Гидрогеологическая карта Урала масштаба 1:500 000, лист О-40-5 (Кыштым). Отчет Кизеловского съемочного отряда по результатам работ 1959 - 1963 гг. 1964. № 28901.
89. Бобров В.Н., Корнионов В.Н. и др. Отчет о результатах комплексных поисковых работ на медно-титаномагнетитовые и титаномагнетитовые руды в районе Серебрянского габбрового массива за 1976-1978 гг.. 1978. № 36663.
90. Бобров В.Н., Гильманов Н.В. и др. Отчет о результатах общей поисков на медные руды на Симском участке в Карпинском районе Свердловской области за 1982-1983 гг., 1983, № 37729.
91. Большун Г.А., Савельева К.П., Федоров Н.В. Отчет Боксито-восточно-Уральского отряда Уральской геологической партии по теме: "Составление прогнозных карт на бокситы масштаба 1:200 000 и 1:500 000 в соответствии с заданием проблем 58 за 1979-1981 гг.". 1981. № 36808.
92. Брефель М.Г., Брефель И.А., Богоявленская О.В. и др. Отчет по теме: "Монографическое описание фауны верхнего юрлова и нижнего девона Главной колчеданоносной полосы Урала". 1965. № 29326.
93. Брефель М.Г., Антигин Н.Я. и др. Отчет по теме: "Эйдель-ский ярус восточного склона Северного и Среднего Урала (Ивдельский, Североуральский, Карлинский районы)". Странтиграфия, стратиграфическая приуроченность месторождений бокситов и их корреляция. 1976. № 34864.
94. Буцалин Г.А., Волкова Н.И., Матвеева М.Ф. Отчет о геологоразведочных работах по россыпным месторождениям платины Китлянского участка за 1968-1971 годы. 1972. № 33085.

* Работы, для которых не указано место хранения, находятся в фондах УПО.

95. Бутырин Н.В. Масстрождения коренной платины в Китымском платиноносном районе. 1945, № 17602.
96. Волосек Г.К., Лихтионов О.В., Ходалевич А.Н. Геологическое строение и полезные ископаемые Серовского района на восточном склоне Северного Урала. 1949, № 21655.
97. Гильманов Н.В. Отчет о результатах геофизических работ на Косьвинском участке с целью поисков железныхруд канарского типа в 1975-1976 гг. 1979, № 35814.
98. Ефимов А.А., Заболотская М.Ф. Геологическая карта Урала в масштабе 1:100 000, лист 0-40-II (отчет Ольвинской геологомечной партии по работам 1954). 1955, № 20411.
99. Ефимов А.А., Чудов В.М. Геологическая карта Урала в масштабе 1:50 000. Листы 0-40-23-Б и 0-40-23-Г. (Отчет о геологической съемке в 1955 году восточной части Кытлымского габбро-перидотитового массива). 1956, № 7239.
100. Ефимов А.А., Иванова Л.П. Геологическая карта Урала в масштабе 1:50 000, лист 0-40-23-А. (Отчет о геологической съемке в 1956 году западной части Кытлымского габбро-перидотитового массива). 1957, № 8165.
101. Ефимов А.А., Иванова Л.П. Предварительный отчет о геологической съемке в масштабе 1:50 000 листов 0-40-22-Б (восточная половина), 0-40-22-Г (северо-восточная четверть), 0-40-23-В (северная половина). 1958, № 14874.
102. Ефимов А.А., Иванова Л.П. Объяснительная записка к геологической карте Кытлымского платиноносного габбро-гипербазитового массива. 1960, № 19442.
103. Ефимов А.А., Ефимова Л.П. Отчет по теме: "Условия образования промышленных концентратов сульфидного никеля и колбальта в гипербазитах и базитовых Урала за 1967-1968 гг." 1968, № 31166.
104. Ефимов А.А., Ефимова Л.П. Старт по предварительной оценке анонзитов Кытлымского массива в качестве сырья для производства термостойкого стекла за 1970-1972 гг. 1972, № 32937.
105. Ефимова Л.П. Предварительная оценка дунитов Иловского тела (Кытлымский массив) в качестве формовочного сырья для металургической промышленности (Отчет о работе 1972-1973 гг.). 1973, № 33635.

106. Ефимова Л.П. Отчет о поисковых работах по оценке анонзита Серебрянского Камня в качестве стеклосырьего сырья при горячем прессовании жаропрочных сплавов. 1979, № 35890.
107. Дуков К.Ф., Кебадзе Б.С. Отчет о результатах магнитометрической съемки, проведенной Верхне-Каквинской партией в 1953 г. 1954, № 20158.
108. Жученко А.Г., Костяшов Г.П. и др. Геоиндикационная карта Урала масштаба 1:200 000 листов Р-40-ХХII, ХХIII, ХХХ, ХХХI, ХХХII; 0-40-IV, У, У1; 0-40-X, XI, XII (с.п.); 0-40-ХХII; №-40-У1 (с.п.); №-41-ХУ по данным радиолокационной аэростремки. Основа для составления геологических и металлогенических карт. 1976, № 34875.
109. Зайцев Г.И. Отчет о детальной разведке Вагранского месторождения полезных ископаемых для хозяйственно-литьевого водоснабжения гг. Кирпинска, Краснотурьинска, Волчанска. 1983, № 37620.
110. Иванов О.К. Петрология и платиноносность концентрических зональных пироксенит-дунитовых массивов платиноносного пояса Урала. Отчет тематического отряда по платине по теме: "Сравнительная характеристика платиноносности крупных пероксент-дунитовых массивов Платиноносного пояса Урала". 1985, № 38248.
111. Ильин Н.Д. Ильин Н.Д. Объяснительная записка к магнитным картам листов 0-40-У1 и 0-40-ХII. 1962, № 27991.
112. Керетин Д.С., Керетина Л.Т. и др. Геологическая карта Урала масштаба 1:50 000, трапеция 0-40-И2-А, 0-40-12-Б. Отчет Княгининской партии за 1960-1961 гг. 1963, № 27735.
113. Керетин Д.С., Керетина Л.Т., Олерский В.П. Геологическая карта Урала масштаба 1:50 000 трапеций 0-40-И2-В (вост. пол.), 0-40-12-Г, 0-40-24-В (вост.пол.). 0-40-24-Г (сев. пол.). (По работам Княгининской партии за 1962-1964 гг.). 1964, № 28987.
114. Керетин Д.С., Керетина Л.Т., Поляков В.П. Геологическая карта Урала масштаба 1:50 000, трапеции 0-40-24-А, 0-40-24-Б (зап.пол.). (Отчет Княгининского геологосъемочного отряда по работам 1964-1965 гг.). 1966, № 30085.
115. Керетин Д.С., Керетина Л.Т. и др. Геологическая карта Урала масштаба 1:50 000 Тарнъер-Валенторской колчеданной

- полосы. Планшеты: Р-40-120-Б (желная пол.), В (в.-з. четв.). Г, Р-40-132-А, Б, В (вост.пол.), Г, Р-40-144-А, Б (зап.пол.), В, Г (зап.пол.), 0-40-12-А, Б (зап.пол.), 0-40-24-А, Б, (зап. пол.), В, Г (зап.пол.). Отчет Шемурского геологосъемочно-го отряда по геологическому дополнению в масштабе 1:50 000, проявленному в 1969-1976 гг. на Северном и Среднем Урале. 1976, № 34645.
117. Караганов Д.С., Аникеева Е.М. и др. Объяснительная записка к структурно-формационной карте магматических образований Тагильского метасинклинория масштаба 1:200 000. Отчет по теме Шемурского отряда партии региональной геологии и региональной геофизики, выполненной в 1976-1979 годах. 1979, № 35827.
118. Кебадзе Б.С., Лавров Н.И. Отчет о результатах магнитометрической съемки, проведенной Кытымской партией в Карпинском и Исаевском районах Свердловской области в 1955г. 1956, № 20475.
119. Клименко Б.В., Лычников В.А. и др. Отчет Кутумского отряда о результатах геологической съемки масштаба 1:50 000 Белокаменской площади (листы Р-40-ГЭ1-А и Б) на Северном Урале в бассейне рр.Кутума и Валса за 1974-1978 гг. 1978, № 35867.
120. Колечин А.А., Сегаль В.З. и др. Отчет о результатах геофизических работ, проведенных Свердлуральской сейсмической партией в Карпинском и Краснотурьинском районах Свердловской области в 1972-1974 гг. 1974, № 34027.
121. Колечин А.А., Сегаль В.З. и др. Отчет о результатах геофизических работ, проведенных Свердлуральской сейсмической партией в Карпинском районе Свердловской области в 1974-1975 гг. 1975, № 34442.
122. Контарь Е.С., Лобарова Л.Е. и др. Прогнозно-перспективная оценка Тагильского прогиба на медные руды. (Отчет партии эндогенной металлогении за 1975-1977 гг. по теме: "Составление прогнозных карт масштаба 1:200 000 на медно-колчеданное и медно-титано-ванадиевые руды на структурно-формационной основе для территории Тагильского прогиба с врезками масштаба 1:50 000 и 1:10 000"). 1977, № 35246.
123. Контарь Е.С., Лобарова Л.Е., Кузнецов Б.И. Прогнозно-перспективная оценка средней части Урала на медные руды.

- (Отчет партии эндогенной металлогении за 1978-1981 гг. по теме: "Составление прогнозной карты масштаба 1:200 000 восточного склона Урала (по территории деятельности УГУ) для поисков месторождений меди гранитных промышленно-геогенетических типов с врезками масштаба 1:50 000 и куполе для восточных зон"). 1981, № 36793.
124. Корюков В.Н., Кракер В.Г. и др. Отчет о результатах комплексных геофизических работ на медные руды на Западно-Челябинском участке Карпинского района Свердловской области за 1977-1979 гг. 1979, № 35978.
125. Корюков В.Н., Гельманов Н.В. и др. Отчет о результатах поисковых геофизических работ на медные руды на Турынском участке в Карпинском районе Свердловской области за 1980-1983 гг. 1983, № 37570.
126. Краев А.И. Отчет о поисково-рекогносц. работах на мезозойские скопления в пределах Богдановско-Веселовской и Волчанско-депрессий за 1961-1962 гг. 1963, № 28104.
127. Кремлевских Д.Г., Шалагинов В.В. и др. Геологическая карта Урала масштаба 1:50 000, листы 0-40-36-Г, 0-40-36-Б и 0-40-24-Г (первая половина). Отчет Лобинской поисково-съемочной партии за 1962-1963 гг. 1965, № 23051.
128. Крылов Е.И., Ковалев Г.Е. и др. Отчет о геолого-геохимических и геофизических поисках меди, проведенных партией № 5 в Свердлуральском и Карпинском районах Свердловской области в 1973-1974 гг. 1975, № 34365.
129. Крылов Е.И., Зайфрин Л.Б. и др. Отчет о геолого-геохимических и геофизических поисках меди, проведенных партией № 5 в 1975 году в междууречье Какан-Лобан и на Белореченском участке (Карпинский и Североуральский районы Свердловской области). 1976, № 34740.
130. Лиддер В.А., Генералов П.П., Сухоруков А.М. Карта четвертичных отложений Урала масштаба 1:500 000. 1965, № 29512.
131. Лиддер В.А. Карта четвертичных отложений Урала масштаба 1:500 000. 1978, № 358179.
132. Монахова Е.Н. Промзверигатный (технический) отчет о работе геологоразведочной партии. 1931, № 10370.
133. Некхов М.Е., Сугакина Р.А. Геологическая карта Урала масштаба 1:50 000. Планшеты 0-40-24-А и 0-40-24-Б. Геологический отчет Карпинской геологосъемочной партии УГС

- за 1953 г. № 1954, № 20943.
134. Нестров М.И. Отчет о результатах магнитной съемки, проведенной на Конжаковском участке в 1974-1975 гг. 1976, № 34725.
135. Нечаш Г.В., Прямоносов П.С. Металлогеническая карта золотых месторождений Урала масштаба 1:500 000. 1962, № 27568.
136. Новицкий В.Я., Семкин Г.А., Бараковский Э.В. и др. Геологическое строение Валентинского медноколчеданного месторождения и подсчет запасов по состоянию на 1/1 1969 г. 1969, № 31790.
137. Паньков Г.П. Отчет о результатах геологоподробных работ, проведенных на Валентинском медноколчеданном месторождении в 1958-1962 гг. 1963, № 28323.
138. Плюснин К.Л., Буданова Н.Н. и др. Отчет по теме: "Изучение структурно-тектонических условий размещениярудных полей медноколчеданных и железорудных месторождений Урала (Тагило-Хултвинский, Левгинский и Красноуральский районы) за 1977-1981 гг." 1981, № 36846.
139. Полов И.Б., Алексеев В.И. и др. Отчет об общих поискахрудного золота в пределах Маргайской рудной зоны на северном фланге Полюсского разлома (бассейн верховьев Р.Вельс) в Красновишерском районе Пермской области и Ильинском районе Свердловской области за 1979-1981 гг. 1982, № 37088.
140. Просников М.М., Чечетенко М.Ф. Сводный отчет о доказанности Богословского буруогольного месторождения. 1963, № 27452.
141. Прямоносов П.С., Черняк З.Б. и др. Отчет по теме: "Составление прогнозной карты на железные руды западного борта Тагильского прогиба (сев. часть) в масштабе 1:200 000. (Отчет лартии аналогичной металлоискения за 1976-1979 гг.)." 1979, № 35842.
142. Решитко В.А. Кытлымское рудное поле. Отчет (предварительный) о результатах геологоподробных и геологосъемочных работ Кытлымского отряда за 1954 год. 1955, № 20442.
143. Сводный отчетный баланс запасов строительных материалов, поделочных камней и агломератов по Свердловской области за 1984 год. 1985, № 38368.
144. Селинкин М.А. Медные месторождения Цавлинского района, Багранских и других дач. 1948, № 9145.
145. Саменов Б.Г., Борецкий Д.В. и др. Отчет о результатах гравиметрической съемки масштаба 1:50 000 на Кутимской площади (трапеции Р-40-131-А и Б) в 1974-1975 гг. 1976, № 34839.
146. Сидоренко А.Е. Объяснительная записка к картам платиноносности и золотоносности Исовского, Кытлымского и Быншего приисков масштаба 1:100 000. 1955, № 18491.
147. Смирнов Ю.Д. Геолого-легиографические исследования на Северном и Среднем Урале. 1953, № 20033.
148. Соболов И.Д. и др. Геологическая карта Северного, Среднего и восточной части Канского Урала масштаба 1:20 000. 1966, № 30715.
149. Соболов И.Д., Автонеева И.А. и др. Тектоническая карта Урала масштаба 1:500 000. 1979, № 35958.
150. Соколов Б.И. Отчет о результатах геофизических работ, проведенных Конявской партией в Карлинском районе Свердловской области в 1958-1959 гг. 1960, № 23666.
151. Соколов Е.Ф., Зайко В.Е. Геологический отчет о результатах детальной дифракции Карлинского месторождения кирпичных глин. 1954, № 12009.
152. Стирийка А.Д., Солдник В.Н. и др. Геологическая карта Урала масштаба 1:50 000, планшеты 0-40-24-В (запад. пол.), 0-40-36-А, 0-40-36-В. Отчет Лялинского геологосъемочного отряда за 1962-1963 гг. 1965, № 29065.
153. Суханов Л.П., Тетьяман Л.С. и др. Отчет по теме: "Составление прогнозной геолого-геоморфологической карты россыпей золота и платины масштаба 1:50 000 на территории Свердловского и Карлинского районов Свердловской области и Красновишерского района Пермской области." 1972, № 33158.
154. Сутикова Р.А., Заболотская М.Ф. Геологическая карта Урала в масштабе 1:100 000, лист 0-40-12 (Карпинск). Отчет о работах Карлинской геологосъемочной партии за 1952 г. 1953, № 20109.
155. Тагаков С.А., Никишев Ю.А. и др. Отчет о результатах гравиметровой съемки масштаба 1:200 000, проведенной на площадке толотнапелей 0-40-У1, 0-41-1 (в.п.) и 0-40-Х1 (з.п.)

- в 1962 г. № 28221.
156. Тарменкин А.А. Отчет о поисково-разведочных работах на Алексеевском и Кормильцевском месторождениях железных руд в поисковых участках, проведенных в 1952-1957 гг. 1957. № ГГ795.
157. Тесаловская Н.Н. Геологическая карта Урала масштаба 1:100 000, листы №-40-24 (ю.п.), 0-40-36 (з.п.), 0-41-13 (в.з. четв.). Геологический отчет Павлинской поисково-съемочной партии по материалам 1952-1953 гг. 1953. № 20094.
158. Тетерик П.И. Отчет о поисковых работах на медные руды Карпинской геологоразведочной партии за 1961 год. 1962, № 23341.
159. Устюжанинов В.Г.-Телегин В.П. и др. Геологическая карта Урала масштаба 1:50 000 трапеции Р-40-132-Г (южная половина), Р-40-144-Б, Г (восточная половина). Отчет Сосульского геологоразведочного отряда по работам 1964-1965 гг. 1967. № З0419.
160. Уфимцев Н.Ф., Кочеткова М.В., Нестеров М.И. Геологический отчет о результатах поисковых работ на магнетитовые руды, проведенных в 1970-1974 гг. в Лесчанско-Ауребаховско-Турбинском рудном поле на Северном Урале. 1974, № 34058.
161. Ушков Б.К., Пинегин Е.Ф. и др. Геологическая карта Урала масштаба 1:50 000. Листы 0-40-23-З (ю.п.), 0-40-34-5, 0-40-35-А (з.п.). Отчет Вильвенского отряда о геологической съемке на водораздельной части Среднего Урала в верховых рек Б.Косьвы, Кырья, Большь, Павла и Дьял. проведенной в 1969-1972 гг. 1973, № 33624.
162. Чукерман Э.И. Отчет о поисково-разведочных работах на докситы в Карпинском районе за 1954-1959 гг. 1959. № 23501.
163. Чудов П.М. Отчет о геологополисных работах, проведенных в пределах восточной части Кытманского габбро-перидотитового массива за 1954-1958 гг. № 1959, № 23536.
164. Чураков Н.В. Составление карт разведанности россыпных месторождений золота и платины масштаба 1:25 000 по территории Южно-Зюзнерского промысла в пределах Кытманского платиноносного района. 1973, № 33462.

165. Чурсин А.В., Халимбаджа И.Г. и др. Отчет о поисковой аэромагнитной съемке масштаба 1:10 000 на Висимо - Павлинском участке, выполненной в 1980-1983 гг. 1983, № 37802.
166. Шакиров А.М. Отчет о результатах поисковых работ на рудное золото, проведенных в 1968-1975 гг. в южной части Северного Урала (Североуральский, Карагинский, Красно - Туринский и Ново-Миасский районы Свердловской области и Красновишерский район Пермской области). 1976, № 34720.
167. Шакиров А.М., Воронов С.П. Отчет о поисковых работах на рудное золото на Сурьянском и Оленевском участках Вагранского рудного узла в 1975-1978 гг. 1978, № 35672.
168. Шлагинов В.В., Ториков В.С. и др. Геологическая карта Урала масштаба 1:50 000, листы Р-40-143-Б, Р-40-143-Г. Отчет Вагранского отряда о геологической съемке на восточном склоне Среднего Урала, в верховых рек Ваграна и Соссы, проведенной в 1971-1974 гг. 1975, № 34189.
169. Шариков В.С., Атасов А.Я., Плотников Н.С. Отчет о поисковых и поисково-разведочных работах на палеозойские бокситы в Карпинском и Ново-Миасском районах на Северном Урале за 1967-1973 гг. 1973, № 33602.
170. Шариков В.С. Отчет о поисковых работах на докситы в Карпинском и Ново-Миасском районах Свердловской области за 1973-1977 гг. 1977, № 35286.
171. Шариков В.С., Селянинов В.Н., Козлов К.С. Отчет: "Геологическое строение и залежи Йовского месторождения дунитов на Северном Урале по состоянию геологоразведочных работ на I/1. 1984 г." 1984, № 38120.
172. Шурагина М.В., Бреевецть М.Г. и др. Отчет по теме: "Опорный разрез сидурийско-ниженевонских отложений Петровавловской бокситоносной структурно-фаунистической зоны восточного склона Урала". 1982, № 37215.

Приложение I

卷之三

и виноваты в этом не только ОГД-ЛТК, но и виноваты виновники, поддавшие местоположениях, исконных,

Индекс квадрата на карте	№ на карте	Вид полезного ископа- емого и назначение месторождения	Ссылка на литературу (номера по списку ле- тевушек)	Примеча- ние
I	2	ГОРОДОК ИКОЛАЕВ		
Твердые горючие ископаемые				
II-4	4	Бурый уголь	7,12	
II-4	12	Богословское	7	
II-4	12	Веселовское	2	
Торф				
II-3	2,5	Санктогородок	2	Группное
II-4	2,5	Большое	2	Крупное, простира- ется на смеж. лис- ты
МЕТАЛЛИЧЕСКИЕ ИСКОПАЕМЫЕ				
Пзветники металлы				
I	3	Мед., ник.	8,96, I-25, I-36	малое, ре- зервное
I	4	Валентинов	I-37, I-66	
I	5	Алемянский		
I	5	Таликов Г	91,169	малое, от- работано в 1984г.
СТРОИТЕЛЬНЫЕ И ОШУПОРНЫЕ МАТЕРИАЛЫ				
Извещенные породы				
II-1	4	Дуниты	20, I-71	
II-1	4	Юзовское		

ПРИЛОЖЕНИЯ

I	2	3	4	5
Глинистые дороги				
Глины кирпичные				
Карпинское (Господствующее)	8	143,151		
Сланцы хромисто-глинистые				
Туринский карьер	6	143		
РОССИЙСКИЕ МЕСТОРОЖДЕНИЯ				
Золота				
I	P. Оленья	II, 153, 167		
II-2	Р. Чертунка	146		
III-2	Р. Мал. Галса	146		
III-3	Р. Спайский Исток	146		
III-3	Безымянный левый приток р.Лосозы	146		
III-3	Р. Ольховка	146		
III-3	Р. Мал. Талыра	146		
III-4	Р. Березинная	146		
III-4	Р. Бересовка	146, 164		
IV-1	Р. Малоеенка	146, 164		
IV-1	Р. Пальтиная	146		
IV-1	Верховья р.Бол. Косяки	146		
IV-1	Р. Кутча и ее левый приток р.Черная	146		
IV-1	Р. Шейтанка	146		
IV-1	Р. Слоновка	146		
IV-1	Р. 2-я Амбаровка	146		
IV-1	Безымянное лого на правобережье р.Лобаны	146		
IV-4				года эксплуатации:
IV-4				до 1917 г.
IV-4				до 1925 г.
IV-4				до 1933-1940 гг.
IV-4				года эксплуатации:
IV-4				до 1934-1940 гг.

Інновації в науці та техніці

1	2	3	4	5
I-III-1	1	Р.Северный Иор Платина	146	голд эксклюзивный: 1905 г. 1917 гг., 1925 г.
I-III-2	2	Р.Додуленный Иор ободраный Лор	146	голд эксплуатация: 1905 г. 1917 гг., 1925 г.; перспективы на
I-III-3	7	Р.Логинка со 2-м щёлковским Лор	146, 164	посыпь тех- ническая, покрашенная, отдается -
I-III-4	8	Лобаннико-Чистяко- кая	100, 146, 164	пакеты с природ- ным золотом
I-III-5	9	Лобаннико-Чистяко- кая	78, 94, 146, 164	пакеты с природ- ным золотом
I-III-6	15	Линский Лор Целовский Лор с от- щеплениями	94, 100, 146, 164 100, 146, 164	пакеты с природ- ным золотом
I-III-7	19	Платина, золото	146	пакеты с природ- ным золотом
III-1	4	Участок Р.Лобан (ни- же устья р.Иор)	146	пакеты с природ- ным золотом
III-2	8	Участок Р.Лобан (ни- же пос. Чирный Яр) г. Мал.Косьва	146	пакеты с природ- ным золотом
III-3	1	Участок Р.Лобан (ни- же пос. Чирный Яр)	94	пакеты с природ- ным золотом
IV-4	1	Участок Р.Лобан (пос. Чирный Яр)	146	пакеты с природ- ным золотом
IV-4	3	Участок Р.Лобан (в 2 км ниже пос. Чир- ный Яр)	146	пакеты с природ- ным золотом
IV-4	6	Участок Р.Лобан (пос. Чирного Зимовья)	146	пакеты с природ- ным золотом

стикер

непропорциональных месторождений полезных ископаемых, показанных на листе 0-40-У1 карты подзаняк Искореняк масштаба 1:200 000.

Из в е р ж е н и е		СТРОИТЕЛЬНЫЕ И ОГНЕПОРОЧНЫЕ МАТЕРИАЛЫ		Примечание	
1	2	3	4	5	
Ильиненко Л.Н. 21-2	Был полезного ископаемого и на карте на месторождении	Серебряный Камень	22,104,106	Ссылка на литературу (номера по списку ли- тературы)	
Ильиненко Л.Н. 21-2	Анортозиты	Казанский Камень	22,104,106	в 2-х км северо-за- паднее Ка- занского Камня	
РОССИЙСКИЕ МЕСТОРОЖДЕНИЯ					
I-I	1	Золото	153	продолжает- ся на смеж- ные листы	
I-I	5	P.Улус	153	рекоменду- ется поиск ра- ботки	
I-I	4	P.Покзы	98	поиски про- водить не- пременно разно, раз- работки - лася до 1940 г.	
I-I	2	P.Ольва с притоком	146	эксплуати- роваться, но спелео- ний нет	
III-3	2	P.Бол.Галка	146	"	
III-4	4	P.Ч.Василь (среднее течение) P.Tota	146	"	
III-4	6		146	"	

Продолжение приложения 2

I	2	3	4	5
IV-I	5	Р.Доброярка (Бодровка). Правый приток р.Бол.Кось- ва	I46	Эксплуати- ровалась, но сведений нет -"
IV-I	8	Р.Ляятковка, левый приток р.Бол.Косьви	I46	рекомендует- ся поиско- во-развед- работы
IV-3	3	Участок р.Кутыни	I52	Пойски 1965 г.

III-2	1	Р.Ию	I46, I53	Проектирует- ся поиск годы поис- ков 1908- 1911; 1932г.
IV-2	3	Р.Бол.Вольхуш, левый приток Кутыни	I46	

СПИСОК

ПРОЯВЛЕНИЙ ПОЛЕЗНЫХ ИСКОПАЕМЫХ, ПОКАЗАННЫХ НА ЛИСТЕ
0-40-УТ КАРТЫ ПОЛЗЫ ИСКОПАЕМЫХ МАСШТАБА 1:200 000

Индекс карты на карте	№ на карте	Вид полезного ископае- мого и наименование (место- нахождение) проявления	Состав на литограffiti (номера по справочнику)	Примечание
I	1			
II	2			
III	3			
IV	4			
V	5			
VI	6			
VII	7			
VIII	8			
IX	9			
X	10			
		Ч е р н ы е м е т а л л и		
		Ж е л е з о		
		М Е Т А Л И Ч Е С К И Е И С К О П А Е М І		
		Ч е р н ы е м е т а л л и		
		Ж е л е з о		
			I41, I54. I56.	
			I41, I54. I56.	
			I42, I43, I63.	титаномагне- титовый тип руд.
			I8, 99, I42	"
			I8, 99, I42	"
			99	"
			99	"
			99	"
			99	"
			I42, I60	титаномагне- титовый тип руд.
			I8, 99, I42	
			II4, II5?	
			М е д ь	
			I44	
			II3, II4, I69	
			86, II3, I66, I67	Au 9,2 г/т Ag 57,2 г/т
			86, II4, I16	магниторуби- ровый тип руд

Продолжение приложения 3

1	2	3	4	5
IV-3	10	Семёновский рудник	78, 87, 114 157, 166	гравий не- желез
		Мед., чугук	86, 137	
II-3	5	Валенторка (рудное поле 8)	115, 137, 158, 167	Си до 7,5%: Ал 9,9 Zn 4%
III-4	3	Галкинское		
II-2	10	Мед., чугуно- железо	35, 36, 103, 142	ванадий-зин- к-железо-чугунный тип
		Альмандин	69, 154, 162, 170	
II-4	9	Борисовское I		
III-4	7	Участок 15 (Тотенское месторождение)	133, 169	
		Благородные ме- тали		
IV-3	5	Кушвинская медь (Сухогорско-Кушви- нский рудник)	87, 157, 166	Золото
		Платина		
II-I	3	Конаковский Камень (верховье р. Пантий Июн)	95, III, 132, 146	
III-I	13	Косьминское Гла- чи	95, III, 132, 146	

СПИСОК

пунктов минерализации и геохимических аномалий,
показанных на листе 0-40-У1 карты полей
исследований масштаба 1:200 000

Индекс клетки	№ на карте	Вид полезного искона- мого и наименование пункта минерализации	Ссылка на литературу (номера по списку ли- тературы)	Примечание
I	2	3	4	5
МЕТАЛЛИЧЕСКИЕ ИСКОНАЛИ				
ч е р н ы е м е т а л л и				
Железо				
Преображенск р. Ольян				
Белый берег р. Ольян				
Гора Угловая				
Восточный берег оз. За- ленторского				
Конаковский Камень (Иловской перевал)				
Конаковская аномаль- ная зона				
Косьминский Камень (участок Северный)				
Косьминский участок				
Володин участок				
Сосновский участок				
Серебрянский хребет				
Серебрянский Камень (рудник 5)				
В 1 км севернее Лоб- винского рудника				
район пос. Сапогово				
водораздел Малофеевки и Бодровки				
Среднее течение р. Дьяч- ковки				
в 1 км ниже лесо - участка Кушва				
в 4 км юго-восточнее горы Еловый Увал				
в 4 км юго-западнее ле- су участка Зимовье				

Продолжение приложений 4

I	II	Ц в е т н ы е м е т а л л и	3	V
1	2	3	4	5
I-3	2	Верховая рр.Глубокой и Ертовки	Медь	154
I-3	4	Князининский рудник		166,167
I-3	7	Участок Князининской медной разведки		167
I-3	10	Кино-Князининский участок		87,125
I-3	12	Кино-Князининская аномалия		125- геохимиче- ская
I-4	1	Северо-восточнее оз.Глухого (Глухо-озерное)	II3,II4, I54	II3,II4, I54
I-4	3	Сигнельный участок	47,II4, I56	47,II4, I56
I-4	7	Участок Антипинский	86,II3, I66,I67	86,II3, I66,I67
I-4	8	Кино-Антипинский (скв.4,6)	"-	"-
II-3	2	Гора Белая (Балентор-ская Сопка)	I54	Нижнегор- нейанская Au II,2 г/т
II-3	3	Квартал 181	I66,I67	I66,I67
II-3	4	Восточная часть Валенторского участка	II4	II4
II-4	7	Андршининский	86,87	86,87
II-3	8	Князининско-Добровинская площадь (Князининская аномалия, поле I)	129	129
II-4	1	Симский участок (скв.1854)	87,90, I25	87,90, I25
III-2	15	Пос.Катышер	II1	геохимиче- ская аномия - лейк
III-3	3	Участок Июв	II5,II6	Нижнегор- нейанская не заска
IV-1	3	Верховье р.Лобан	II1	Нижнегор- нейанская не заска
IV-3	1	Кутининский участок (северная часть)	II4	Нижнегор- нейанская не заска
IV-3	2	Кутининская гидрохими- ческая аномалия	II4	содержание Cu: в 15 раз больше фо- нового

Продолжение приложения 4

		1	2	3	4	5
ІІІ-3	4	Кутинский Крестовоэзименский рудник	ІІІ-4	166	ІІІ-4	Au 0,6 г/т
ІІІ-3	II	Ройский рудник	ІІІ-4	166	ІІІ-4	Au 1,3 г/т
ІІІ-4	7	Ельинское	ІІІ-4	127	ІІІ-4	Cu 5,76%, Au 0,5 г/т
ІІІ-4	II	Ельинский участок р. Ель- (среднее течение р. Ель- ин)	ІІІ-4	ІІІ-66	ІІІ-4	до 1917 г.
ІІІ-4	12	Гусевский участок (руд- ник)	ІІІ-4	47-146, 157	ІІІ-4	добывали су- рые железня- ки
ІІІ-4	13	Васильевский рудник	ІІІ-4	166	ІІІ-4	Au 0,5 г/т
ІІІ-4	14	Марть, пинк	ІІІ-3	128,154	ІІІ-3	геохимичес- кая аномалия
I-3	5	Сальинская аномалия	I-3	125	I-3	минерализа- ции с геохими- ческими ано- малиями
I-3	8	Северо-Князинская аномальная зона	I-4	154	I-4	
I-4	2	Участок Верхняя Тура. Восточный фланг Выланс- торского месторождения	I-4	144,154	I-4	
I-4	3	Медь, железо	I-2	98	I-2	
I-2	3	Обн. 727 (Конжаковский камень)	I-2	89,102	I-2	Cu до 1,7%, Fe до 15,6%
I-2	3	Серебрянский Камень (рудник 1,2)	I-2	128,142	I-2	Cu до 0,17%, Fe до 24,6%
I-2	5	Серебрянский Камень (рудник 3), пр. 159	I-2	89,102,	I-2	
I-2	6	Серебрянский Камень (рудник 4)	I-2	128,103,	I-2	
I-2	9	Рудник 6,6	I-2	102,103,	I-2	
I-3	8	Р. Еловый Увал	I-2	128	I-2	
I-2	7	Сынед	I-2	152	I-2	
I-2	7	Ольвинский	I-2	98	I-2	кварцевая же- лая с галени- том

Приложение 5

Химический состав пород, вес %

	1	2	3	4	5	
			Алгинит			
I-4	5	Bогодолинский участок (скв.801-б)	126	Содержание золота в глинистом гальче иже до 20 ан. на 0,003кг		
II-4	7	Ольховский участок (скв.837б)	"			
II-4	II	Веселовский участок (скв.853б)	"			
IV-4	2	Шайтанский шахта	162,170			
Благородные металлы						
I-I	2	Золото	52,153			
I-I	3	Киринское	52			
I-I	4	Верхне-Ольгинское	52,153			
I-2	2	Северо-Шаминский участок	166,167			
I-2	3	"	"			
I-2	5	Гора Паленая	52			
II-2	1	Родниковый Узел (обн.820)	98,161			
II-2	2	р.Ольва (обн.827)	98	Аи до 27 г/т		
III-I	II	Хосьянское Племя	95,166	Аи до 0,3г/т		
IV-I	4	Бобровский (водораз- дел рр.Бобровка и Хосьян, 1075б)	98,161			
IV-I	6	Лоббинский водораздел рр.Лобни и Бобровки	161	Аи 1,6 г/т		
Цианина						
III-I	12	Водораздельная часть логов Ободранного и Цилинского, Целинско- го и Ободранного	95	дайка пирок- сенита Рт до 49 г/т (ш-24), Рт= 21,8 г/т (ш-3)		
III-I	16	Водораздельная часть Денного и Целинского логов	95	Pт=23г/т (ш-9г)		

Приложение приложения 4

Химический состав пород, вес %

	1	2	3	4	5	
			SiO ₂	TiO ₂	Al ₂ O ₃	Fe ₂ O ₃
I	1	51,00	2,24	14,12	4,60	II,93
I	2	59,32	1,46	15,32	1,16	7,35
I	3	49,16	1,28	15,73	7,00	5,09
I	4	73,56	0,33	II,58	1,53	2,48
I	5	0,80	0,08	0,18	0,18	-
I	6	48,80	0,88	14,98	1,29	7,46
I	7	51,25	0,68	18,64	3,44	6,06
I	8	48,10	0,98	16,55	1,88	7,51
I	9	53,74	1,48	16,63	2,54	6,60
I	10	53,19	1,03	17,98	2,35	5,27
I	11	65,02	0,53	16,19	1,70	2,12
I	12	73,48	0,45	13,05	1,71	1,55
I	13	64,52	0,46	15,94	1,42	2,56
I	14	55,26	0,48	14,80	4,00	5,75
I	15	48,30	1,00	17,65	3,72	8,63
I	16	69,88	0,32	13,41	1,86	2,78
I	17	75,90	0,19	11,01	0,42	1,87
I	18	53,88	0,62	16,96	2,75	3,97
I	19	53,21	0,81	15,35	2,31	5,75
I	20	66,03	0,50	14,61	0,78	2,87
I	21	63,48	0,80	15,27	2,72	3,15
I	22	63,66	0,44	16,22	4,45	1,45
I	23	46,37	0,73	16,01	5,89	6,94
I	24	54,98	0,90	15,51	6,84	2,85
I	25	48,36	0,78	18,48	6,59	5,17
I	26	45,47	0,78	15,56	6,18	3,60
I	27	51,20	0,71	17,63	6,88	1,45
I	28	54,30	0,71	17,89	5,89	2,06
I	29	49,21	1,54	14,39	3,34	8,26
I	30	48,30	2,55	12,68	3,04	II,40
I	31	72,76	0,32	12,69	1,37	2,82
I	32	74,00	0,28	13,01	0,49	2,80
I	33	36,60	0,03	1,48	3,82	4,41

Продолжение приложения 5

Продолжение приложения 5

E_2^0	M_{20}	P_{205}	σ_{r203}	n.p.n.	Σ
I	II	III	IV	V	VI
0,07	3,12	0,23	-	4,76	15
0,11	4,29	0,30	-	2,99	100,07
0,23	2,87	-	-	2,60	99,43
1,60	2,56	0,06	-	1,39	98,63
-	-	0,03	-	43,24	99,20
0,22	2,54	-	-	2,09	100,01
0,21	3,42	-	-	2,41	99,13
0,10	4,17	0,12	0,008	6,48	99,41
0,23	4,74	-	-	4,39	96,96
0,46	4,96	-	-	2,46	98,95
0,92	4,18	0,11	-	3,36	99,70
1,31	4,48	0,10	-	1,59	99,19
1,34	5,42	-	-	2,96	99,71
0,12	3,39	-	-	2,65	99,30
0,13	3,96	0,08	-	4,91	99,50
2,36	4,68	0,16	-	1,67	99,55
0,38	0,50	3,68	-	1,53	99,32
0,34	4,22	0,21	-	1,46	97,91
0,47	3,04	-	-	3,30	99,06
3,84	5,60	0,22	-	-	99,22
2,70	4,50	0,23	-	1,49	100,55
0,92	5,43	0,09	-	1,98	99,15
0,56	2,82	-	-	3,85	99,71
0,61	5,10	0,34	-	4,11	99,51
0,30	2,09	0,13	-	1,27	99,98
1,78	3,60	0,27	-	7,80	99,31
2,73	5,89	0,67	-	1,72	99,37
4,89	3,82	0,83	-	2,11	93,27
0,29	3,59	-	-	3,52	98,67
0,11	2,16	0,21	-	3,34	99,30
0,59	3,11	-	-	0,84	99,64
0,11	5,52	0,06	-	0,97	99,21
0,04	0,53	-	-	10,23	99,61
				0,28	100,64

Продолжение приложения 5

Д.	II	12'	12	13	14	15
0,02	0,35	-	0,16	0,90	100,24	
0,02	0,24	-	0,16 сл.	10,69	100,82	(СЗ пос. Черный Яр), 20 - патитовый порфирит (западнее пос. Галка), 21 - трахидиэзитовый порфирит (севернее пос. Сосновка);
0,04	0,20	-	0,09	0,65	101,00	22 - Нерасщепленный венлок. Антезитогенный порфирит (4 км южнее оз. Антиллинского); 23-28 - Верхний силур. 23-24 - Луллов: 23-базальтовый порфирит (правый берег р. Кахка), 24-антезито-базальтовый порфирит субшелочной (правый берег р. Ках-кын, пос. Галка); 25-28 - Прядилолий: 25 - базальтовый порфирит (р. Лобва, пос. Зимовье), 26 - трахидиэзитовый порфирит (р. Лоб-ва, пос. Зимовье), 27 - трахидиэзитовый порфирит (на трассе между пос. Зимовье и р. Шейтанкой), 28 - трахидиэзитовый пор-фирит (р. Горновая).
0,94	1,46	-	0,03	1,69	99,57	
0,46	0,86	сл.	-	1,13	99,62	
0,36	2,05	-	0,01	2,75	99,54	
0,28	1,62	-	0,08	0,65	99,70	
0,05	2,06	-	сл.	1,53	98,87	
0,14	-	-	0,01	1,00	98,11	
0,12	1,42	-	сл.	1,45	100,36	
0,18	1,44	-	сл.	1,59	100,88	
0,26	2,53	-	0,01	0,94	98,74	
0,02	1,08	-	-	0,12	100,16	
0,29	4,93	-	сл.	0,40	100,30	
1,79	4,85	-	-	1,14	100,11	
1,50	4,01	-	-	0,63	101,10	

Вулканогенные и осадочные породы. I - Нижний ордовик. Са-ранханье речка свита. Афирит базальтовый измененный (в 2,3 км севернее горы Козмар): 2-6 - Средний - верхний ордовик. Поль-инская свита: 2 - порфирит андезито-базальтовый окварцованный (левобережье р. Ольвы, в 10 км к югу пос. Шомпа), 3 - гнейс баз-ненный (верховья р. Шомпы), 4 - пестчатник кварц-плагиоклавозный (левобережье р. Ольвы, 9 км юг пос. Шомпа), 5 - мрамор (восточ-нее горы Голубокий Чурок), 6 - амфиболит плагиоклавозный (вер-шина горы Буртым); 7-22 - Нижний силур. 7-14 - Нижний-средний лланковери: 7 - диабаз амигдалический (в 3,5 км СВ устья р. Ю-ва), 8 - диабазовый микролорфирит (верховье р. Кахка), 9 - спи-лита (р. Лобва, напротив пос. Черный Яр), 10 - верисолит (на вер-шине горы Иов), 11 - патитовый порфирит (нижнее горы Иов), 12 - липаритовый порфир (нижнее горы Иов), 13 - кластическая липарито-лаштогоного порфира (нижнее горы Иов), 14 - альбогабрир (3,5 км СВ пос. Валенторского), 15 - Диаконовери-нижний венлок. Спилит (ЮЗ пос. Княспинского); 16-17 - Нижний венлок: 16 - липарито-патитовый порфир (ЮВ пос. Княспинского), 17 - кверцовый порфир

(нижнее пос. Княспинского); 18-21 - Средний венлок: 18 - базаль-товый порфирит (ЮЗ пос. Сосновка), 19 - диабазовый порфирит (СЗ пос. Черный Яр), 20 - патитовый порфирит (западнее пос. Гал-ка), 21 - трахидиэзитовый порфирит (севернее пос. Сосновка); 22 - Нерасщепленный венлок. Антезитогенный порфирит (4 км южнее оз. Антиллинского); 23-28 - Верхний силур. 23-24 - Луллов: 23-базальтовый порфирит (правый берег р. Кахка, пос. Галка), 24-антезито-базальтовый порфирит субшелочной (правый берег р. Ках-кын, пос. Галка); 25-28 - Прядилолий: 25 - базальтовый порфирит (р. Лобва, пос. Зимовье), 26 - трахидиэзитовый порфирит (р. Лоб-ва, пос. Зимовье), 27 - трахидиэзитовый порфирит (на трассе между пос. Зимовье и р. Шейтанкой), 28 - трахидиэзитовый пор-фирит (р. Горновая). Каттузиные породы. 29-32 - Позднеорловские: 29 - габбролит - базизированный (гора Ольвинский Камень), 30 - габбролабаз из-мененный (гора Козмар), 31 - плагиогранит (западнее горы Мух-натой), 32 - плагиогранит-порфир (левобережье р. Ольвы, 8,5 км ЮЗ пос. Шомпа); 33-47 - Раннесудуринские: 33 - дунит (Сомовс-кий Узел), 34 - дриоксанит оливиновый (Косыгинский Камень, 3 км юг деревни), 35 - оливинит магнетитовый серентинизиро-ванный (ю-з склон Сухогорского Камня), 36 - казанская (старый Добининский гудник), 37 - тынгит (12-й км дороги Катлым-Тылай), 38 - оливиновое габбро (СЗ вершины Казанский Камень), 39-трок-толит (вершина Казанского Камня), 40 - исцит хильный (Косьвинское Плето), 41 - микротаббобро амфиболитов (2 км к югу Валенторско-го озера), 42 - габбронорит жильный (гора Колпаки), 43 - габ-бронитогрит лейкократовый (гора Серебрянский Камень), 44 - габ-бро амфибол-пироксенитов (200 м к югу от главной вершины Се-ребрянского Камня), 45 - горнблендит (южный отрог Серебрянско-го Камня, в 1850 м от главной вершины), 46 - габбронорит (се-вернее хребта между Конжаковским и Серебрянским Камнем), 47 - анортозит (гора Серебрянский Камень); 48-52 - Позднеэтилийс-кие: 48 - плагиогранит (водораздел рр. Иов и Лобва), 49 - квар-цевый диорит (Княспинский массив), 50 - кварцевый диорит (Ба-шевинско-Исековский массив).

Приложение 6

РЕСТР

скважин, показанных на листе 0-40-УГ Государственной геологии
ческой карты СССР масштаба 1:200 000

Стратиграфические скважины подразделения	Номера скважин и мощности стратиграфических подразделений по скважинам, м				
	80	85	905	832	
Q	-	4,0	5	6	
S ₁ V ₃ -Y ₁ d	-	-	84	-	
S ₁ V ₃ -Y ₂	-	-	229	-	
S ₁ l ₁ -1-2	399,6	400	152,8	9,5	
Глубина скважин в м	399,6	404,0	470,8	15,5	
Индекс клетки на карте	III-3	III-4	III-4	IV-4	
Номер по списку литературы	II5	II5	II5	II4,II5	

ФОРМУЛЯР
на составление Государственной геологической карты СССР
масштаба 1:200 000

Приложение 7

Лист 0-40-УГ	"30" апреля 1984 г.	"30" апреля 1984 г.	Лист 0-40-УГ
Где составлена карта (учреждение). В производственном геологическом объединении "Уралгеология".			
Начало составительской работы - апрель 1979 г.			
Авторский оригинал передан на карторику "	"	"	
Авторы-составители:	J.P. Ефимова	C.A. Зворская	
	H.A. Шахова	B.B. Шлагинов	
Редактор:			
#	Название	Характер использо-	
н/п	использованных материалов	вания материалов	
1			3
1	Геологическая карта Урала. Масштаб 1:50 000. Листы 0-40-11. Авторы: A.A. Ефимов, M.F. Заболотская. Фонды УПО	Полнотью листы 0-40-11-А, Б, лист 0-40-11-В (с юго-восточной четверти, северо-западная часть листа 0-40-11-Г)	
2	Геологическая карта Урала. Масштаб 1:50 000. Листы 0-40-12-А; 0-40-12-Б (з.п.). Авторы: D.C. Карагин, L.T. Карагина. Фонды УПО	Полнотью	
3	Геологическая карта Урала. Масштаб 1:50 000. Лист 0-40-12. Авторы: R.A. Степкина, M.F. Заболотская, фонды УПО	Только 0-40-12-Б, восточная половина	
4	Геологическая карта Урала. Масштаб 1:50 000. Листы: 0-40-11-В (п-9-2-черт.), 0-40-11-Г, 0-40-12-Ч (п-9-2-черт.), 0-40-23, А, Б, (с.п.) Г, 0-40-24-А, а. Авторы всех листов: A.A. Ефимов, J.P. Иванова. Фонды УПО	Только 0-40-11-В (п-9-2-черт.); 0-40-11-Г, 0-40-12-Ч (п-9-2-черт.), 0-40-23, А, Б, (с.п.) Г, 0-40-24-А, а. Авторы всех листов: A.A. Ефимов, J.P. Иванова. Фонды УПО	

Продолжение приложения 7

1	2	3
5.	Геологическая карта Урала. Масштаб 1:50 000. Листы 0-40-12-3 (в.л.). 24-Г (с.л.). Авторы: Ю.С.Каретин, Л.Г.Каретина, В.П.Ольянкин. Фонды УПГО	Полностью
6.	Геологическая карта Урала. Масштаб 1:50 000. Лист 0-40-23-Г. Авторы: А.А.Ефимов, Л.П.Иванова. Фонды УПГО	Полностью
7.	Геологическая карта Урала. Масштаб 1:50 000. Листы 0-40-23-Г. Авторы: А.А.Ефимов, Ю.М.Чудов. Фонды УПГО	Полностью
8.	Геологическая карта Урала. Масштаб 1:50 000. Лист 23-В (с.л.). Авторы: УПГО	Полностью
9.	Геологическая карта Урала. Масштаб 1:50 000. Лист 0-40-23-3 (в.л.). Авторы: В.К.Ушков, Е.Ф.Пищеглиев. Фонды УПГО	Полностью
10.	Геологическая карта Урала. Масштаб 1:50 000. Листы: 0-40-24-А,Б (с.л.). Авторы: Ю.С.Каретин, Л.Г.Каретина, В.Л.Поляков. Фонды УПГО	Полностью
11.	Геологическая карта Урала. Масштаб 1:50 000. Лист 0-40-24-Г (в.л.). Авторы: М.Е.Ненаков, Р.А.Соткина. Фонды УПГО	Только 0-40-24-Б (в.п.)
12.	Геологическая карта Урала. Масштаб 1:50 000. Лист 0-40-24 (с.л.). Авторы: А.Д.Старцева, В.Н.Солдатник, И.А.Темников. Фонды УПГО	Полностью
13.	Геологическая карта Урала. Масштаб 1:50 000. Лист 0-40-24-Г (в.л.). Автор В.В.Шалгинов	Полностью

ОГЛАВЛЕНИЕ

Стр.
3
6
10
49
66
75
80
96
III
110
126

ГОСУДАРСТВЕННЫЙ
ГЕОЛОГИЧЕСКАЯ КАРТА СССР
масштаба 1:200 000
Серия Среднеуральская
Лист 0-40-УГ
Обыкновительная записка

Редактор Т.Г.Грабежева
Технический редактор Э.М.Ляхович

Подписано к печати 21.03.88 г. Формат 60x80/16.
Леч. л. II.9. Тираж 200 экз. Заказ № 54

620Г44, Свердловск, Вайнера, 55
Геолого-карографическая партия УГИЭ Объединение
"Уралгеология"